

19/89

وزارة التعليم العالي

MINISTERE DE L'ENSEIGNEMENT SUPERIEUR

المدرسة الوطنية المتعددة التقنيات
BIBLIOTHEQUE — المكتبة
Ecole Nationale Polytechnique

ÉCOLE NATIONALE POLYTECHNIQUE

DEPARTEMENT GENIE MECANIQUE

2ea

PROJET DE FIN D'ETUDES

S U J E T

CALCUL DES ACTIONS MECANIQUES EXERÇÉES SUR UN ATTELAGE MOBILE DU MOTEUR F 4 L 912

Proposé par : M. Beukabache Etudié par : O. Mostefaoui Dirigé par : M. Beukabache

JUIN 89 PROMOTION :



سُبْحَانَ رَبِّ الْعَالَمِينَ

الله رب العالمين

MINISTRE DE L'ENSEIGNEMENT SUPERIEUR وزارة التعليم العالي
 ECOLE NATIONAL polyTECHNIQUE المدرسة الوطنية المتعددة التقنيات
 DEPARTEMENT: GENIE MECANIQUE الدائرة: الهندسة الميكانيكية
 PROMOTEUR: BOUKABACHE المشرف: بوعكاب
 ETUDIANT: MOSTEFAOUI OMAR الطالب: محمد صفاء الدين

المدرسة الوطنية المتعددة التقنيات
 BIBLIOTHEQUE
 Ecole Nationale Polytechnique

الموضوع: حساب القوى الميكانيكية المطبقة على مستوى الجملة
 الميكانيكية (المكبس - الذراع - العمود المرفقي) للمحرك F4L 912.
 الملخص: هذا المشروع يحتوي على إيجاد القوى الميكانيكية
 المطبقة على الجملة (المكبس - الذراع - العمود المرفقي)
 المحرك ديزل F4L 912 وتمثيلهم في المعلم
 الدلاري والقطبي.

Sujet: calcul des actions mécaniques exercées
 sur un attelage mobile du moteur
 F4L 912

RESUME: Notre projet consiste à déterminer les
 actions mécanique exercées sur les organes
 (piston. bielle. manivelle) du moteur diesel F4L 912
 dans le repère cartésien et polaire

Subject: Determination of mechanical actions in
 piston. rod and crank of the engine F4L 912

Summary: Our project consists in determining
 the mechanical actions applied
 in the Organs (piston. rod and
 crank) of the diesel engine F4L 912
 in the polar and cartesian
 mark.

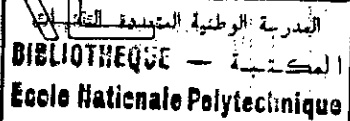
REMERCIEMENTS

Je tiens à remercier vivement mon promoteur Mr. BOUKABACHE d'avoir proposé et dirigé ce travail et pour tous ses conseils et son aide qu'il m'a prodigué durant l'étude de ce projet.

Que tous ceux qui ont participé de près ou de loin à la réalisation de cette étude,

Que tous les enseignants ayant contribué à ma formation trouvent ici l'expression de ma profonde gratitude.

SOMMAIRE



Introduction I

Cycle thermodynamique 2

CHAPITRE I

ETUDE CINEMATIQUE :

Relation cinématique 3

Cinématique du point B 4

Cinématique du point G_b 9

Cinématique du point A I2

CHAPITRE 2

ETUDE DYNAMIQUE :

Etude dynamique du piston I3

Etude dynamique de la bielle I5

Etude dynamique de vilebrequin I8

Système d'équations 20

CHAPITRE 3

DIAGRAMME DES EFFORTS /

Etude de l'effort de la chemise sur le piston 24

Etude de l'effort dans l'axe de la bielle sur Y1 31

Etude de l'effort au niveau de l'axe de piston 34

Etude de l'effort au niveau des tourbillons sur Y1 37

Etude de l'effort dans l'axe de la bielle sur Y2 40

CHAPITRE 4

DIAGRAMME POLAIRE DES EFFORTS :

Déigramme polaire des efforts du maneton sur bielle 43

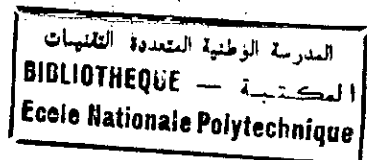
diagramme polaire des efforts de l'axe du piston sur la bielle 48

diagramme polaire des efforts au niveau des tourbillons 56

organigramme 62

conclusion

NOTATIONS UTILISEES



- θ : Angle de rotation du vilebrequin
- $\dot{\theta}$: Vitesse angulaire du moteur
- $\varphi, \dot{\varphi}, \ddot{\varphi}$: Angle de rotation , vitesse angulaire , acceleration angulaire de la bielle
- L : l'entr' axe de la bielle
- R : Rayon de la manivelle
- r : Position du centre de gravite de la manivelle
- M_p: Masse d'un piston (plus axe - segments ...)
- M_b: Masse de la bielle
- M_m: Masse de la manivelle
- S : Section du cylindre
- P : Pression des gaz en fonction de
- N : Vitesse de rotation en (tr/mn)
- C_{Mt}: Couple moteur
- v_B : Vitesse lineaire du point B
- \ddot{v}_B : Acceleration du point B
- v_b : Vitesse du centre de gravite de la bielle
- \ddot{v}_b : Acceleration du centre de gravite de la bielle
- v_A : Vitesse du point A
- \ddot{v}_A : Acceleration DU point A
- G_p : Centre de gravite du piston
- F : Effort
- L_i : position du centre de gravite de la bielle
- ,y,z: Les axes
- R_o : Reaction des paliers sur le tourbillons
- C_m : Moment d'inertie

INTRODUCTION

Le moteur thermique est un appareil qui transforme l'énergie thermique en énergie mécanique ces moteurs qui produisent eux-mêmes l'énergie nécessaire à leur fonctionnement sont actuellement les plus répandus dans l'industrie des moyens de transport et traction d'automobile .

La raison d'être d'un moteur est fournir de la puissance , donc du couple , pour fournir ce dernier le moteur doit successivement :

- comprimer un fluide froid .
- l'introduire de l'énergie calorifique par augmenter la température de fluide .
- dilater le fluide pour extraire le travail moteur .
- rejeter la chaleur restante pour revenir aux conditions initiales .

Notre étude débutera par une étude cinématique de l'ensemble bieille - manivelle du moteur monocylindre en ligne .

Après l'étape cinématique , la deuxième partie est application de la mécanique générale à la dynamique de l'ensemble bieille - manivelle .

La troisième et la quatrième sont consacrées à étude des efforts au niveau de chaque élément dans les repères cartésien et polaire d'un moteur monocylindre et polycylindre en ligne .

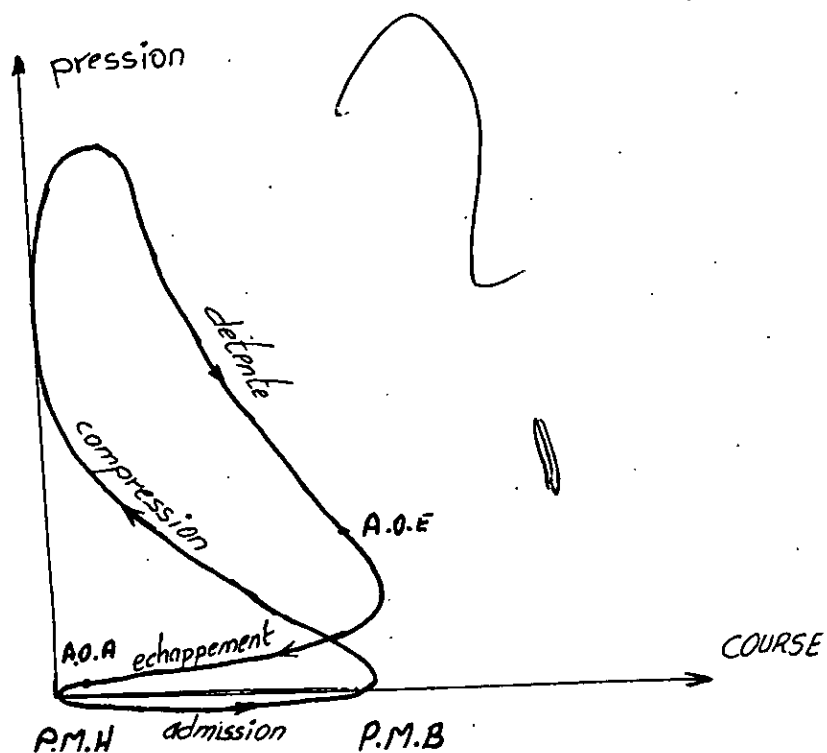
Enfin d'ouvrage un organigramme du programme .

Nous signalons par ailleurs que nous baserons nos calculs sur le moteur diesel F 4 L 912 .

CYCLE DU MOTEUR DIESEL

Le moteur diesel est un moteur à quatre temps, correspondant à une rotation de 720° , soit deux tours vilebrequin.

- 1 - ADMISSION** : La soupape d'admission s'ouvre, le piston descend en créant une dépression et l'air penetre dans le cylindre.
- 2 - COMPRESSION** : La soupape d'admission se referme, l'air se comprime, cette augmentation de pression engendre une augmentation de la température
- 3 - DETENTE** : En fin de compression, le piston se trouve au voisinage du point " PMH ". Le combustible est injecté dans la chambre de combustion à une pression à celle régnant dans le cylindre. Au moment de contact l'air comprime à une température élevée, combustible s'enflamme de lui même, les gaz augmentent très rapidement le volume, ce qui exige la descente du piston vers le point " PMB ".
- 4 - ECHAPPEMENT** : La soupape d'échappement s'ouvre, le piston remonte en chassant les gaz brûlés.



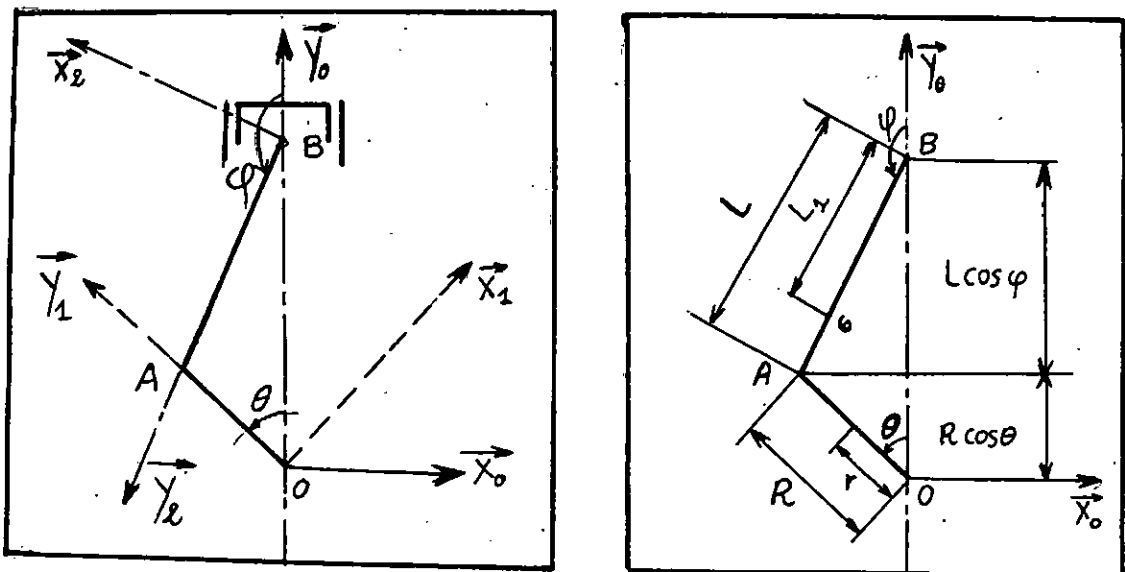
CHAPITRE

1

ETUDE CINÉMATIQUE
DE L'ATTELAGE MOBILE
DES MOTEURS EN LIGNE

ETUDE CINÉMATIQUE DU SYSTÈME BIELLE MANIVELLE :

L'étude de la cinématique de l'embielage est nécessaire pour le calcul des variations de volume de la cylindrée qui résultent du déplacement du piston et pour les calculs relatifs à la détermination ; des efforts, à la résistance des organes , à l'équilibrage des forces d'inertie , etc



RELATION CINÉMATIQUE :

Le point O est le centre du vilebrequin .

le repère $(O, \vec{X}_0, \vec{Y}_0, \vec{Z}_0)$ est fixe :

- L'axe \vec{Y}_0 : axe du cylindre .
- L'axe \vec{Z}_0 : axe du vilebrequin .

le repère $(O, \vec{X}_1, \vec{Y}_1, \vec{Z}_1)$ est un repère mobile lié au vilebrequin :

- L'axe \vec{Y}_1 : borne de manivelle .
- L'angle θ : l'angle de rotation du vilebrequin

$$\theta = (\vec{Y}_0, \vec{Y}_1)$$

Le moteur tourne à vitesse constante donc :

$$\dot{\theta} = \frac{d\theta}{dt} = \text{const} \Rightarrow \frac{d\theta}{dt^2} = 0.$$

Le repère $(B, \vec{x}_1, \vec{y}_2, \vec{z}_3)$ c'est repère mobile lié à la bielle le point B : le centre de pied de bielle .

L'axe \vec{y}_2 : porte la bielle .

φ : angle de rotation de bielle $\varphi = (\vec{y}_0, \vec{y}_2)$

GB : le centre de gravité de la bielle $\vec{BGb} = L_1 \vec{y}_2$

Soit L l'entraxe de la bielle et R le rayon de manivelle .

En projetant le contour BAO sur l'axe passant par B et O nous obtenons :

$$\vec{OB} = \vec{OA} + \vec{AB}$$

$$\vec{OA} = -R \sin \theta \vec{x}_0 + R \cos \theta \vec{y}_0$$

$$\text{Or : } R \sin \theta = L \sin(\pi - \varphi)$$

$$R \sin \theta = L \sin \varphi \quad \text{où } \sin \varphi = \frac{R}{L} \sin \theta$$

$$\boxed{\sin \varphi = \frac{R}{L} \sin \theta} \quad \text{----- (1)}$$

$$\text{D'où } \cos \varphi = \pm \sqrt{1 - (\sin \varphi)^2}$$

$$\cos \varphi = \pm \sqrt{1 - \left(\frac{R}{L}\right)^2 \sin^2 \theta}$$

L'angle φ est positif et varie légèrement de π . d'où $\cos \varphi < 0$

$$\boxed{\cos \varphi = -\sqrt{1 - \left(\frac{R}{L}\right)^2 \sin^2 \theta}} \quad \text{----- (2)}$$

DÉTERMINATION DE $\frac{d\varphi}{dt}$

On $\sin \varphi = \frac{R}{L} \sin \theta$ nous tirons $\varphi = \text{Arcsin} \left(\frac{R}{L} \sin \theta \right)$

En dérivant cette expression par rapport au temps nous obtenons l'expression de la vitesse angulaire

$$\boxed{\frac{d\varphi}{dt} = \frac{R}{L} \dot{\theta} \frac{\cos \theta}{\cos \varphi}} \quad | \quad \dots \quad (3)$$

DÉTERMINATION DE $\frac{d^2\varphi}{dt^2}$

De la relation (3) de φ , En dérivant cette expression par rapport au temps nous obtenons : $\frac{d^2\varphi}{dt^2} = (\dot{\varphi}^2 - \dot{\theta}^2) \operatorname{tg} \varphi$

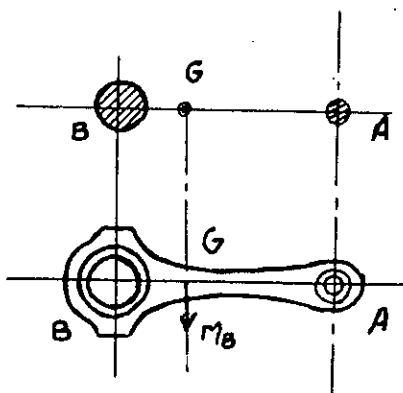
CINÉMATIQUE DES POINTS B, G ET A :

Le mouvement d'un point quelconque de la bielle résulte de la composition de deux mouvements :

— Translation de l'axe de pied de bielle

— Rotation de l'axe de la tête de bielle

Il s'ensuit un mouvement complexe de son centre de gravité.



CINÉMATIQUE DU POINT B :

$$\overrightarrow{OB} = \overrightarrow{OA} + \overrightarrow{AB}$$

$$\overrightarrow{OB} = -R \sin \theta \vec{x}_o + R \cos \theta \vec{y}_o + L \sin \varphi \vec{x}_o - L \cos \varphi \vec{y}_o$$

On a $-R \sin \theta + L \sin \varphi = 0$

d'où $\overrightarrow{OB} = (R \cos \theta - L \cos \varphi) \vec{y}_o$

- Si $\theta = 0$ le point B est au point PMH

car $\cos \theta = 1$ et $\cos \varphi = -1$

$$\overline{OB} = d = R + L$$

- Si $\theta = \pi$ on a $\cos \theta = -1$ et $\cos \varphi = +1$

$$\overline{OB} = d = -(R + L)$$

le point B est au point PMB

VITESSE DU POINT B :

On a la relation $\overrightarrow{OB} = R \vec{y}_1 - L \vec{y}_2$

$$\vec{V}_B = \frac{d(\overrightarrow{OB})}{dt} = R \frac{d\vec{y}_1}{dt} - L \frac{d\vec{y}_2}{dt}$$

$$\vec{V}_B = -R \dot{\theta} \vec{x}_1 + L \dot{\varphi} \vec{x}_2$$

$$= -R \dot{\theta} \cos \theta \vec{x}_o - R \dot{\theta} \sin \theta \vec{y}_o + L \dot{\varphi} \cos \varphi \vec{x}_o + L \dot{\varphi} \sin \varphi \vec{y}_o$$

$$\vec{V}_B = R(\dot{\varphi} - \dot{\theta}) \sin \theta \vec{y}_o$$

Si $\theta = k\pi$, B est au PMH ou PMB, $\vec{V}_B = 0$

Si $\theta = \frac{(2k+1)\pi}{2}$ • $V_B = -(-1)^k R \dot{\theta} \vec{y}$

VITESSE MOYENNE : La vitesse de glissement du piston sur la chemise est :

$$V_{avg} = \frac{\text{course . } N}{30}$$

ANGLE POUR LEQUEL LA VITESSE EST MAXIMALE :

La vitesse est maximale lorsque l'accélération est nulle, la vitesse du piston est maximale lorsque la bielle est perpendiculaire au maneton. c'est à dire lorsque le triangle OAB est rectangle en A. On alors :

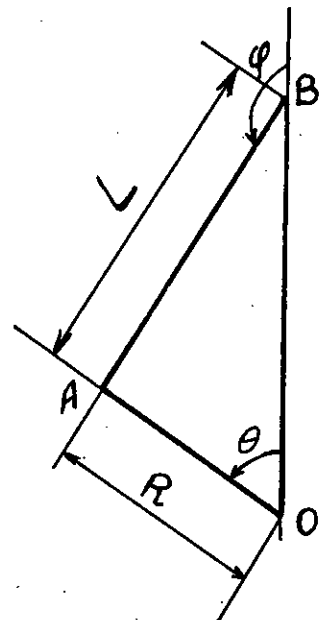
$$\operatorname{tg} \theta = \frac{L}{R} \Rightarrow \theta = \operatorname{arctg} \left(\frac{L}{R} \right)$$

Pour moteur F4L912 :

$$L = 210 \text{ mm}$$

$$R = 60 \text{ mm}$$

$$\operatorname{tg} \theta = \frac{210}{60} = 3,5 \Rightarrow \boxed{\theta = 74,05 \text{ deg}}$$



ACCELERATION DU POINT B

On utilise la définition de l'accélération :

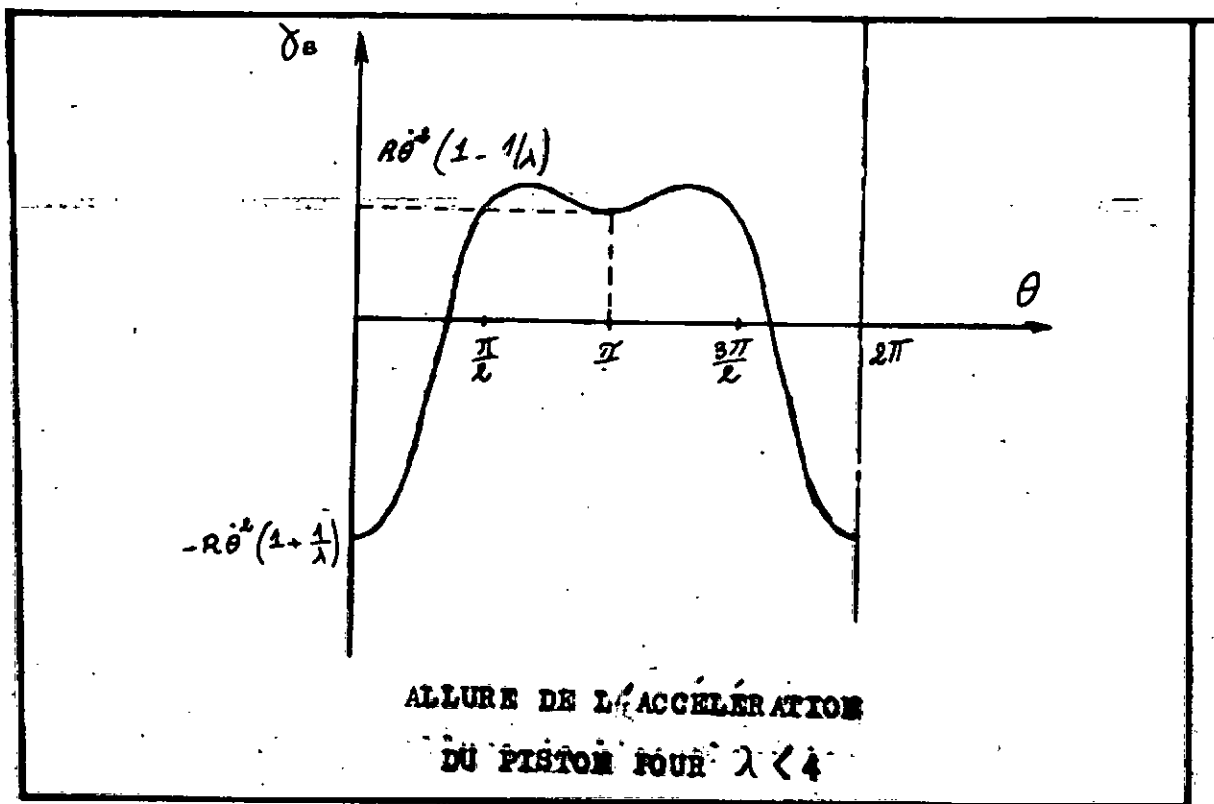
$$\vec{\delta}_B = \frac{dV_B}{dt} = \frac{d}{dt} [R(\dot{\varphi} - \dot{\theta}) \sin \theta] \vec{y}_o$$

$$\vec{\delta}_B = [R\ddot{\theta}(\dot{\varphi} - \dot{\theta}) \cos \theta + R\ddot{\varphi} \sin \theta] \vec{y}_o$$

si $\theta = 0$, B est au P.M.H ; $\cos \theta = 1$, $\dot{\varphi} = -\frac{\dot{\theta}}{\lambda}$, $\ddot{\varphi} = 0$

$\lambda = \frac{L}{R}$, l'accélération est maximale à pour valeur :

$$\vec{\delta}_B = -R\dot{\theta}^2 \left(1 + \frac{1}{\lambda}\right) \vec{y}_o$$



CINÉMATIQUE DU POINT Gb

POSITION DU POINT Gb

$$\overrightarrow{OGb} = \overrightarrow{OB} + \overrightarrow{BGb} = R(\cos\theta - L \cos\varphi) \vec{y}_o + L_1 \vec{y}_e$$

$$= (R \cos\theta - L \cos\varphi) \vec{y}_o - L_1 \sin\varphi \vec{x}_o + L_1 \cos\varphi \vec{y}_o$$

$$\overrightarrow{OGb} = \begin{pmatrix} -\frac{L_1 R \sin\theta}{L} \\ R \cos\theta + (L_1 - L) \cos\varphi \\ 0 \end{pmatrix} \begin{matrix} \vec{x}_o \\ \vec{y}_o \\ \vec{z}_o \end{matrix}$$

Si $\theta = 0$, le piston est au PMH, l'ordonnée de Gb est maximale :

$$\overrightarrow{OGb} = (R + L - L_1) \vec{y}_o$$

Si $\theta = \pi$, le piston est au PMS, l'ordonnée de Gb est minimale :

$$\overrightarrow{OGb} = (-R + L - L_1) \vec{y}_o$$

D'où la course de Gb sur \vec{y}_o qui est la différence entre l'ordonnée maximale et l'ordonnée minimale :

$$C_{\text{sur } \vec{y}_o} = 2R$$

si $\theta = \frac{\pi}{2}$, l'abscisse de Gb est minimale $-\frac{L_1 R}{L}$ sur \vec{x}_o .

si $\theta = \frac{3\pi}{2}$ l'abscisse de Gb est maximale $+\frac{L_1 R}{L}$ sur \vec{x}_o . D'où la course de Gb sur \vec{x}_o qui est la différence entre l'abscisse maximale et minimale :

$$C_{\text{sur } \vec{x}_o} = \frac{2L_1 R}{L}$$

VITESSE DU POINT Gb

On utilise la définition de la vitesse

$$\overrightarrow{V_{Gb}} = \frac{d\overrightarrow{OGb}}{dt} = R(\dot{\varphi} - \dot{\theta}) \sin\theta \vec{y}_o - L_1 \dot{\varphi} \cos\varphi \vec{x}_o - \frac{L_1 \dot{\theta} R \sin\theta}{L} \vec{y}_o$$

$$\vec{V}_{Gb} = \begin{pmatrix} -\frac{L_1 R \dot{\theta} \cos \theta}{L} \\ R(\dot{\varphi} - \dot{\theta} - \frac{L_1 \dot{\varphi}}{L}) \sin \theta \\ 0 \end{pmatrix} \begin{matrix} \vec{X}_o \\ \vec{Y}_o \\ \vec{Z}_o \end{matrix}$$

Si $\theta=0$, le piston est au PMH :

$$\vec{V}_{Gb} = -\frac{L_1 R \dot{\theta} \cos \theta}{L} \vec{X}_o \quad \text{valeur maximale négative sur } \vec{X}_o$$

Si $\theta=\pi$, le piston est au PMB :

$$\vec{V}_{Gb} = +\frac{L_1 R \dot{\theta}}{L} \vec{X}_o \quad \text{valeur maximale positive sur } \vec{X}_o$$

La vitesse du centre de gravité de la bielle est minimale pour $\theta = 0$ et $\theta = \pi$

La vitesse du centre de gravité de la bielle est maximale lorsque le piston est à mi-course, c'est-à-dire pour $\cos \theta = \frac{1}{2\lambda}$

pour $L = 210\text{mm}$ et $R = 60\text{mm}$

$$\lambda = \frac{210}{60} = 3,5 ; \cos \theta = \frac{1}{7} \Rightarrow \theta = 84.535 \text{ deg}$$

ACCELERATION DU POINT Gb

$$\vec{\delta}_{Gb} = \frac{d\vec{V}_{Gb}}{dt} = -\frac{L_1 R \ddot{\theta}}{L} \cos \theta \vec{X}_o + \frac{L_1 R \dot{\theta}^2}{L} \sin \theta \vec{X}_o +$$

$$R \ddot{\varphi} \sin \theta \vec{Y}_o + R \dot{\varphi} \dot{\theta} \cos \theta \vec{Y}_o - R \ddot{\theta} \sin \theta \vec{Y}_o$$

$$- R \dot{\theta}^2 \cos \theta \vec{Y}_o - \frac{L_1 R \ddot{\varphi} \sin \theta}{L} \vec{Y}_o - \frac{L_1 R \dot{\theta} \dot{\varphi} \cos \theta}{L} \vec{Y}_o$$

$$\vec{\gamma}_{G_b} = \begin{pmatrix} L_1 R \dot{\theta}^2 \sin \theta / L \\ R \dot{\theta} \left(\dot{\varphi} - \dot{\theta} - \frac{L_1 \dot{\varphi}}{L} \right) \cos \theta + R \ddot{\varphi} \left(1 - \frac{L_1}{L} \right) \sin \theta \\ 0 \end{pmatrix} \begin{matrix} \vec{x}_o \\ \vec{y}_o \\ \vec{z}_o \end{matrix}$$

Si $\theta = 0$: $\vec{\gamma}_{G_b} = -R \dot{\theta}^2 \left(-\frac{L_1 R}{L^2} + \frac{R}{L} + 1 \right) \vec{y}_o$ valeur maximale négative sur \vec{y}_o

Si $\theta = \pi$: $\vec{\gamma}_{G_b} = R \dot{\theta}^2 \left(\frac{L_1 R}{L^2} - \frac{R}{L} + 1 \right) \vec{y}_o$ valeur maximale positive sur \vec{y}_o

$$\text{Si } \theta = \frac{\pi}{2} \text{ et } \frac{3\pi}{2} \quad \vec{\gamma}_{G_b} = \begin{pmatrix} \frac{L_1 R \dot{\theta}^2}{L} \\ \frac{R^2 \dot{\theta}^2 (1 - L_1/L)}{L \sqrt{1 - \frac{R^2}{L^2}}} \\ 0 \end{pmatrix} \begin{matrix} \vec{x}_o \\ \vec{y}_o \\ \vec{z}_o \end{matrix}$$

valeur maximale sur \vec{x}_o

CINÉMATIQUE DU POINT A

POSITION DU POINT A

$$\overrightarrow{OA} = -R \sin \theta \overrightarrow{x_0} + R \cos \theta \overrightarrow{y_0}$$

$$(-R \sin \theta)^2 + (R \cos \theta)^2 = R^2$$

Le point A se déplace sur un cercle de centre O, de rayon R

VITESSE DU POINT A

On utilise la définition de la vitesse :

$$\overrightarrow{V_A} = \frac{d\overrightarrow{OA}}{dt} = \frac{d(R\overrightarrow{y_1})}{dt} = -R\dot{\theta}\overrightarrow{x_1}$$

$$\boxed{\overrightarrow{V_A} = -R\dot{\theta}\overrightarrow{x_1}}$$

La vitesse du point A est constante; elle est portée par une tangente au cercle.

ACCELERATION DU POINT A

$$\overrightarrow{\gamma_A} = \frac{d\overrightarrow{V_A}}{dt} = -R\ddot{\theta}\overrightarrow{x_1} - R\dot{\theta}^2\overrightarrow{y_1}$$

$$\boxed{\overrightarrow{\gamma_A} = -R\dot{\theta}^2\overrightarrow{y_1}}$$

L'accélération du point A est constante; elle est portée par un rayon du cercle; elle est centripète.

CHAPITRE

2

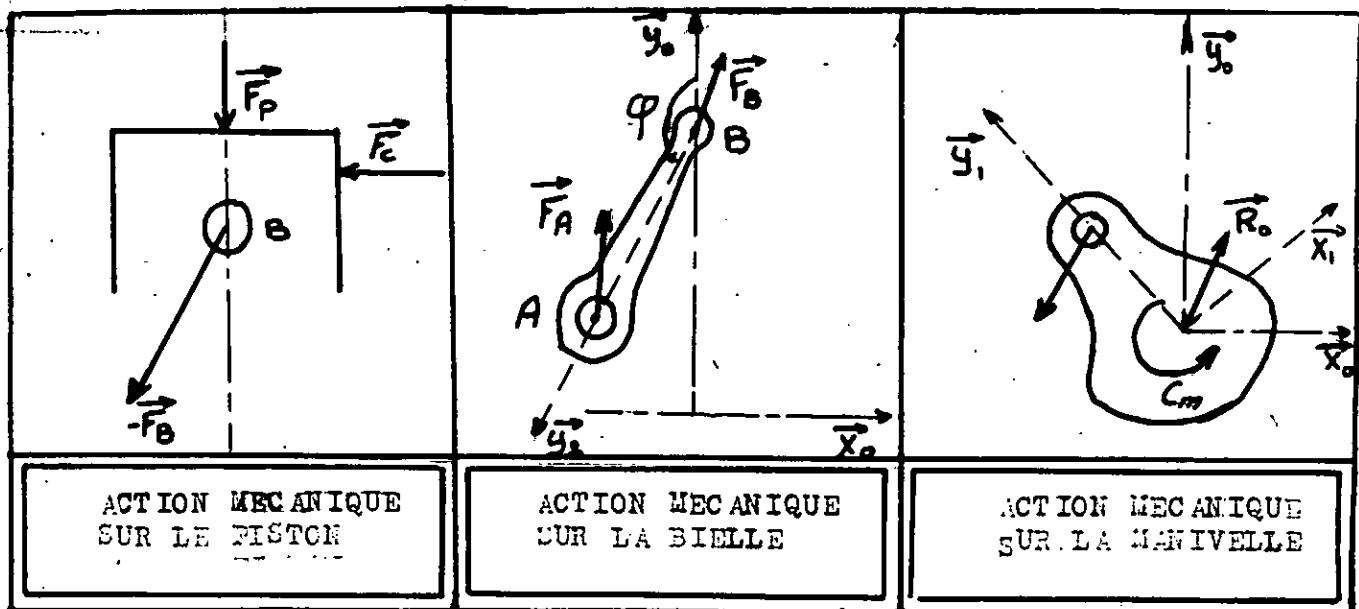
ETUDE DYNAMIQUE DE
L'ATTELAGE MOBILE
DES MOTEURS EN LIGNE

DETERMINATION DES EFFORTS DANS L'EMBIELLAGE :

Cette étude a pour but de calculer les valeurs des actions mutuelles entre les différents organes.

Nous négligerons l'effet du poids des pièces et du frottement, chaque organe est à tout instant en équilibre sous l'action :

- Des forces directement appliquées (pression des gaz)
- Des forces de liaison, c'est à dire des réactions des appuis
- Des forces d'inertie



A/ ETUDE DYNAMIQUE DE PISTON :

Le piston constitue la paroi mobile de la chambre de combustion ; par l'intermédiaire de l'axe, il supporte et transmet l'effort des gaz à la bielle puis au vilebrequin.

En outre , il assure son propre guidage puisqu'il est articulé sur le pied de bielle . pour satisfaire à ces fonctions , le piston doit avoir les qualités suivantes :

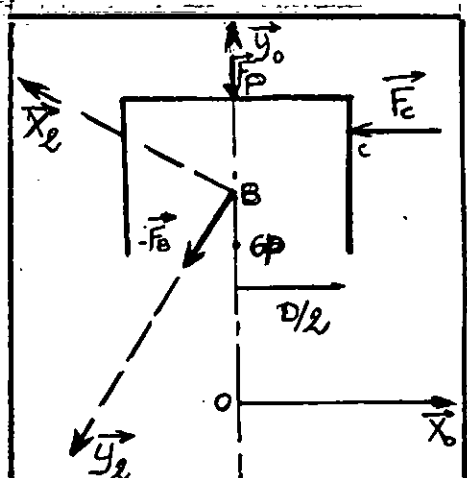
- Une résistance suffisante , quelle que soit la température atteinte par la matière .
- Une bonne conductibilité thermique de façon à évacuer suffisamment la chaleur vers les segments et la jupe .
- Une déformabilité contrôlable et relativement faible sous l'action des variations de température en fonctionnement .
- Un poids minimal car le poids de la bielle et du vilebrequin , donc du moteur en dépend en partie .

FIG 2-2

Le piston est considéré comme étant géométriquement parfait , et que sa tête est plate donc , les gaz n'exercent aucun effort sur \vec{x}_o et \vec{z}_o .

On suppose aussi que la pression des gaz est uniformément répartie sur la tête du piston et que l'effort résultant s'applique sur le centre ; dans ce cas les gaz n'exercent pas de moment sur le piston .

On isole le piston (FIG 2-2 .) les équations fondamentales du piston est :



$$\sum \vec{F}_{ext} (G_p, piston) = M_p \vec{\delta}_{G_p}$$

$$\sum M (F_{ext}/G_p) = \vec{\delta} (piston/G_p)$$

Le mouvement du piston c'est une translation , le point G_p a la même accélération que le point B ($\vec{\delta}_{G_p} = \vec{\delta}_B$)

EQUATIONS SCALAIRES DU PISTON :

Les équations scalaires sont obtenues en projetant les équations vectorielles sur les trois axes du repère.

— Sur l'axe \vec{X}_o : $-X_b + X_c = 0$

— Sur l'axe \vec{Y}_o : $-y_b - y_p(\theta) = m_p [R\dot{\theta}(\dot{\varphi} - \dot{\theta}) \cos \theta + R\ddot{\varphi} \sin \theta]$

— Sur l'axe \vec{Z}_o : $0 = 0$

B/ ETUDE DYNAMIQUE DE LA BIELLE :

La bielle est une pièce qui transforme un mouvement rectiligne alternatif en un mouvement circulaire continu, ou réciproquement. L'effort né de la combustion est transmis à la bielle par l'axe du piston, la bielle communique cet effort à la manivelle du vilebrequin. Outre les efforts dus aux gaz, la bielle supporte des efforts d'inertie alternatifs et centrifuges dus aux masses, et des efforts alternatifs mineurs dus au frottement du piston et des segments sur le cylindre.

La bielle se compose de trois parties essentielles :

— Le pied (lie à l'axe du piston)

— Le corps

— La tête (lie au vilebrequin)

On isole la bielle (FIG 2,3), nous envisagerons deux actions extérieures appliquées à celle-ci

— L'action de l'axe de piston sur la bielle au point **B**

— L'action du moneton sur la bielle au point **A**

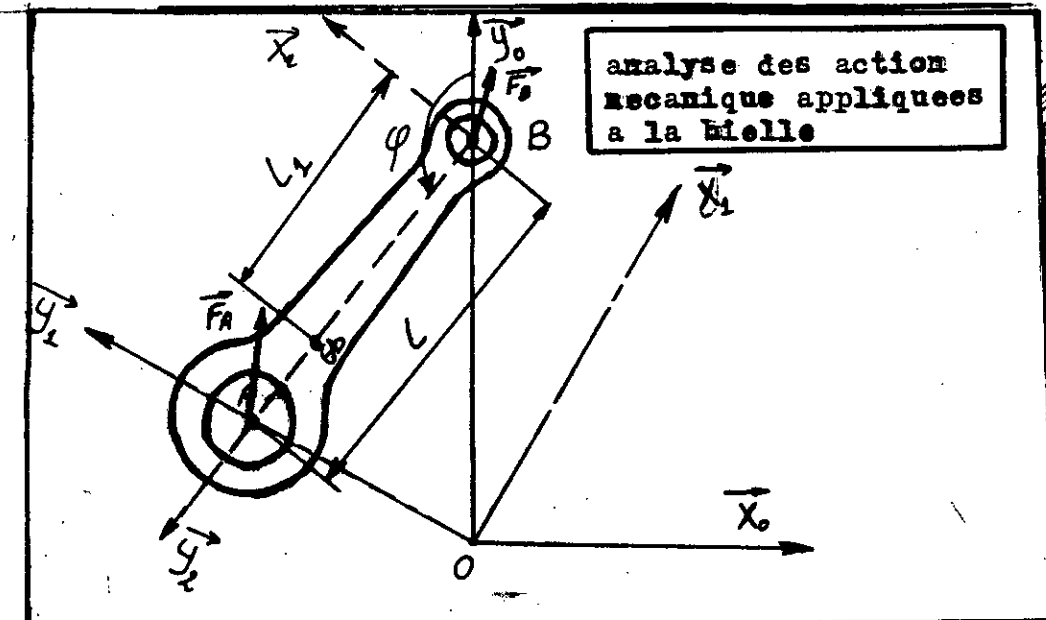


FIG 2-3

AU POINT A

la liaison de type verrou donc :

$$\vec{F}_A \cdot \vec{z} = 0 \quad \text{et} \quad \vec{m}_A \cdot \vec{z} = 0$$

les pieces en mouvement etant geometriquement parfaites, la bielle ne transmet pas de moment au maneton.

$$\vec{F}_A = \begin{pmatrix} x_A \\ y_A \\ 0 \end{pmatrix} \quad ; \quad \vec{m}_A = \vec{0}$$

AU POINT B:

la liaison est de type verrou donc :

$$\vec{F}_B \cdot \vec{z} = 0 \quad \text{et} \quad \vec{m}_B \cdot \vec{z} = 0$$

l'axe de piston ne transmet pas de moment a la bielle

$$\vec{F}_B = \begin{pmatrix} x_B \\ y_B \\ 0 \end{pmatrix} \quad ; \quad \vec{m}_B = 0$$

EQUATION SCALAIRES DE LA BIELLE

la projection de l'équation vectorielles suivantes.

$$\sum \vec{F}_{ext}/\text{bielle} = M_B \cdot \vec{\delta}_{gb}$$

SUR

- L'axe \vec{x}_o : $M_B \frac{L_1}{L} R \ddot{\theta} \sin \theta = X_A + X_B$

- L'axe \vec{y}_o : $M_B [R \dot{\theta} (\dot{\varphi} - \dot{\theta}) - \frac{L_1}{L} \dot{\varphi}] \cos \theta + R \ddot{\varphi} (1 - \frac{L_1}{L}) \sin \theta = Y_A + Y_B$

- L'axe \vec{z}_o : $0 = 0$

La projection de l'équation $\sum \vec{m}(F_{ext}/G) = \vec{\delta}(\text{bielle}/G)$ sur

L'axe : $0 = 0$

L'axe : $0 = 0$

L'axe : $-(L - L_1)(X_A \cos \varphi + Y_A \sin \varphi) + L_1(X_B \cos \varphi + Y_B \sin \varphi) = \ddot{\varphi} c$

ETUDE DE VILEBREQUIN

Le vilebrequin transmet sous la forme du couple le travail produit par l'effort des gaz et le déplacement des pistons. Il est constitué des coudes (ou manivelles) en nombre égal au nombre des cylindres.

chaque coude se compose de deux bras reliés par un maneton autour duquel tourne la tête de bielle; sur les vilebrequins de moteur à quatre cylindres en ligne il est de plus en plus fréquent de disposer un tourillon formé la ligne d'arbre

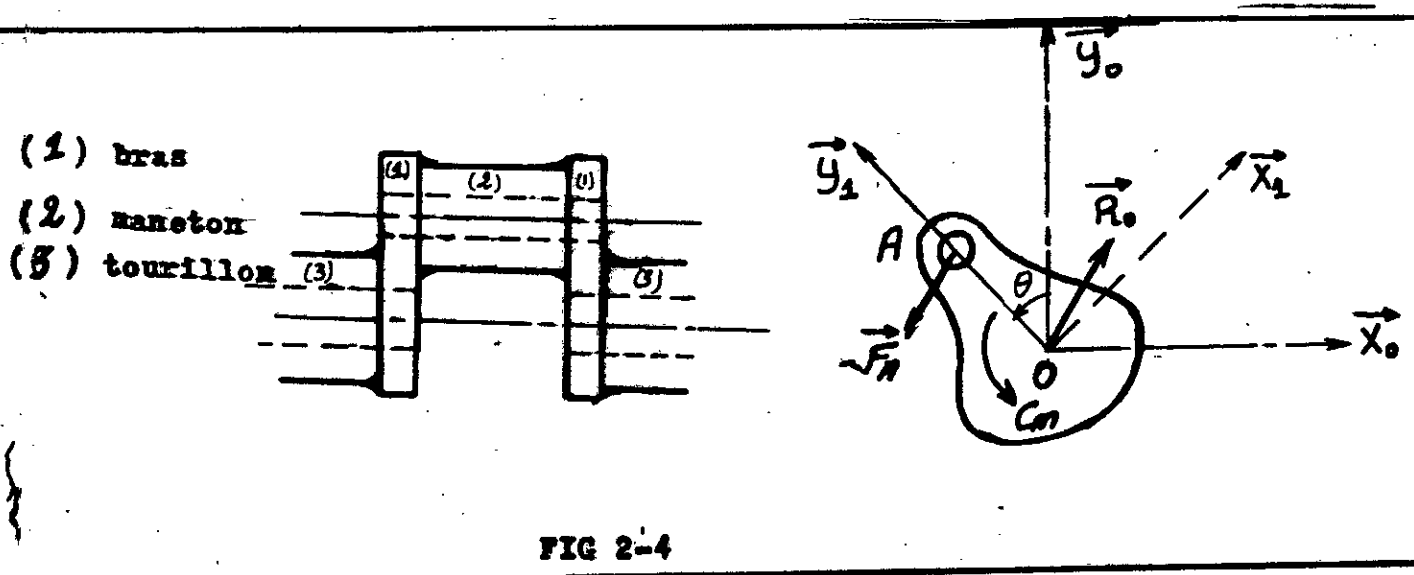


FIG 2-4

La figure 2-4 montre les différents éléments constituant la manivelle (maneton, flasques avec contre poids et tourillon).

Isolons la manivelle, elle soumis aux actions suivantes :

• Action de la bielle sur la manivelle (\vec{F}_A)

• Réaction des paliers sur le tourillon (\vec{R}_o)

ETUDE DYNAMIQUE DE LA MANIVELLE

EQUATIONS VECTORIELLES FONDAMENTALES DE LA MANIVELLE :

$$\sum \vec{F}_{ext} / m_{manivelle} = M_m \vec{\delta} (G_m, manivelle / O)$$

$$\sum \vec{m} (\vec{F}_{ext} / G_m) = \vec{\delta} (manivelle / G_m)$$

EQUATIONS SCALAIRES DE LA MANIVELLE :

- Projection de l'équation () sur $(O, \vec{x}_o, \vec{y}_o, \vec{z})$

$$+ \text{sur l'axe } \vec{x}_o : M_m \dot{\theta}^2 r \sin \theta = - X_A + X_o$$

$$+ \text{sur l'axe } \vec{y}_o : - M_m \dot{\theta}^2 r \cos \theta = - Y_A + Y_o$$

$$+ \text{sur l'axe } \vec{z}_o : 0 = 0$$

- projection de l'équation () sur $(O, \vec{x}_o, \vec{y}_o, \vec{z})$

$$+ \text{sur l'axe } \vec{x}_o : 0 = 0$$

$$+ \text{sur l'axe } \vec{y}_o : 0 = 0$$

$$+ \text{sur l'axe } \vec{z}_o : 0 = (R+r)(X_A \cos \theta + Y_A \sin \theta) + r(X_o \cos \theta + Y_o \sin \theta) + C_m$$

C_m : couple moteur s'exerçant sur la manivelle

SYSTEME D'EQUATIONS

Le system final est un système de huit équations à huit inconnues

$$-x_s + x_c = 0$$

$$-y_b = y_p(\theta) + M_p [R\dot{\theta}(\dot{\varphi} - \dot{\theta})\cos\theta + R\ddot{\varphi}\sin\theta]$$

$$x_A + x_b = M_b \frac{L_1}{L} R\dot{\theta}^2 \sin\theta$$

$$y_A + y_b = M_b [R\dot{\theta}(\dot{\varphi} - \dot{\theta} - \frac{L_1}{L}\dot{\varphi})\cos\theta + R\ddot{\varphi}(1 - \frac{L_1}{L})\sin\theta]$$

$$x_A + x_o = M_m r\dot{\theta}^2 \cos\theta$$

$$y_A + y_o = -M_m r\dot{\theta}^2 \cos\theta$$

$$(L - L_1) \cos\varphi x_A - (L - L_1) \sin\varphi y_A + L_1 \cos\varphi x_b + L_1 \sin\varphi y_b = \ddot{\varphi} C,$$

$$(R - r) \cos\theta x_A + (R - r) \sin\theta y_A + r \cos\theta x_o + r \sin\theta y_o + C_m = 0$$

Un traitement informatique simple permet de déterminer les inconnues en fonction de l'angle vilebrequin

REMARQUE :

La résolution du système d'équations donne les composantes des forces dans le repère fixe $(O, \vec{x}_o, \vec{y}_o, \vec{z}_o)$

CHAPITRE

3

EFFORTS AU NIVEAU DE
CHAQUE ELEMENT DANS
LE REPERE CARTISIEN

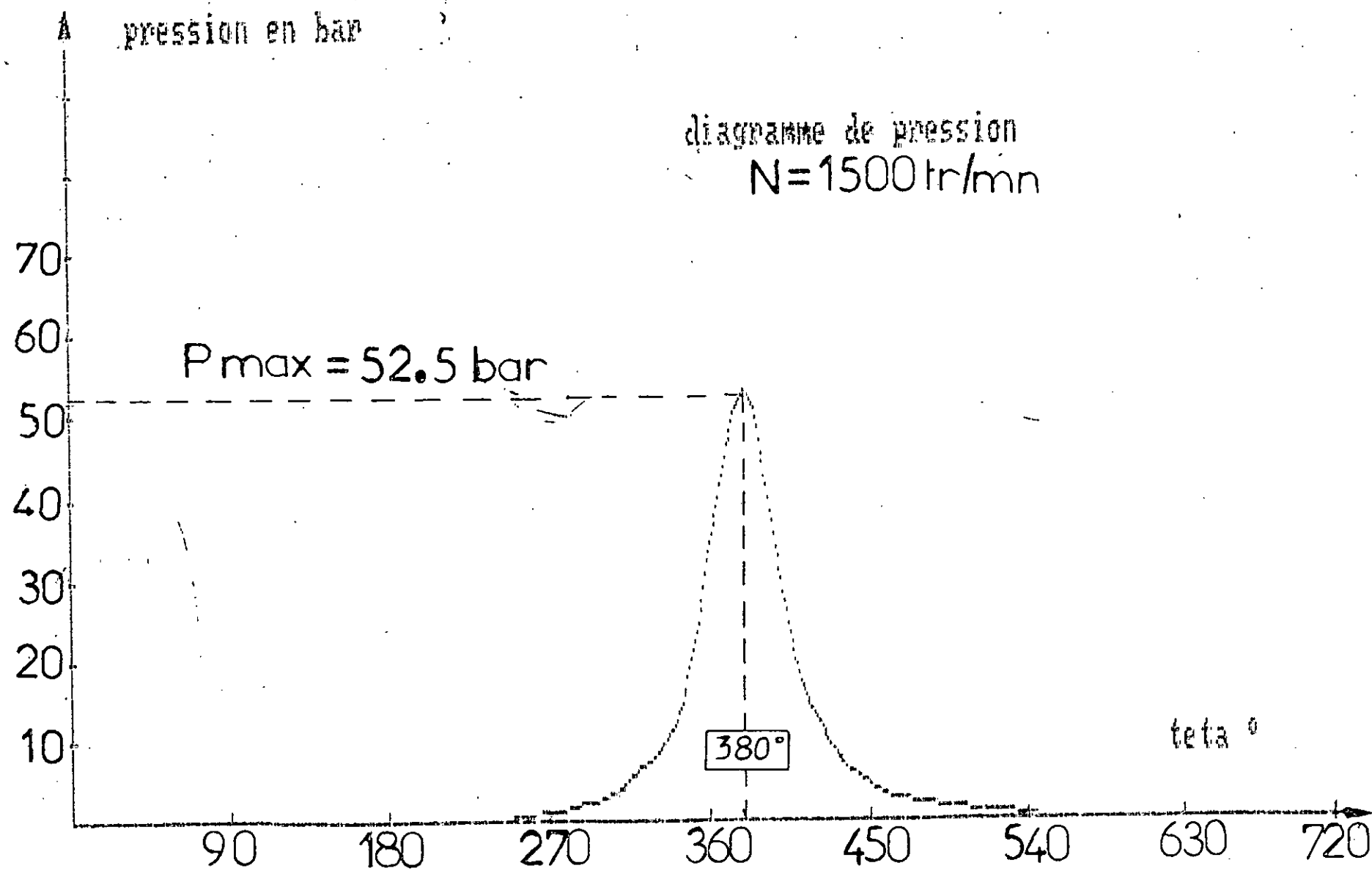
CARACTERISTIQUE DU MOTEUR F4L912

- Alésage : $D = 100 \text{ mm}$
- Course : $C = 120 \text{ mm}$
- Entr'Axe de bielle : $L = 200 \text{ mm}$
- Rayon : $R = C/2 = 60 \text{ mm}$
- Rayon du manivelle : $R_m = 60 \text{ mm}$
- Masse du piston : $M_p = 1650 \text{ g}$
- Masse de la bielle : $M_B = 1685 \text{ g}$
- Masse de la manivelle : $M_m = 2800 \text{ g}$
- Position du centre de gravite de la bielle : $L_i = 140 \text{ mm}$
- Position du centre de gravite de la manivelle : $r_m = 20 \text{ mm}$
- Moment d'inertie : $C_m = 0.02095 \text{ kg} \cdot \text{m}^2$

DIAGRAMME DE PRESSION

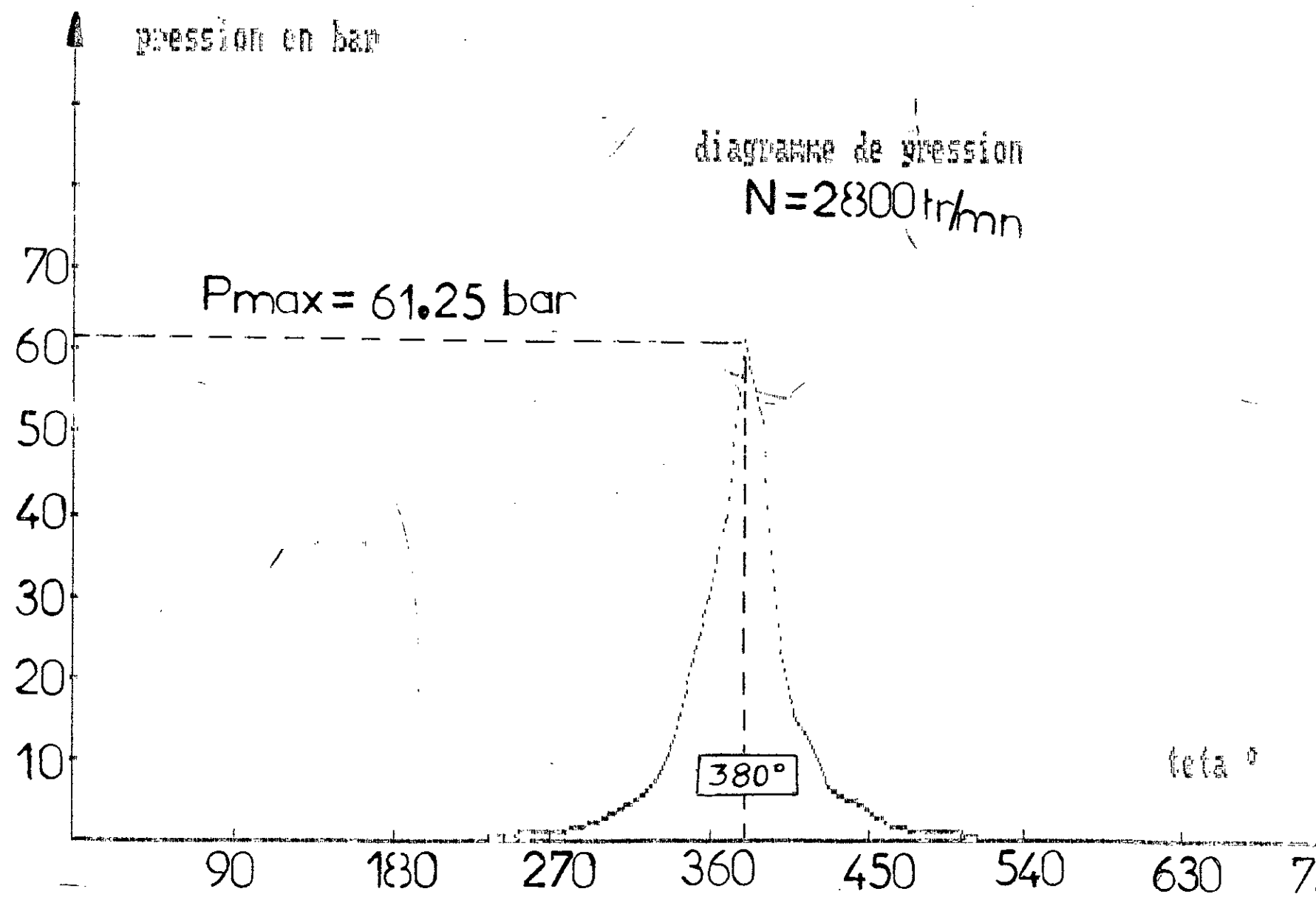
Les diagrammes des figures (3-a, 3-b) montrent l'évolution de la pression dans le cylindre en fonction de la rotation angulaire du vilebrequin pour $N = 1500 \text{ tr/mn}$ et $N = 2800 \text{ tr/mn}$

Fig 3-a



Fig

Fig 3-6



3-I ETUDE DE L'EFFORT DE LA CHEMISE SUR LE PISTON

3-I-1 MOTEUR MONOCYLINDRE " QUATRE TEMPS "

La direction de l'effort lateral de la chemise sur le piston \vec{F}_c est parallele a l'axe \vec{X}_o du repere fixe ($0, \vec{X}_o, \vec{Y}_o, \vec{Z}_o$)

$$\vec{F}_c = X_c . \vec{X}_o$$

les figures (3-I, 3-2, 3-3, 3-4,) montrent l'evolution de l'effort de la chemise sur le piston a pleine charge et sans charge pour $N = 1\ 500 \text{Tr/mn}$ et $N = 2\ 800 \text{Tr/mn}$

A - PLEINNE CHARGE

L'effort \vec{F}_c est periodique de periode 4π , il est compose de deux efforts antagonistes :

- L'effort due aux gaz de periode 4π , qui tend a pousser le piston sur la chemise dans le sens des \vec{X}_o positifs; ce qui donne une reaction \vec{X}_c de la chemise sur le piston negative sur \vec{X}_o
- L'effort due aux inerties de periode 2π , symetrique par rapport a $\theta = \pi$

ces deux efforts se composent et ~~s'opposent~~ au moment de la charge
 + pour $N = 1\ 500 \text{Tr/mn}$, effort maximal (du aux gaz) = -4736.79 N
 pour $\theta = 388^\circ$
 + pour $N = 2\ 800 \text{Tr/mn}$, effort maximal (du aux inerties) = -4185.8 N
 pour $\theta = 389^\circ$

On remarque que pour $N = 2800 \text{Tr/mn}$, ce n'est pas l'effort du aux gaz qui engendre l'effort lateral maximal. au vaut -4130.9 N pour $\theta = 388^\circ$

FIG 3-1

effort lateral de la chemise sur le piston
pour N=1500 tr/mn en (pleine charge)

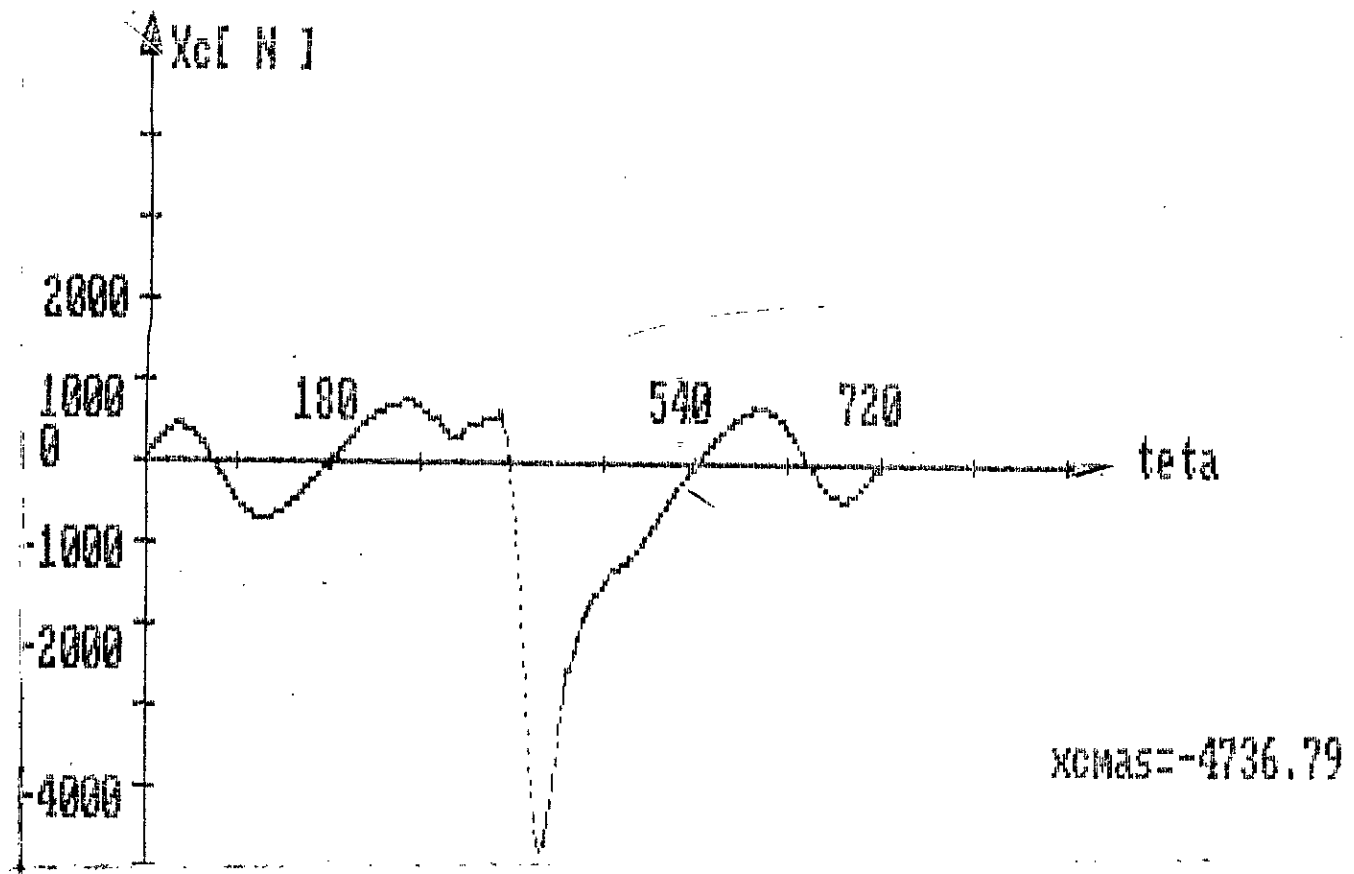


FIG 3-2

effort lateral de la chemise sur le piston
pour N=1500 tr/mn en (sans charge)

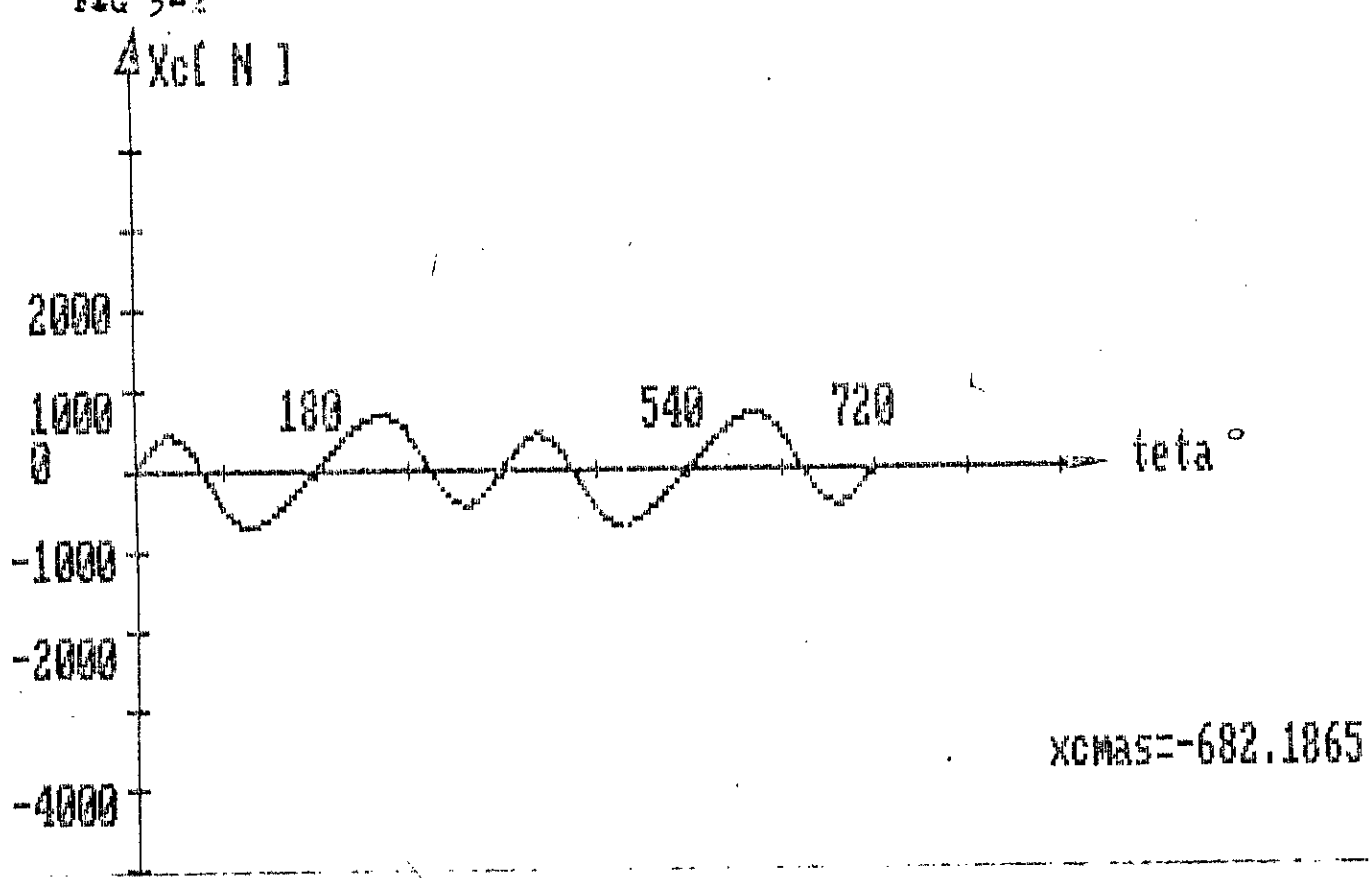


FIG 3-3

effort lateral de la chemise sur le piston
pour N=2800 tr/mn en (pleine charge)

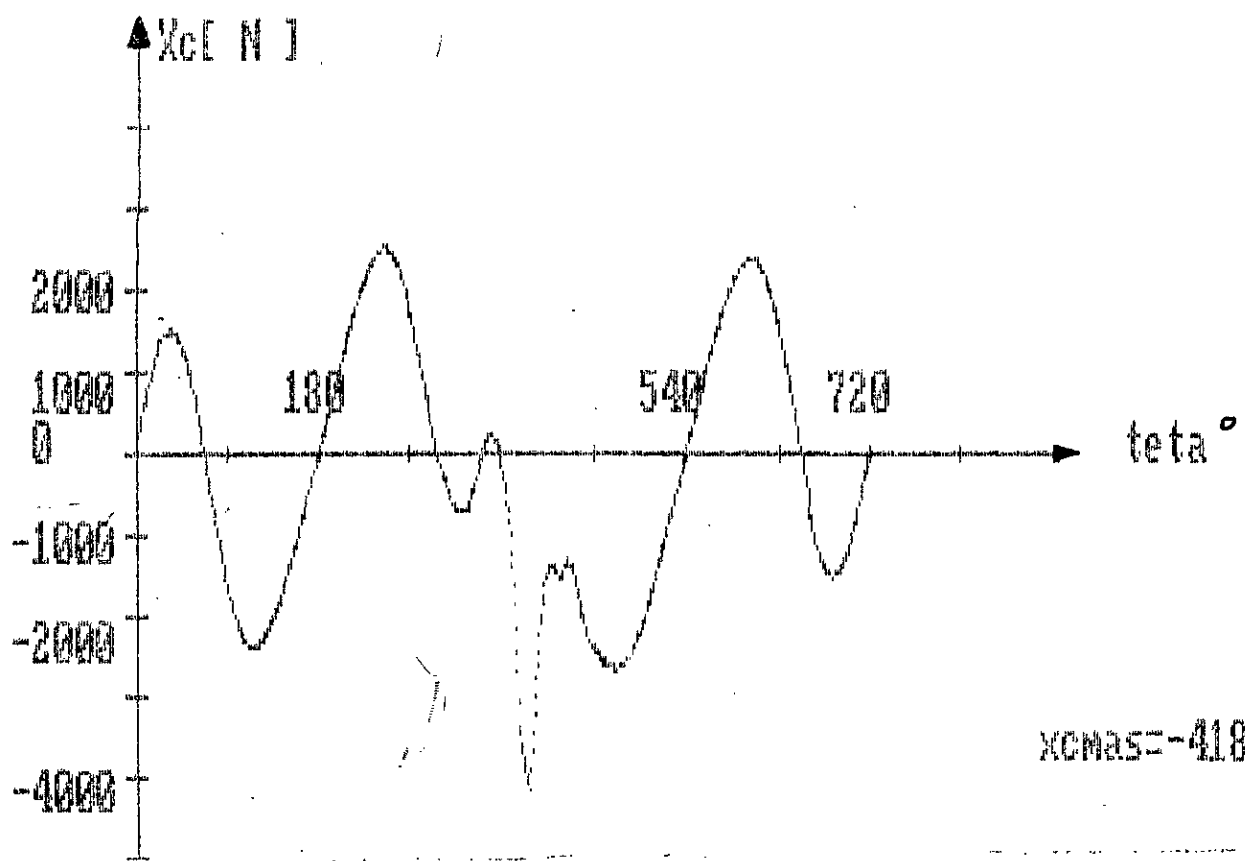
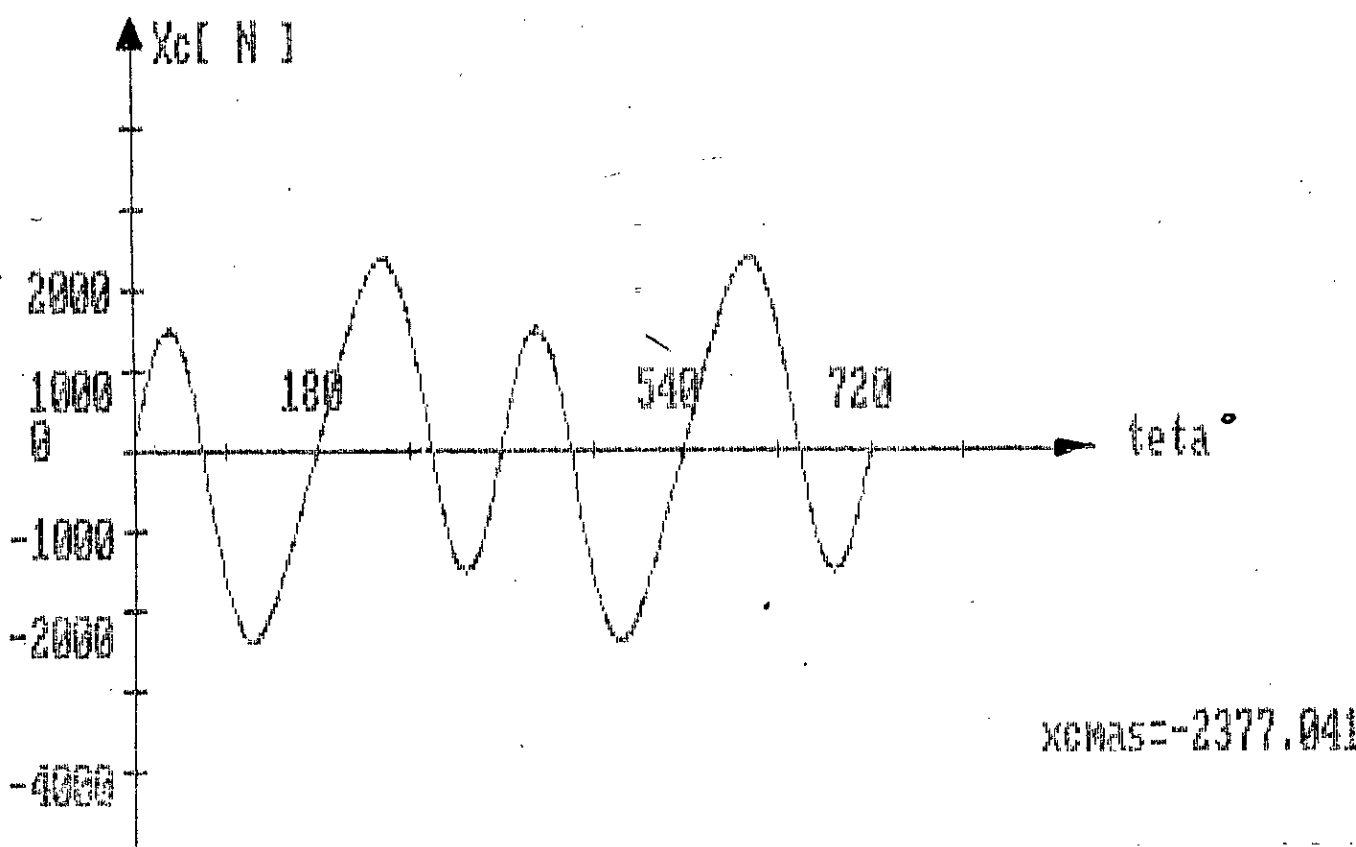


FIG 3-4

effort lateral de la chemise sur le piston
pour N=2800 tr/mn en (sans charge)



B - SANS CHARGE

L'effort est periodique de periode , symetrique pa rapport a c'est effort uniquement dû aux inerties .

- + pour $N = 1\ 500 \text{ tr/mn}$, effort maximal = $-682.18 \text{ N POUR } \theta = 116^\circ$
= $+682.18 \text{ N POUR } \theta = 244^\circ$
- + pour $N = 2\ 800 \text{ tr/mn}$, effort maximal = $-2377.04 \text{ N POUR } \theta = 116^\circ$
= $+2377.04 \text{ N POUR } \theta = 244^\circ$

3 - I - 2 MOTEUR QUATRE CYLINDRES EN LIGNE " QUATRE TEMPS "

Quelle que soit la disposition choisie , le moteur polycylindre peut etre considere comme resultant de l'assemblages d'un nombre plus ou moins grand de monocylindres .

En ce qui concerne la cinematique de l'embiellage , les resultants qui precedent sont applicables au polycylindre . les efforts des forces deja etudiees se composent pour les divers cylindre . Dans le but d'obtenir la meilleure regularite de couple possible . On s'efforce en pratique de realiser l'equidistance des cycles relatifs aux differents cylindres , ce qui impose de caler les differents coudes du vilebrequin selon un même angle δ , pour un moteur n cylindres nous avons donc :

- $\delta = \frac{4\pi}{n}$ si le cycle est a quatre temps
- $\delta = \frac{2\pi}{n}$ si le cycle est a deux temps

pour connaitre la resultante des efforts en moteur " n " cylindres en ligne , il suffit de composer les forces F_c du moteur monocylindre avec un dephasage ($4\pi/n$).

pour moteur quatre cylindres " quatre temps " :

$$F_c(\theta) = F_c(\theta) + (\theta + \pi) + F_c(\theta + 2\pi) + F_c(\theta + 3\pi)$$

Les figures (3-5a, 3-5b, 3-6, 3-7) representent respectivement l'evolution de l'effort lateral resultant des chemises sur les pistons en fonction de l'angle vilebrequin pour $N = 1\ 500 \text{ tr/mm}$ et $N = 2\ 800 \text{ tr/mm}$ a plein charge et sans charge .

A - PLEINE CHARGE

L'effort est periodique de periode π .

- + pour $N = 1\ 500 \text{ tr/mm}$, effort maximal (dû aux gaz) = -3551.82 N
pour $\theta = 28^\circ$
- + pour $N = 2\ 800 \text{ tr/mm}$, effort maximal (dû aux inerties) = -6225.17 N
pour $\theta = 133^\circ$

B - SANS CHARGE

C'est effort uniquement dû aux inerties , il est periodique de periode π , symetrique par rapport a $\pi/2$

- + pour $N = 1\ 500 \text{ tr/mm}$, effort maximal = 1945.2 N pour $\theta = 46^\circ$
 $= -1945.2 \text{ N}$ pour $\theta = 134^\circ$
- + pour $N = 2\ 800 \text{ tr/mm}$, effort maximal = 6770.58 N pour $\theta = 47^\circ$
 $= -6770.58 \text{ N}$ pour $\theta = 134^\circ$

FIG 3-5a

effort lateral de la chemise sur le piston
pour N=1500 tr/mn en (pleine charge)

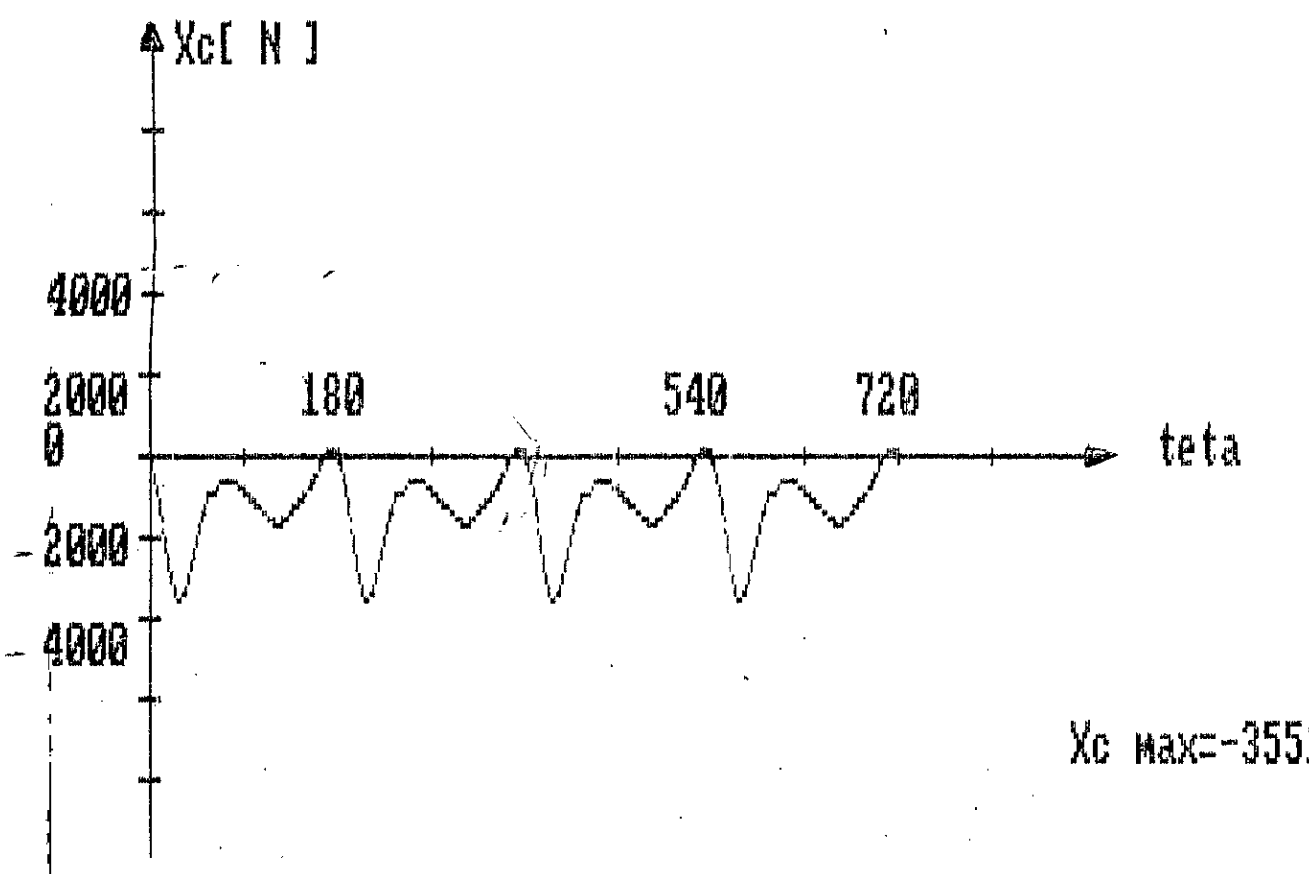


FIG 3-5b

effort lateral de la chemise sur le piston
pour N=1500 tr/mn en (sans charge)

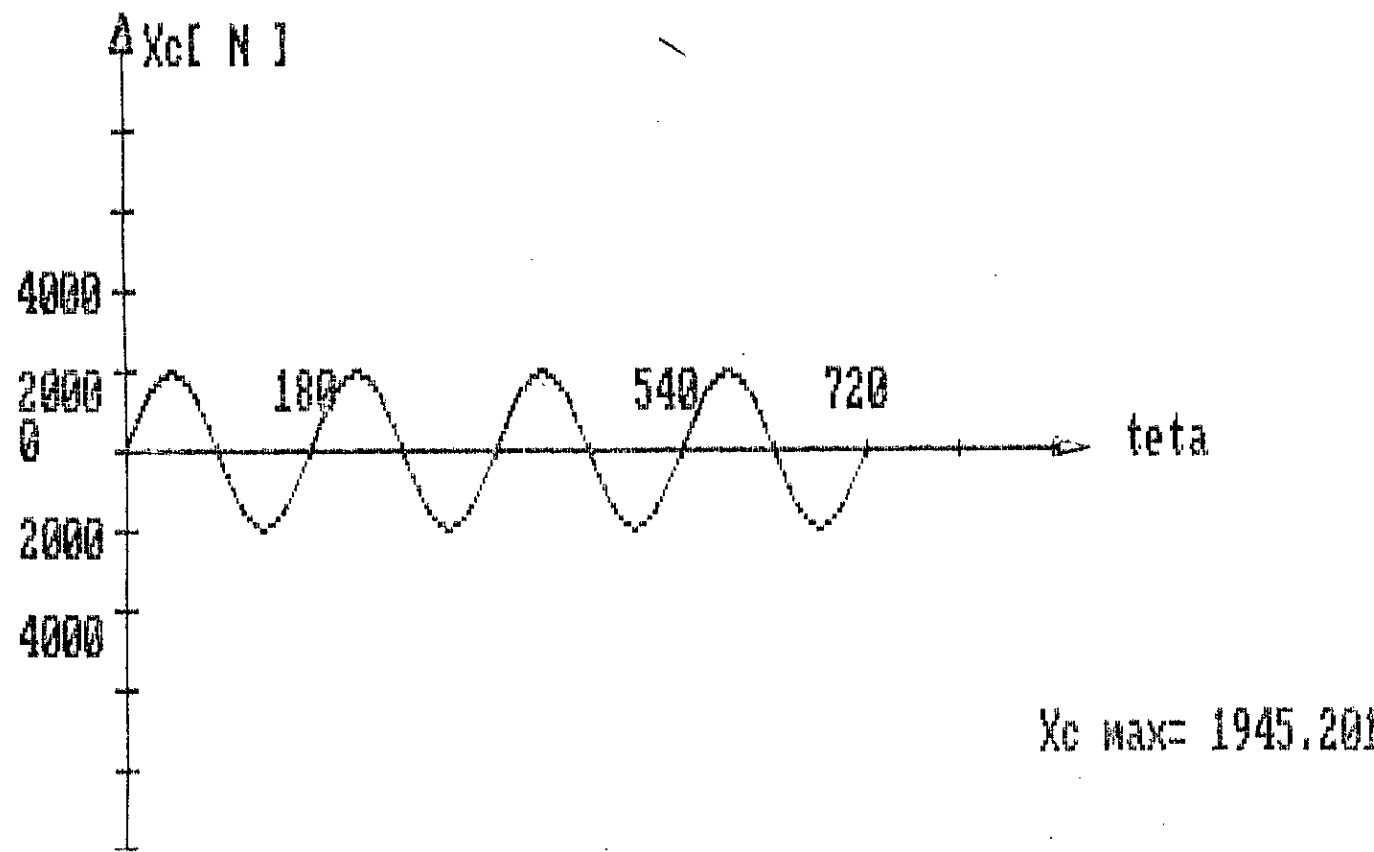


FIG 3-6

effort lateral de la chemise sur le piston
pour N=2800 tr/mn en (pleine charge)

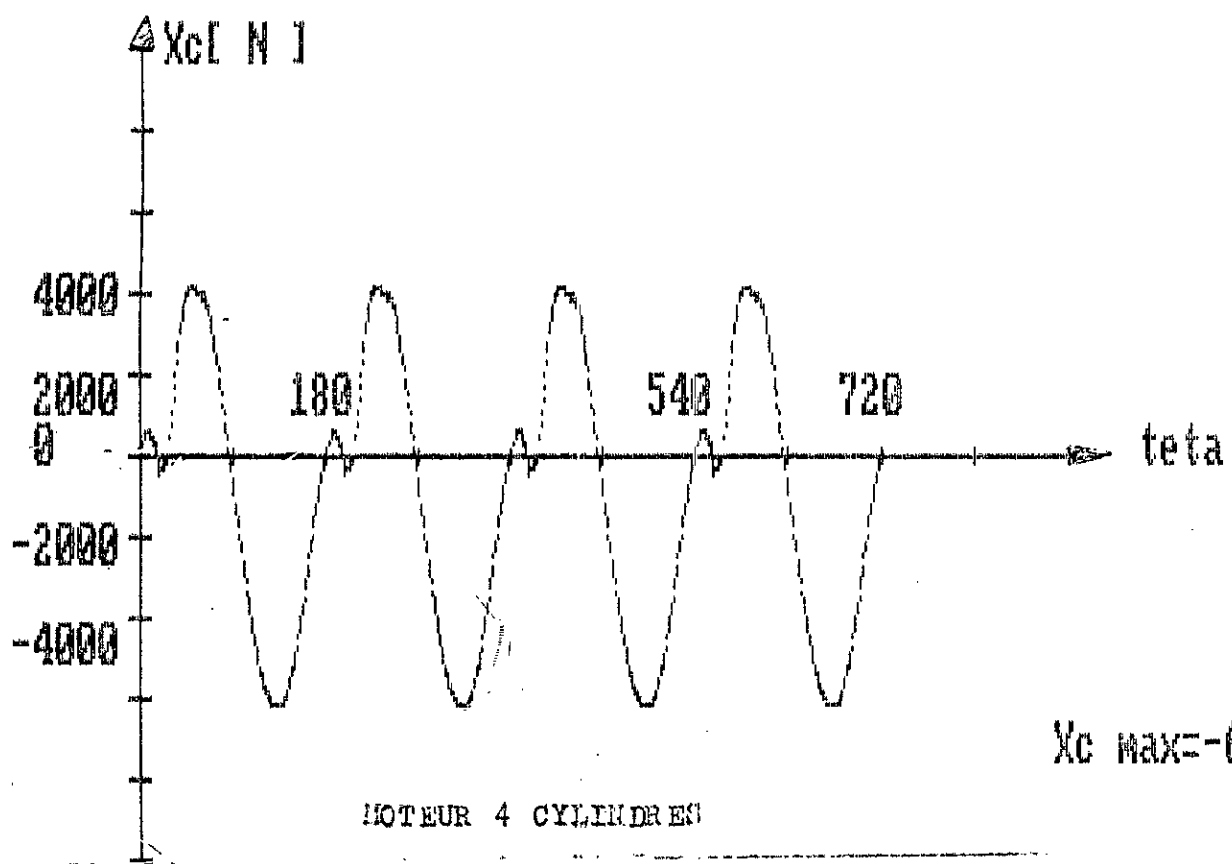
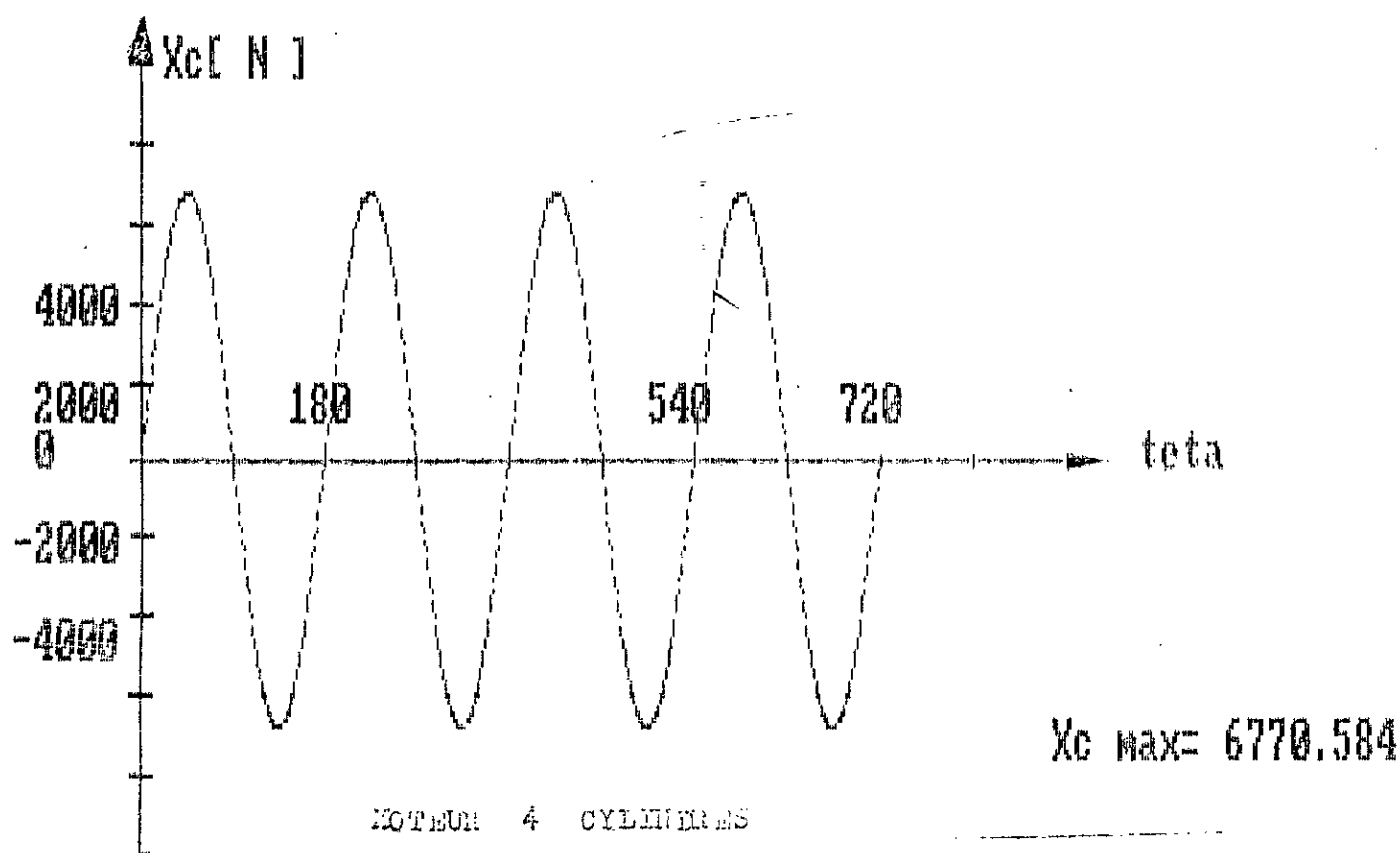


FIG 3-7

effort lateral de la chemise sur le piston
pour N=2800 tr/mn en (Sans charge)



3.2 ETUDE DE L'EFFORT DANS L'AXE DE LA BIELLE F_a SUR L'AXE Y_1

La projection de l'effort \vec{F}_a sur l'axe Y_1 du repere $(\vec{x}_1, \vec{y}_1, \vec{z}_1)$ donne :

$$\vec{F}_a \cdot \vec{Y}_1 = - X_a \sin \theta + Y_a \cos \theta$$

Sur les figures (3.3, 3.4, 3.10, 3.11) on trace l'évolution de l'effort dans l'axe de la bielle " \vec{F}_a " sur Y_1 pour $N=1500$ tr/mn et $N=2800$ tr/mn, à pleine charge et sans charge

A - PLEINE CHARGE

L'effort est périodique de période 4π il est composé de deux efforts antagonistes

- L'effort du aux gaz de période 4π
- L'effort du aux inerties de période 2π symétrique par rapport

a $\theta = \pi$

+ Pour $N=1500$ tr/mn effort maximal (du aux gaz) = $32459.81 N$
pour $\theta = 379^\circ$

+ Pour $N=2800$ tr/mn effort maximal (du aux inerties) = $25648.2 N$
pour $\theta = 379^\circ$

On remarque que pour $N=2800$ tr/mn, ce n'est pas l'effort du aux gaz qui engendre l'effort dans l'axe de la bielle maximal, au moment de l'explosion, l'effort maximal du aux gaz vaut que $25648.2 N$ pour $\theta = 379^\circ$

B - SANS CHARGE

L'effort est périodique de période 2π , symétrique par rapport

a $\theta = \pi$

+ Pour $N=1500$ tr/mn, effort maximal = $-5963.709 N$ pour $\theta = 0^\circ$
= $-5963.709 N$ pour $\theta = 360^\circ$

+ Pour $N=2800$ tr/mn, effort maximal = $-20780.21 N$ pour $\theta = 0^\circ$
= $-20780.21 N$ pour $\theta = 360^\circ$

FIG 3-8 effort dans l'axe de la bielle Fa sur Y1
pour N=1500 tr/mn (pleine charge)

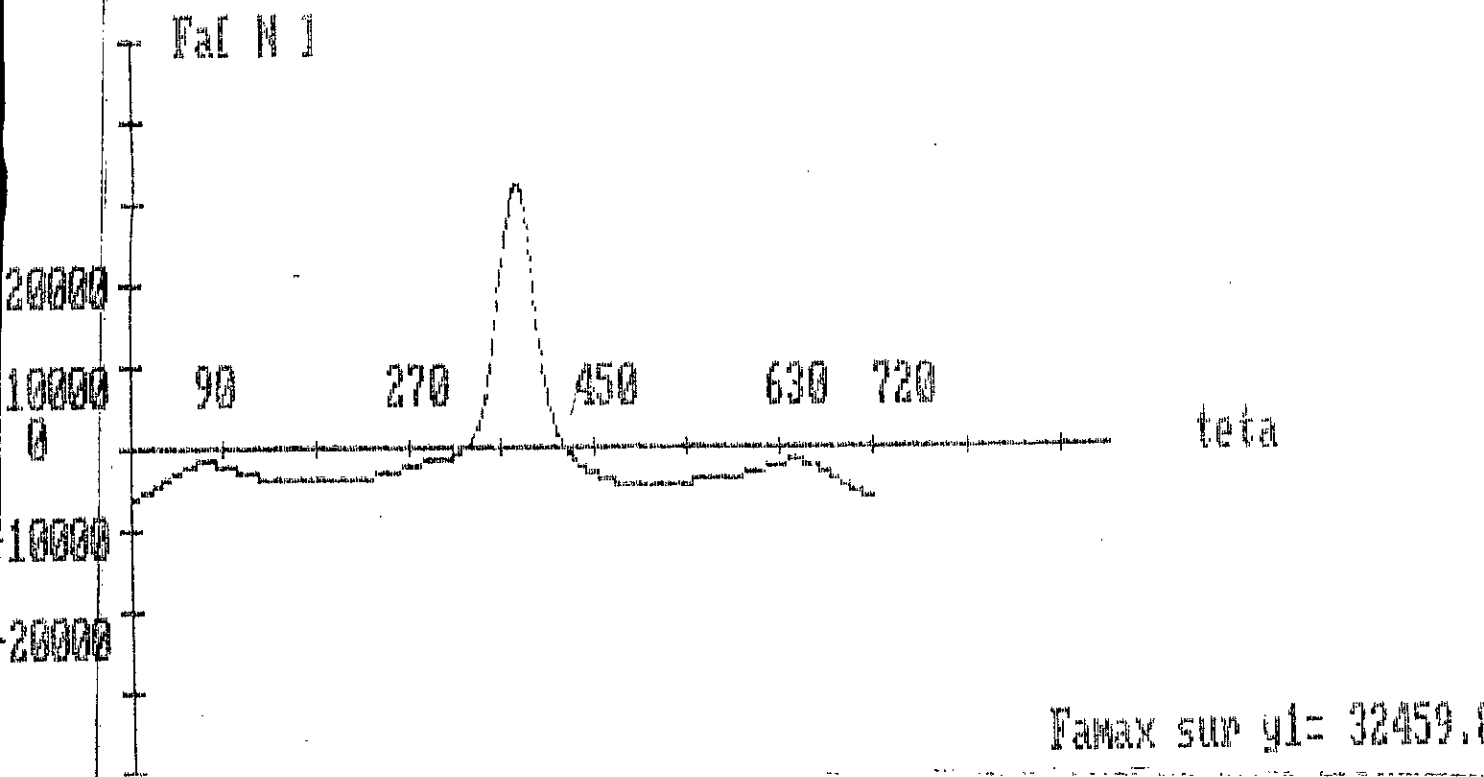


FIG 3-9 effort dans l'axe de la bielle Fa sur Y1
pour N=1500 tr/mn (sans charge)

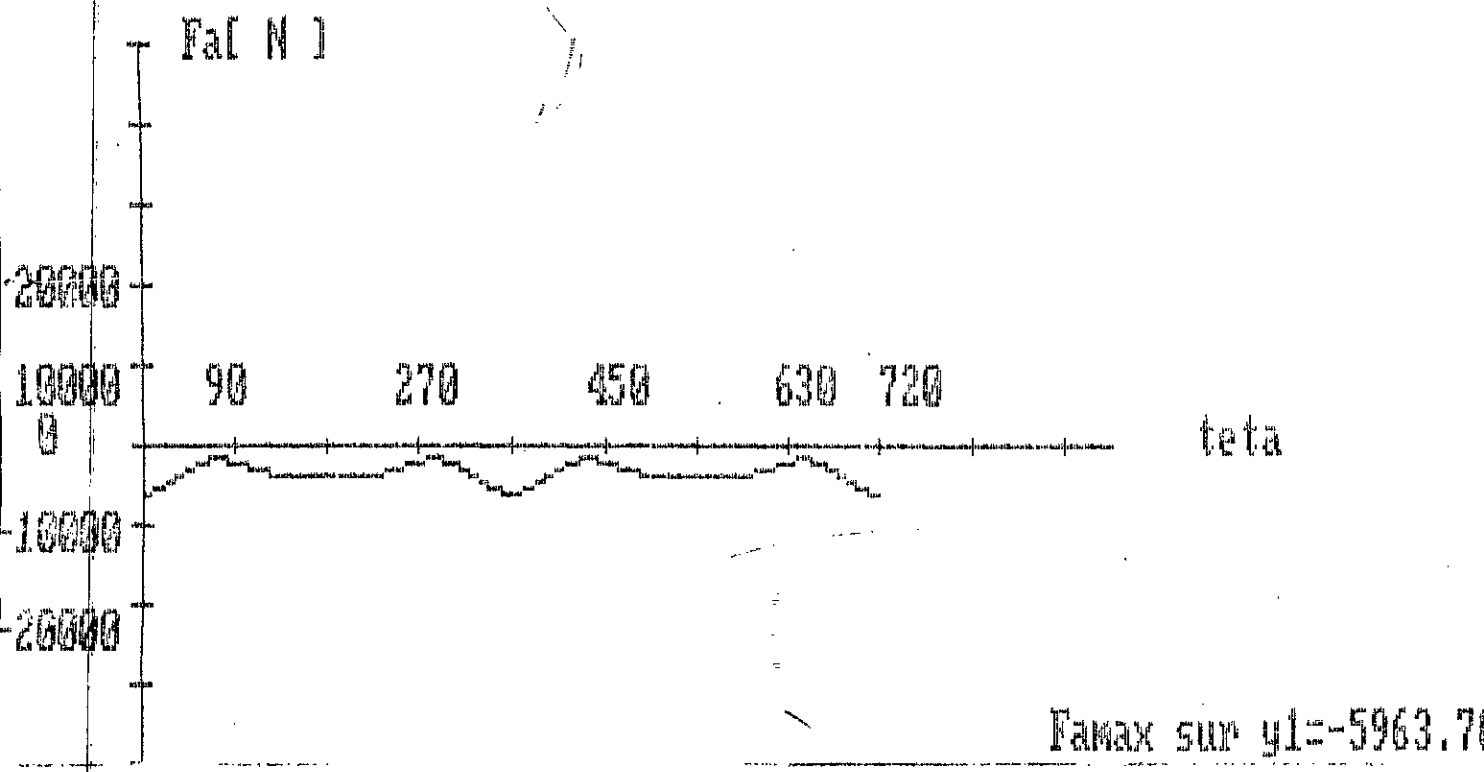


FIG 3-10

effort dans l'axe de la bielle Fa sur y1
pour N=2800 tr/min (sans charge)

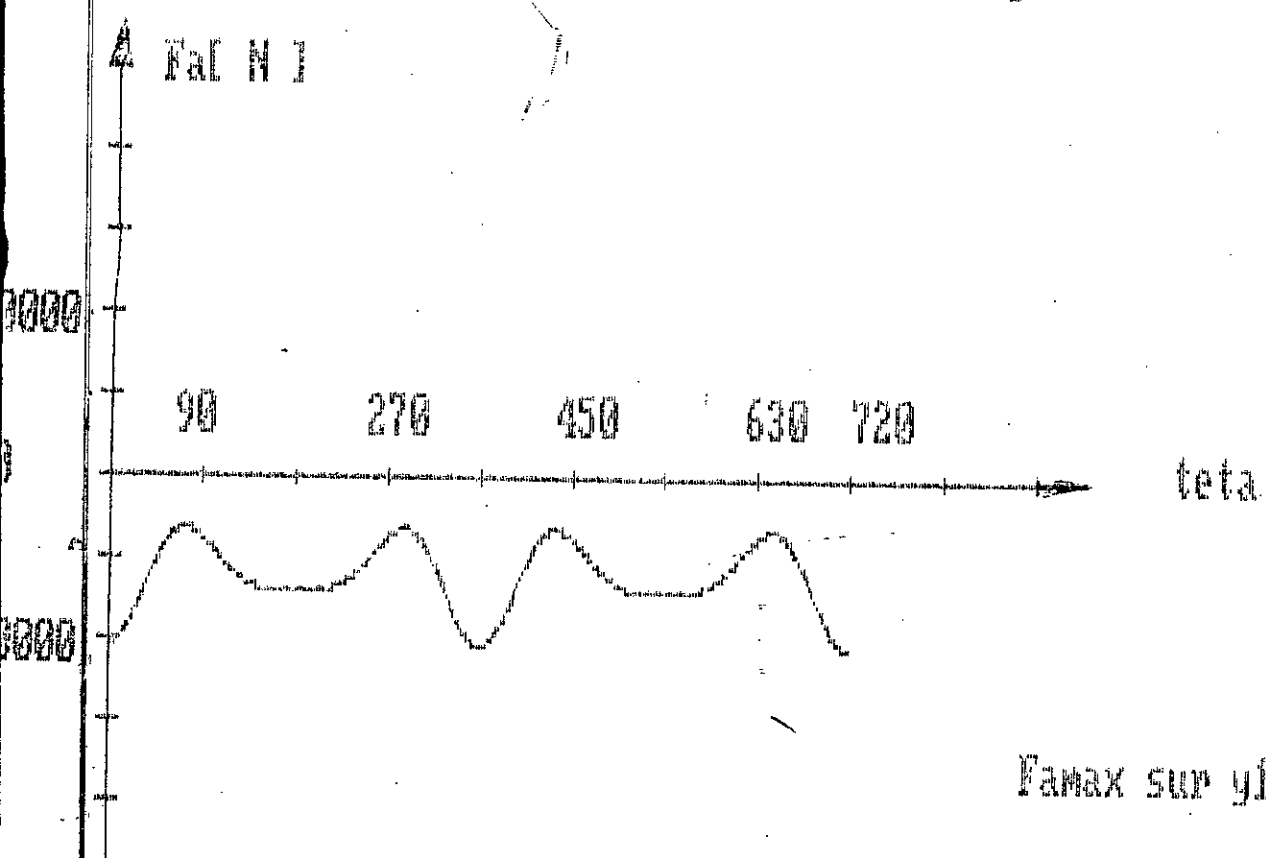
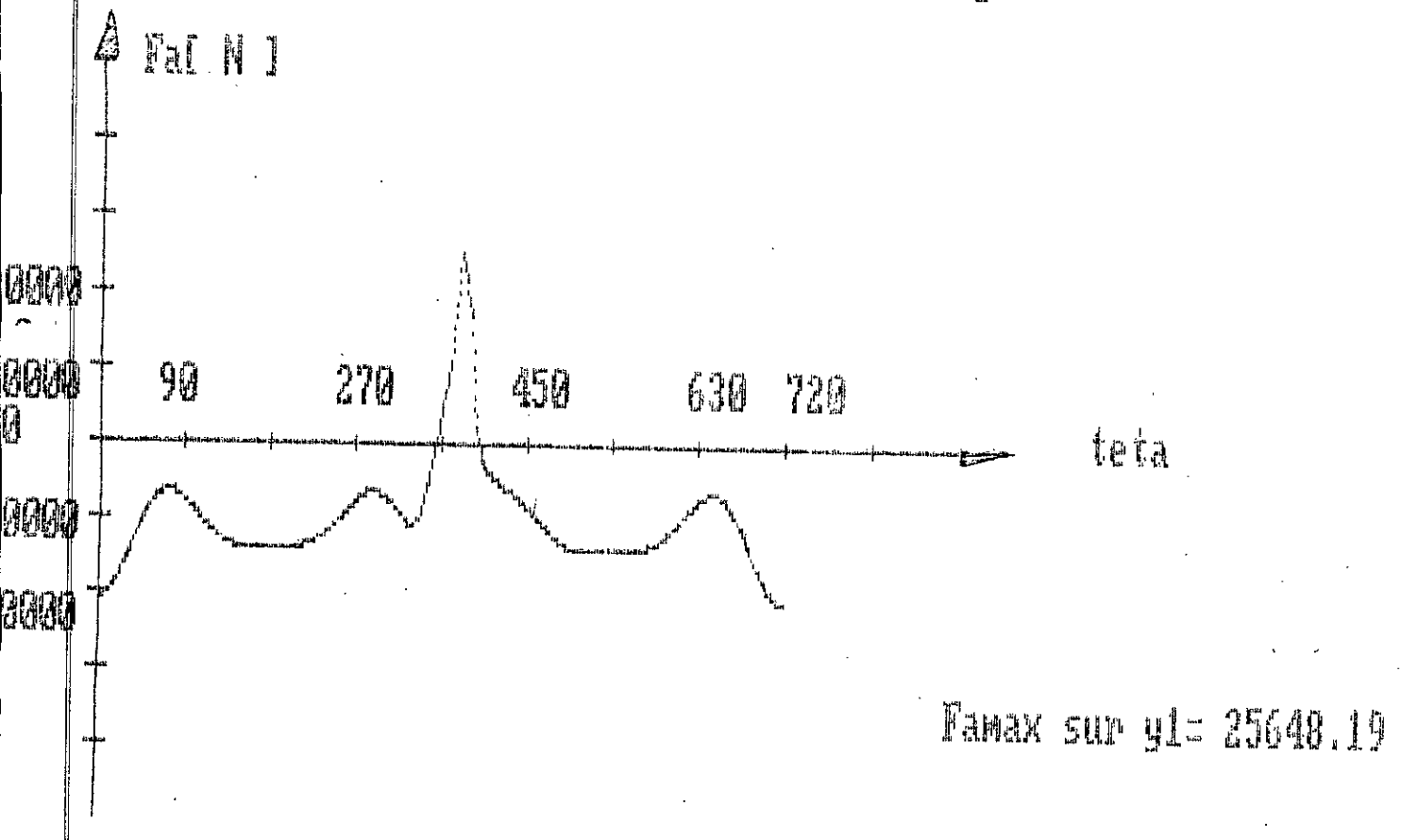


FIG 3-11

effort dans l'axe de la bielle Fa sur y1
pour N=2800 tr/min (pleine charge)



3 - 3 ETUDE DE L'EFFORT AU NIVEAU DE L'AXE DE PISTON " \vec{F}_b " SUR \vec{Y}_2

La projection de l'effort " \vec{F}_b " sur l'axe \vec{Y}_2 du repère (B, \vec{X}_2 , \vec{Y}_2 , \vec{Z}_2) donne :

$$\vec{F}_b \cdot \vec{Y}_2 = - X_b \sin \varphi + Y_b \cos \varphi$$

Sur les figures (3-I2, 3-I3, 3-I4, 3-I5) on trace l'évolution de l'effort au niveau de l'axe du piston " \vec{F}_b " sur \vec{Y}_2 pour $N = 1\ 500 \text{ tr/mn}$ et $N = 2\ 800 \text{ tr/mn}$ à pleine charge et sans charge .

A - PLEINE CHARGE

L'effort " \vec{F}_b " est périodique de période 4π , il est composé de deux efforts antagonistes :

- L'effort dû aux gaz de période 4π .
- L'effort dû aux inerties de période 2π , symétrique par rapport à $\theta = \pi$

+ Pour $N = 1\ 500 \text{ tr/mn}$, effort maximal (dû aux gaz) = 38877.04N
pour $\theta = 382^\circ$

+ Pour $N = 2\ 800 \text{ tr/mn}$, effort maximal (dû aux inerties) = 38051.56N
pour $\theta = 379^\circ$

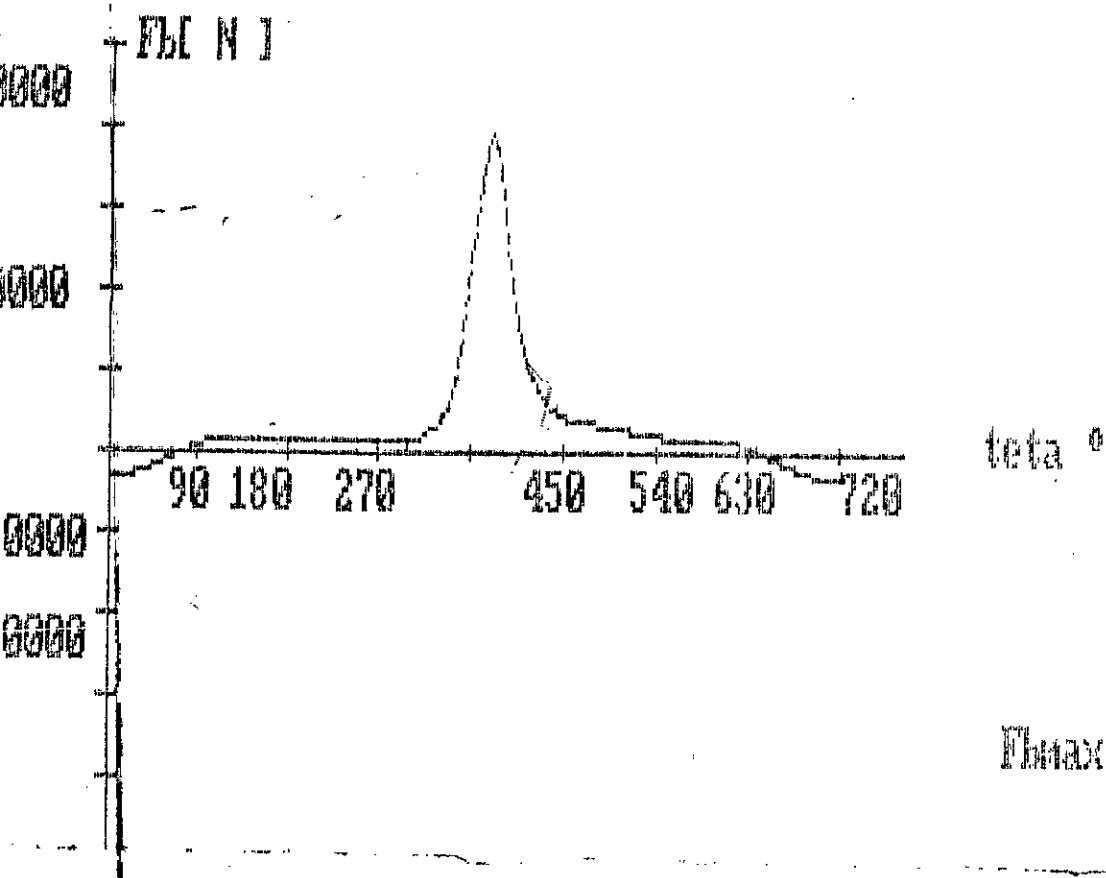
B - SANS CHARGE

L'effort est périodique de période 2π , symétrique par rapport à $\theta = \pi$, c'est effort uniquement dû aux inerties .

+ pour $N = 1\ 500 \text{ tr/mn}$, effort maximal = -3207.269N pour $\theta = 0^\circ$
= -3207.269N pour $\theta = 360^\circ$

+ pour $N = 2\ 800 \text{ tr/mn}$, effort maximal = -III75.55N pour $\theta = 0^\circ$
= -III75.55N pour $\theta = 360^\circ$

effort au niveau de l'axe de piston F_b sur y2
FIG 3-12 pour N= 1500 tr/mn (pleine charge)



effort au niveau de l'axe de piston F_b sur y2
FIG 3-13 pour N= 1500 tr/mn (sans charge)

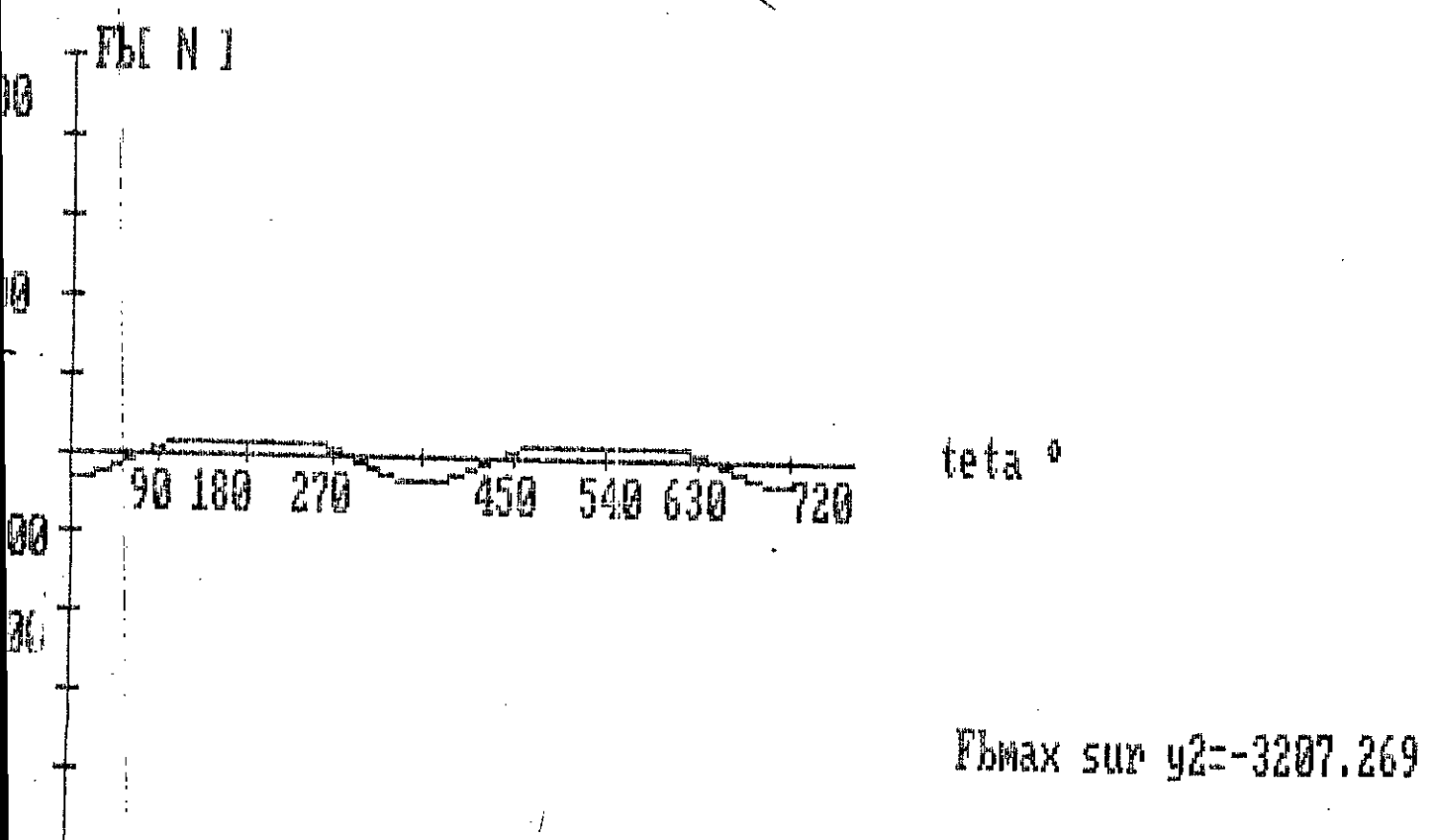
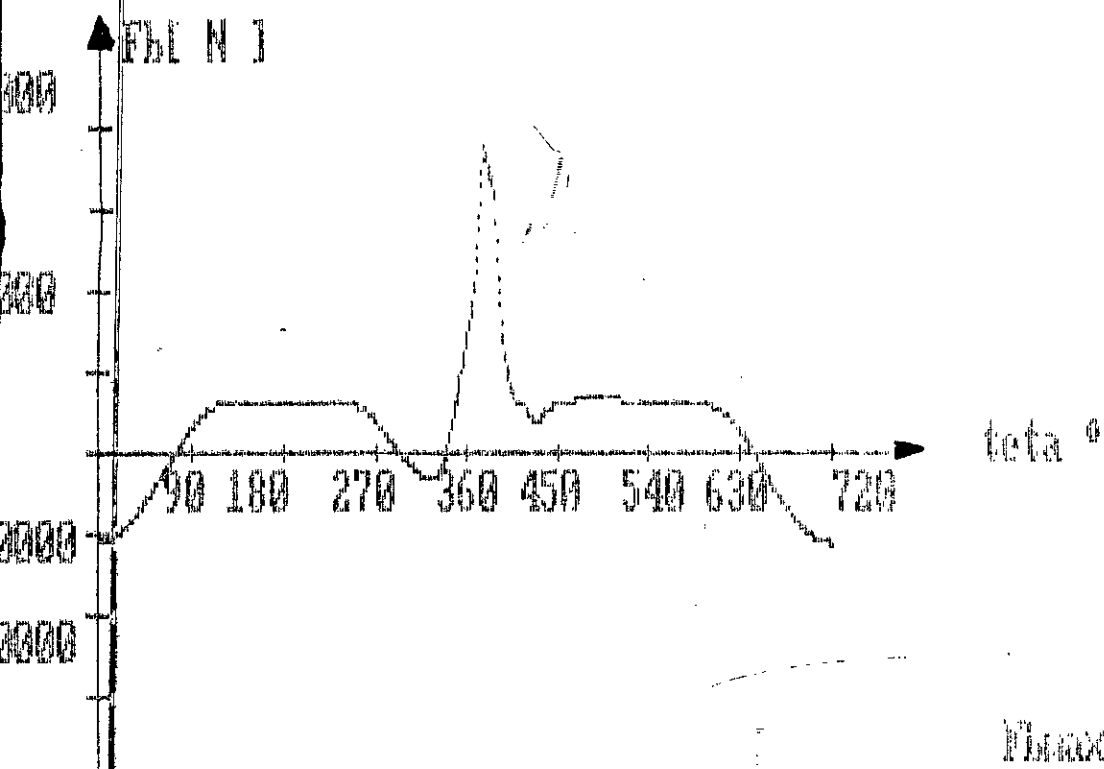
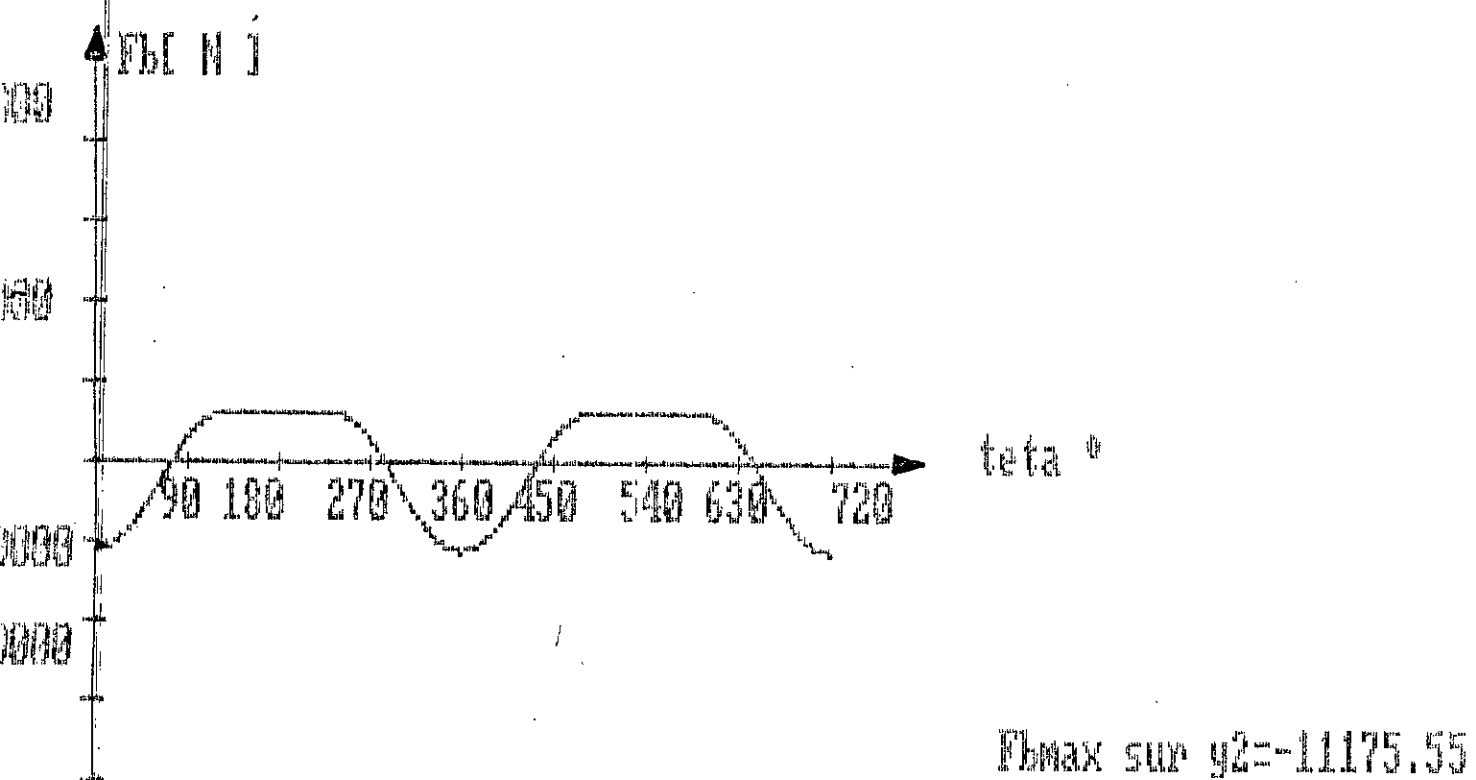


FIG 3-14 effort au niveau de l'axe de piston F_b sur Y2
pour N= 2800 tr/mn (pleine charge)



effort au niveau de l'axe de piston F_b sur Y2
pour N= 2800 tr/mn (sans charge)



3 - 4 ETUDE DE L'EFFORT AU NIVEAU DES TOURILLONS " Fo " SUR Y₁

Les figures (3-I6, 3-I7, 3-I8, 3-I9) représentent respectivement l'évolution de l'effort au niveau des tourbillons " Fo " sur Y₁ en fonction de l'angle vilebrequin pour N = 1 500 tr/mn et N = 2 800 à pleine charge et sans charge .

A - PLEINE CHARGE

L'effort est périodique de période 4π , il est composé de deux efforts antagonistes :

- L'effort dû aux gaz de période 4π

- L'effort dû aux inerties de période 2π

+ pour N = 1500 tr/mn, effort maximal (dû aux gaz) = ~~31036.03~~ N
pour $\theta = 379^\circ$

+ pour N = 2800 tr/mn, effort maximal (dû aux inerties) = -25594.83 N
pour $\theta = 0^\circ$

B - SANS CHARGE

L'effort est uniquement dû aux inerties, il est périodique de période 2π , symétrique par rapport à $\theta = \pi$

+ pour N = 1500 tr/mn, effort maximal = -7345.453 N pour $\theta = 0^\circ$
= -7345.453 N pour $\theta = 360^\circ$

+ pour N = 2800 tr/mn, effort maximal = -25594.83 N pour $\theta = 0^\circ$
= -25594.83 N pour $\theta = 360^\circ$

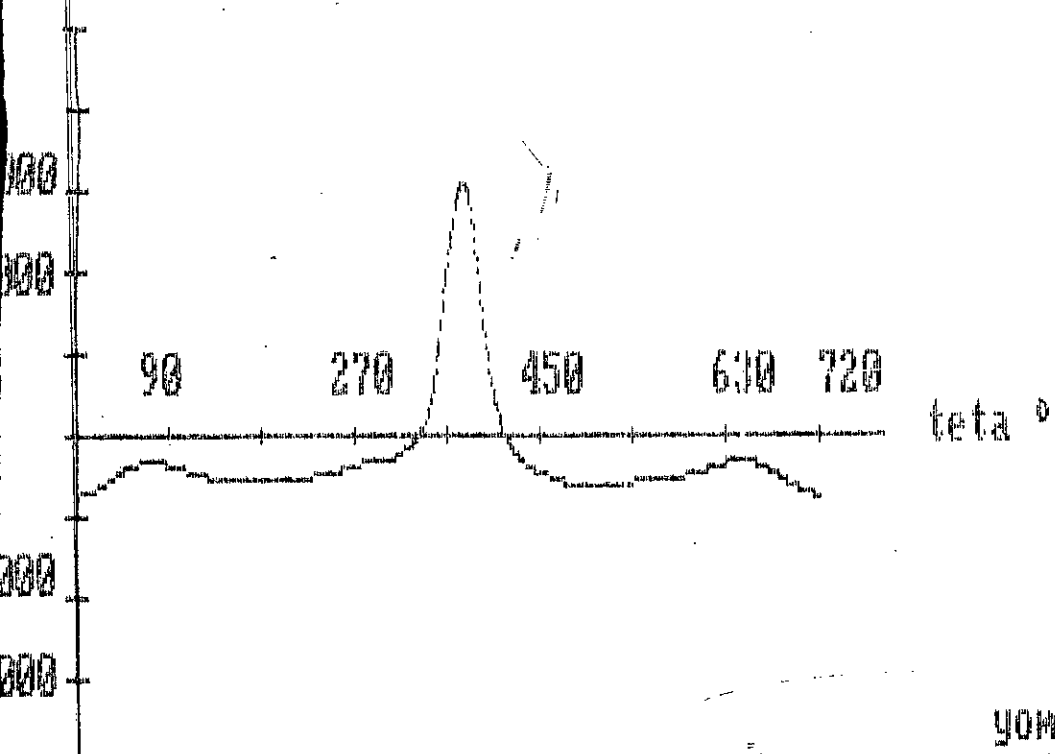
On remarque que pour N = 2800 tr/mn, ce n'est pas l'effort dû aux gaz qui engendre l'effort au niveau des tourbillons maximal, au moment de l'explosion, l'effort maximal dû au gaz ne vaut que 20833.57 pour $\theta = 379^\circ$

La relation de " Fo " sur Y₁ est :

$$Fo \rightarrow Y_1 = -X_0 \sin \theta + Y_0 \cos \theta$$

FIG 3-I6 effort au niveau des tourbillons Re sur Y1
pour N = 1500 tr/mn (pleine charge)

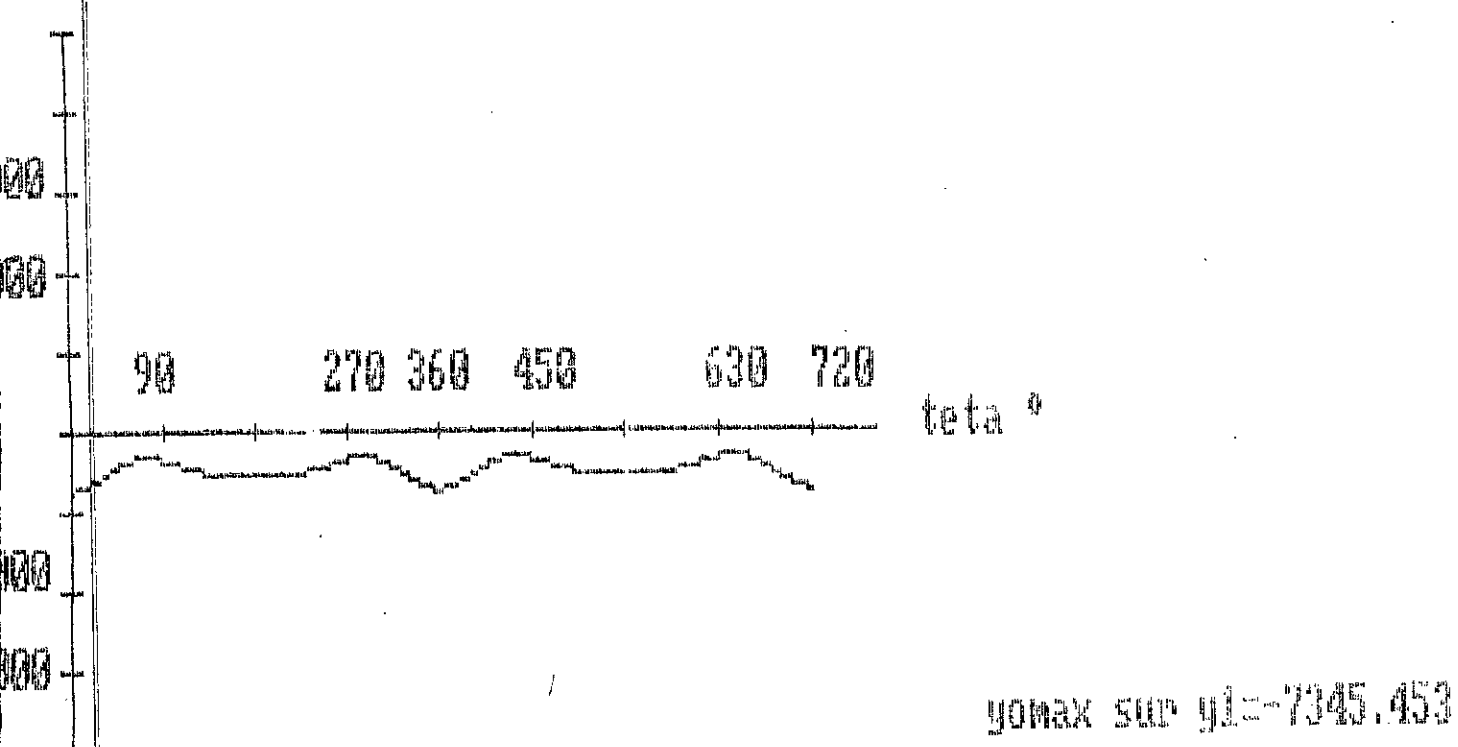
Réf N° 1



y0max sur y1 = 31078.08

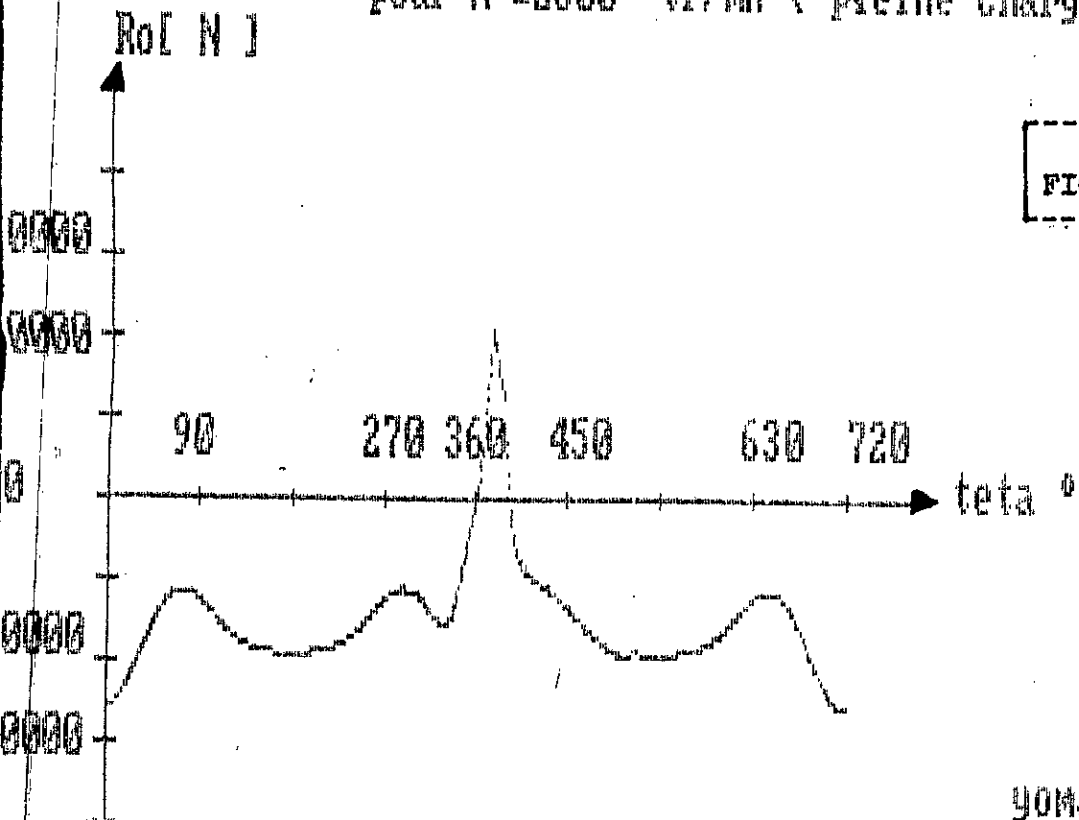
FIG 3-I7 effort au niveau des tourbillons Re sur Y1
pour N = 1500 tr/mn (sans charge)

Réf N° 1

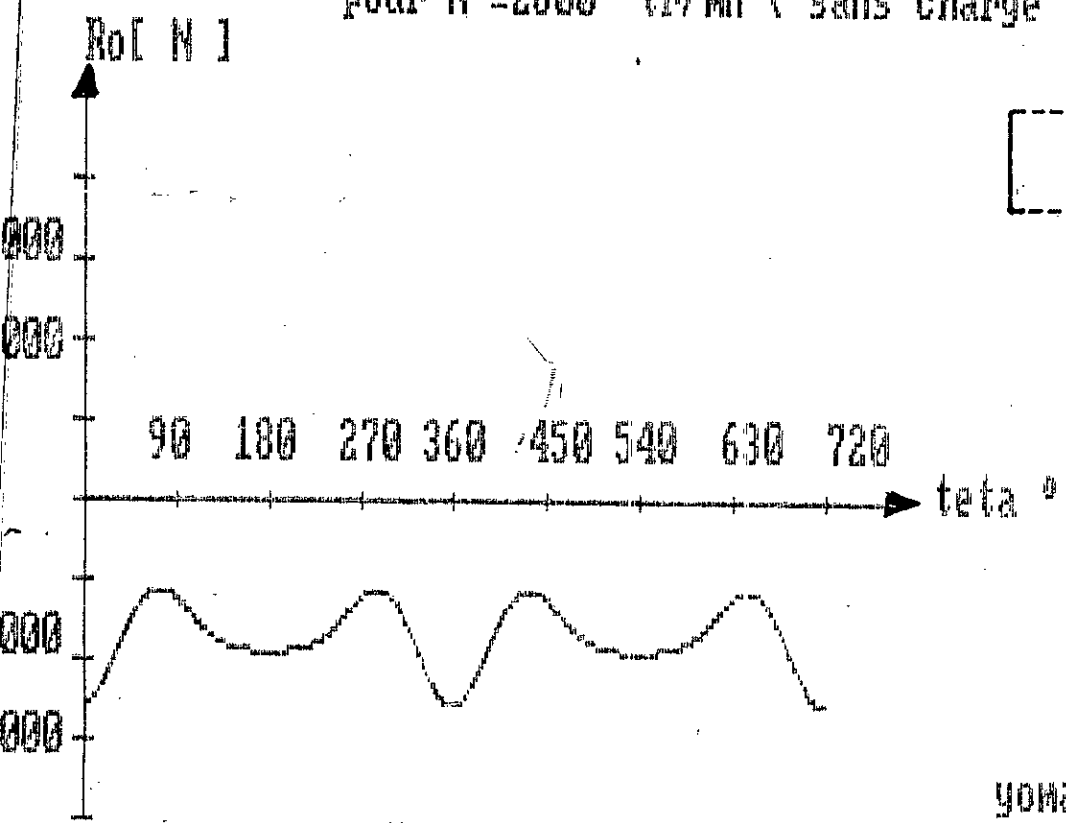


y0max sur y1 = 7345.453

effort au niveau des tourbillons Ro sur Y1
pour N = 2800 tr/mn (pleine charge)



effort au niveau des tourbillons Ro sur Y1
pour N = 2800 tr/mn (sans charge)



3 - 5 ETUDE DE L'EFFORT DANS L'AXE DE LA BIELLE "Fa" SUR Y2

Cet effort est la projection de "Fa" sur l'axe de la bielle :

$$F_a \rightarrow Y_2 = - X_a \sin \varphi + Y_a \cos \varphi$$

Les figures (3-20, 3-22, 3-23) representent respectivement l'évolution de l'effort dans l'axe de la bielle en fonction de l'angle vilebrequin pour $N = 1\ 500 \text{ tr/mn}$ et $N = 2\ 800 \text{ tr/mn}$ à pleine charge et sans charge .

A - PLEINE CHARGE

L'effort est périodique de période 4π , il est composé de deux efforts antagonistes

- L'effort dû aux gaz de période 4π , qui tend à comprimer la bielle et qui engendre une action de la bielle sur le maneton dans le sens des $\overrightarrow{Y_2}$ positifs, ce qui donne une réaction "Fa" du maneton sur la bielle négative sur $\overleftarrow{Y_2}$
- L'effort dû aux inerties de période 2π , symétrique par rapport à $\theta = \pi$, qui tend à étirer la bielle au P M H et la comprimer au "P M B".

Ces deux efforts se composent et s'opposent au moment de la charge

+ Pour $N = 1500 \text{ tr/mn}$, effort maximal (dû aux gaz) = $-36449.41 N$
pour $\theta = 382^\circ$

+ pour $N = 2800 \text{ tr/mn}$, effort maximal (dû aux inerties) = $-29308.2 N$
pour $\theta = 379^\circ$

Pour $N = 2800 \text{ tr/mn}$, ce n'est pas l'effort dû aux gaz qui engendre l'effort dans l'axe de la bielle maximal, au moment de l'explosion, l'effort maximal dû aux gaz ne vaut que $-27597.56 N$ pour $\theta = 382^\circ$

FIG 3-20

effort dans l'axe de la bielle F_A sur y2
pour N= 1500 tr/mn (pleine charge)

F_A [N]

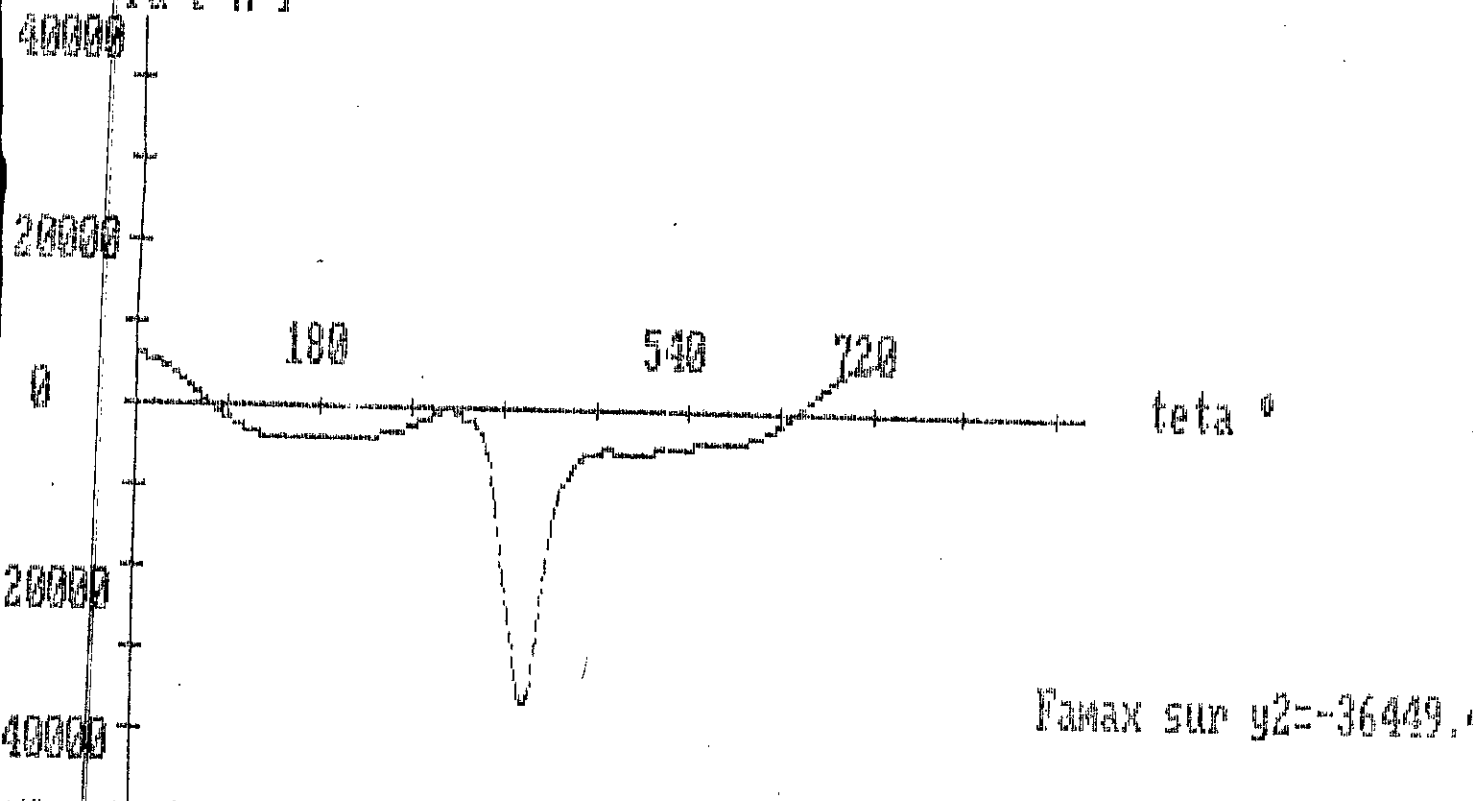


FIG 3-21

effort dans l'axe de la bielle F_A sur y2
pour N= 1500 tr/mn (sans charge)

F_A [N]

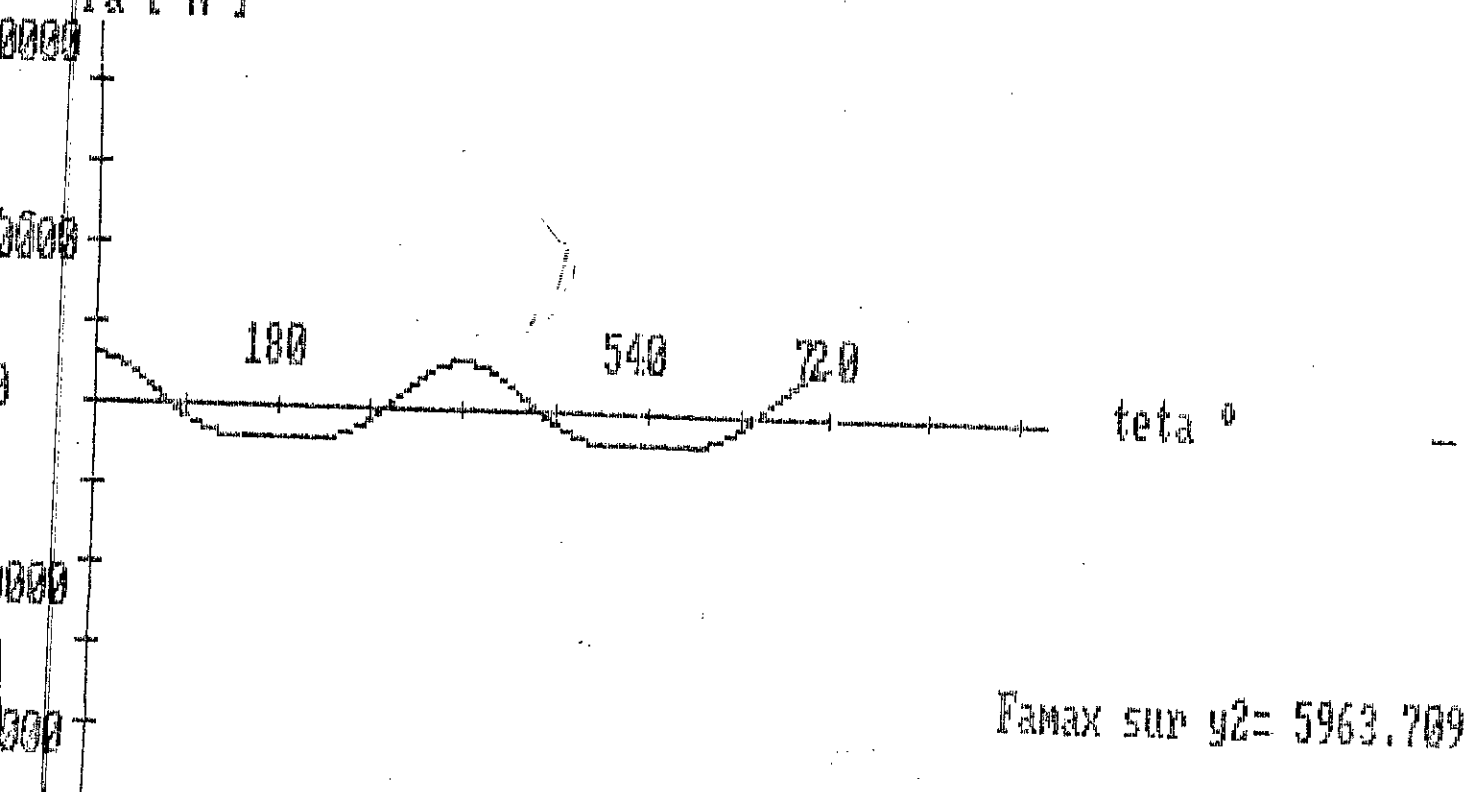


FIG 3-22

effort dans l'axe de la bielle FA sur Y2
pour N= 2800 tr/mn (pleine charge)

Fa [N]

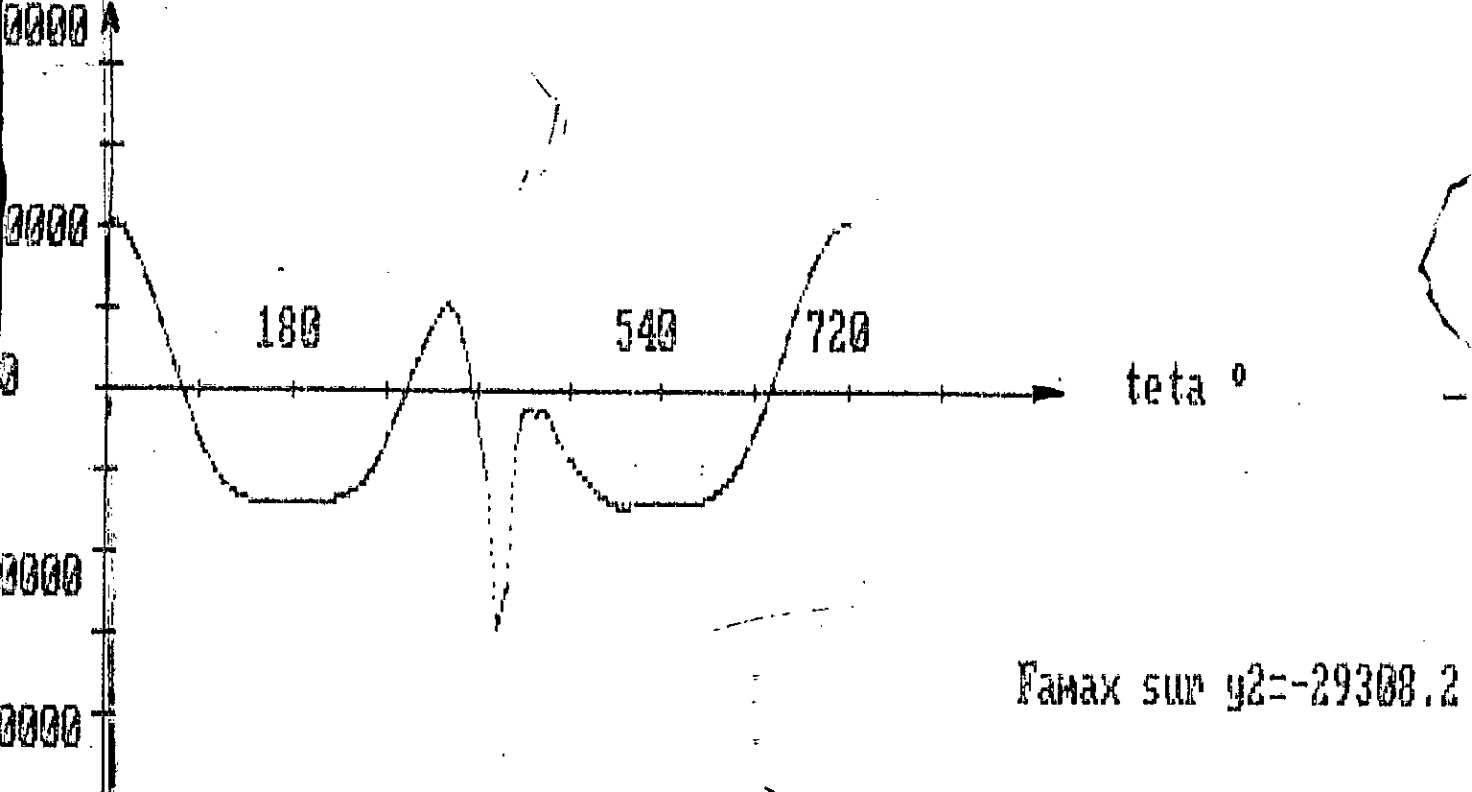
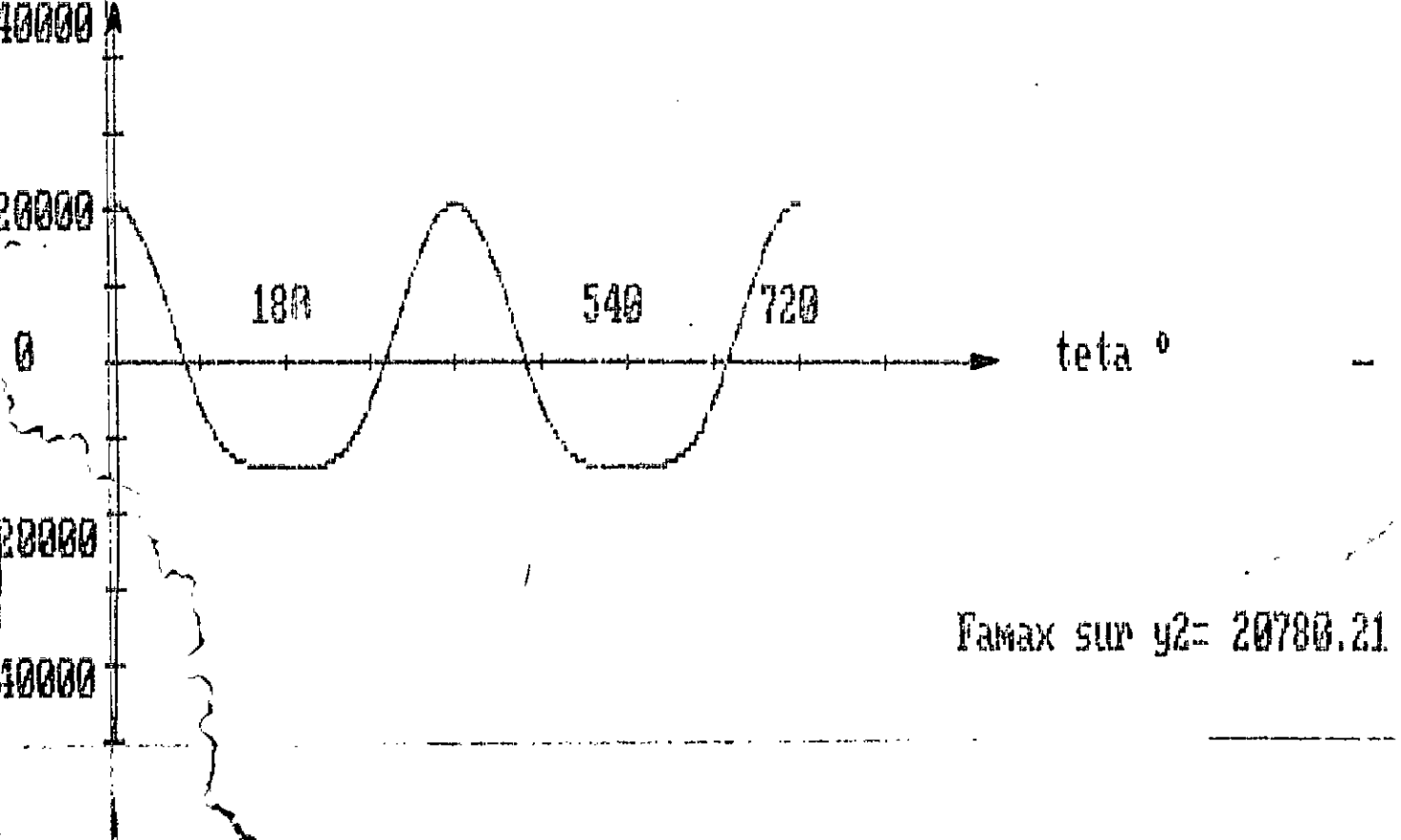


FIG 3-23

effort dans l'axe de la bielle FA sur Y2
pour N= 2800 tr/mn (sans charge)

Fa [N]



CHAPITRE

4

EFFORTS AU NIVEAU DE
CHAQUE ELEMENT DANS
LE REPÈRE POLAIRE

- DETERMINATION DES EFFORTS AU NIVEAU DE CHAQUE ELEMENT DANS LE REPÈRE POLAIRE

Les calculs qui précédent permettent de tracer les diagrammes polaires des efforts, ces diagrammes sont nécessaires à l'étude des conditions d'usure des articulations, elles permettent d'indiquer l'intensité de l'effort maximal et de l'effort moyen, ce qui permet de choisir le compromis "matière - langueur", des réactions relatives à chaque élément, de calculer le travail de frottement correspondant à un cycle.

D'autre part elles indiquent la direction des efforts, ce qui permet de déterminer la position des trous d'arrivée d'huile sur le maneton pour le graissage du coussinet, de tête de bielle.

- I ETUDE DU DIAGRAMME POLAIRE DES EFFORTS DU MANETON SUR LA BIELLE

DU MANETON

Ce diagramme est obtenu en tracant les composantes de la force " \vec{F}_a " du maneton sur la bielle, dans le repère $(O, \vec{X}_I, \vec{Y}_I, \vec{Z}_I)$

$$\text{- en abscisse : } \vec{F}_a \cdot \vec{X}_I = X_a \cos \theta + Y_a \sin \theta$$

$$\text{- en ordonnée : } \vec{F}_a \cdot \vec{Y}_I = -X_a \sin \theta + Y_a \cos \theta$$

Les figures (3.1.a, b, c) représentent respectivement les diagrammes polaires des efforts du maneton sur la bielle dans le repère lié au maneton pour $N = 1500 \text{ tr/mn}$ et $N = 2800 \text{ tr/mn}$, à pleine charge et sans charge.

A PLEINE CHARGE

L'effort est périodique de période 4π , il est composé de deux efforts antagonistes :

- L'effort des gaz de période 4π , qui tend à comprimer la bielle et qui engendre une action de la bielle sur le maneton

vers le bas , c'est à dire négative sur \vec{XI} et sur \vec{YI} donc une réaction " \vec{Fa} " du maneton sur la bielle dont les composantes sont positives sur \vec{XI} et \vec{YI} .

- L'effort dû aux inerties de période 2π , symétrique par rapport à $\theta = \pi$, qui tend à étirer la bielle au " pmh " et la comprimer au " pmb " .

Au " pmh ", l'extension de la bielle engendre une action de la bielle sur le maneton vers le haut , c'est à dire positive sur \vec{YI} ; la composante de " \vec{Fa} " sur \vec{XI} peut être positive sur \vec{YI} ou négative selon qu'on se situe avant ou après le " pmh " ou " pmb " .

Sur $N = 1500 \text{ tr/mn}$, effort maximal (dû aux gaz) il est positive sur \vec{XI} et $\vec{YI} = 36472.55 \text{ N}$ pour $= 382^\circ$ effort moyen = ~~15254.4~~ N

- $N = 2800 \text{ tr/mn}$, effort maximal (dû aux inerties) il est positif sur \vec{XI} et $\vec{YI} = 29476.23 \text{ N}$ pour $= 379^\circ$
effort moyen = 4347.96 N

B - SANS CHARGE

L'effort uniquement dû aux inerties est périodique de période 2π , symétrique par rapport à $\theta = \pi$.

Sur les figures (4.1.c , 4.1.a) on trace les diagrammes polaires des efforts du maneton sur la bielle pour $N = 1500 \text{ tr/mn}$ et $N = 2800 \text{ tr/mn}$ sans charge .

On remarque que pour les deux régimes l'effort maximal est nul sur \vec{XI} et négatif sur \vec{YI} .

+ pour $N = 1500 \text{ tr/mn}$, effort maximal = 5963.737 N pour $= 0^\circ$
effort moyen = 3920 N

+ pour $N = 2800 \text{ tr/mn}$, effort maximal = 20780.31 N pour $= 0^\circ$
effort moyen = 13604.4 N

diagramme polaire des efforts du maneton sur bielle:
dans le repere lie au maneton (o, X_1, Y_1, Z_1); $Y_1a = f(X_1a)$

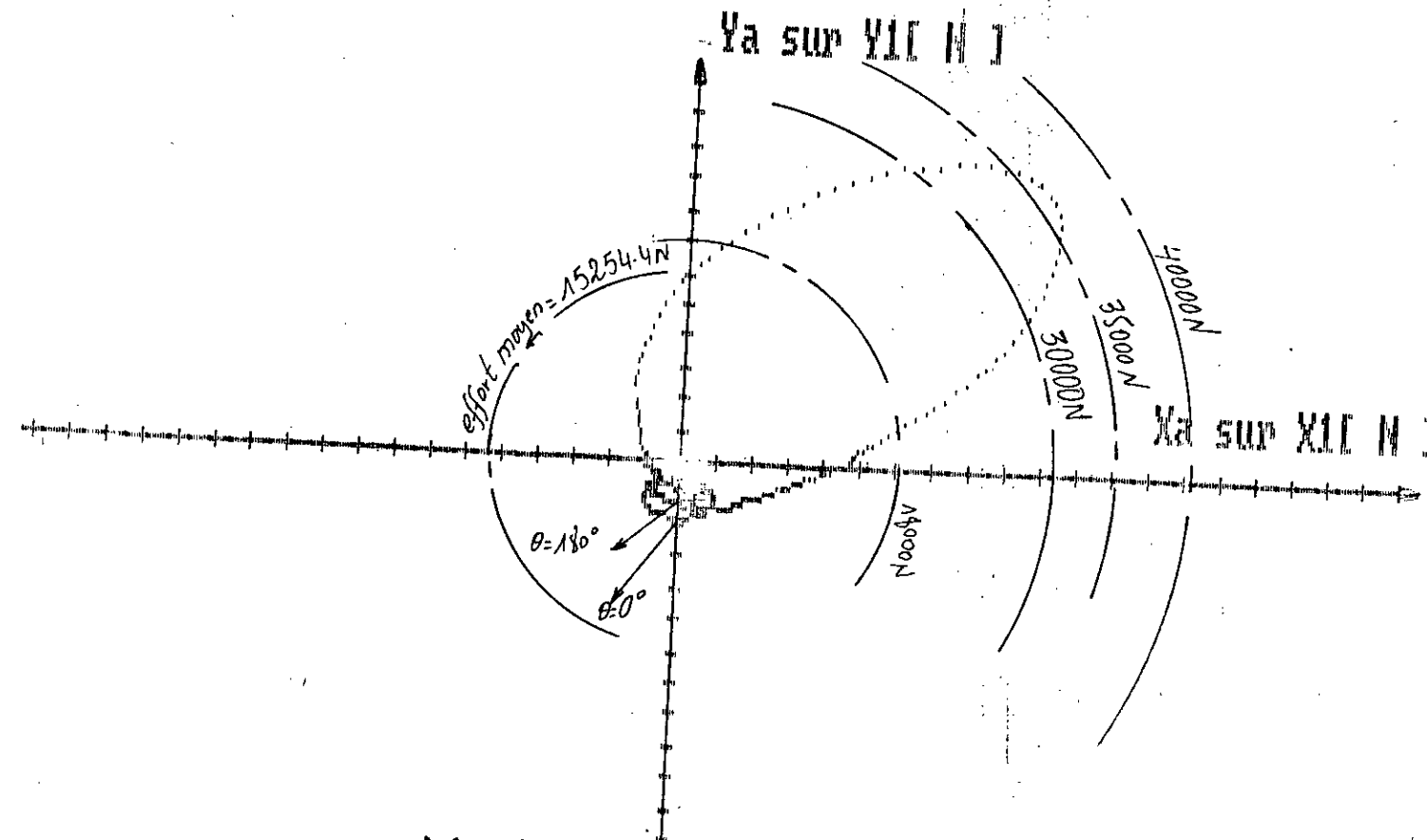
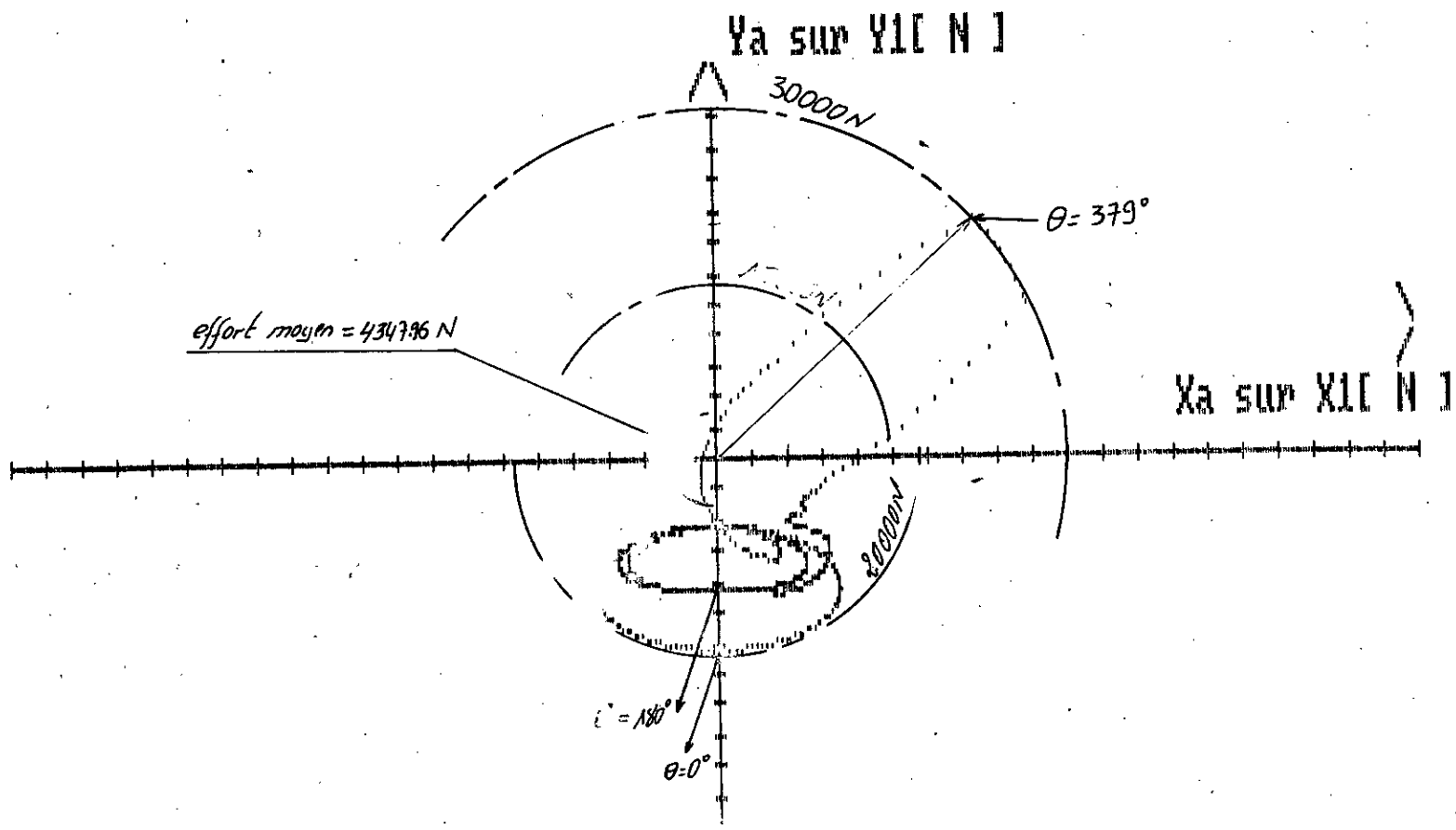


FIG. 4.1.a

diagramme polaire des efforts du maneton sur bielle:
dans le repère lié au maneton (o, X_1, Y_1, Z_1); $Y_{1a} = f(X_{1a})$



$N=2800 \text{tr/mn}$ "pleine charge"

FIG 4.2b

diagramme polaire des efforts du maneton sur bielle:
dans le repere lie au maneton (o, X_1, Y_1, Z_1); $Y_1 a = f(X_1 a)$

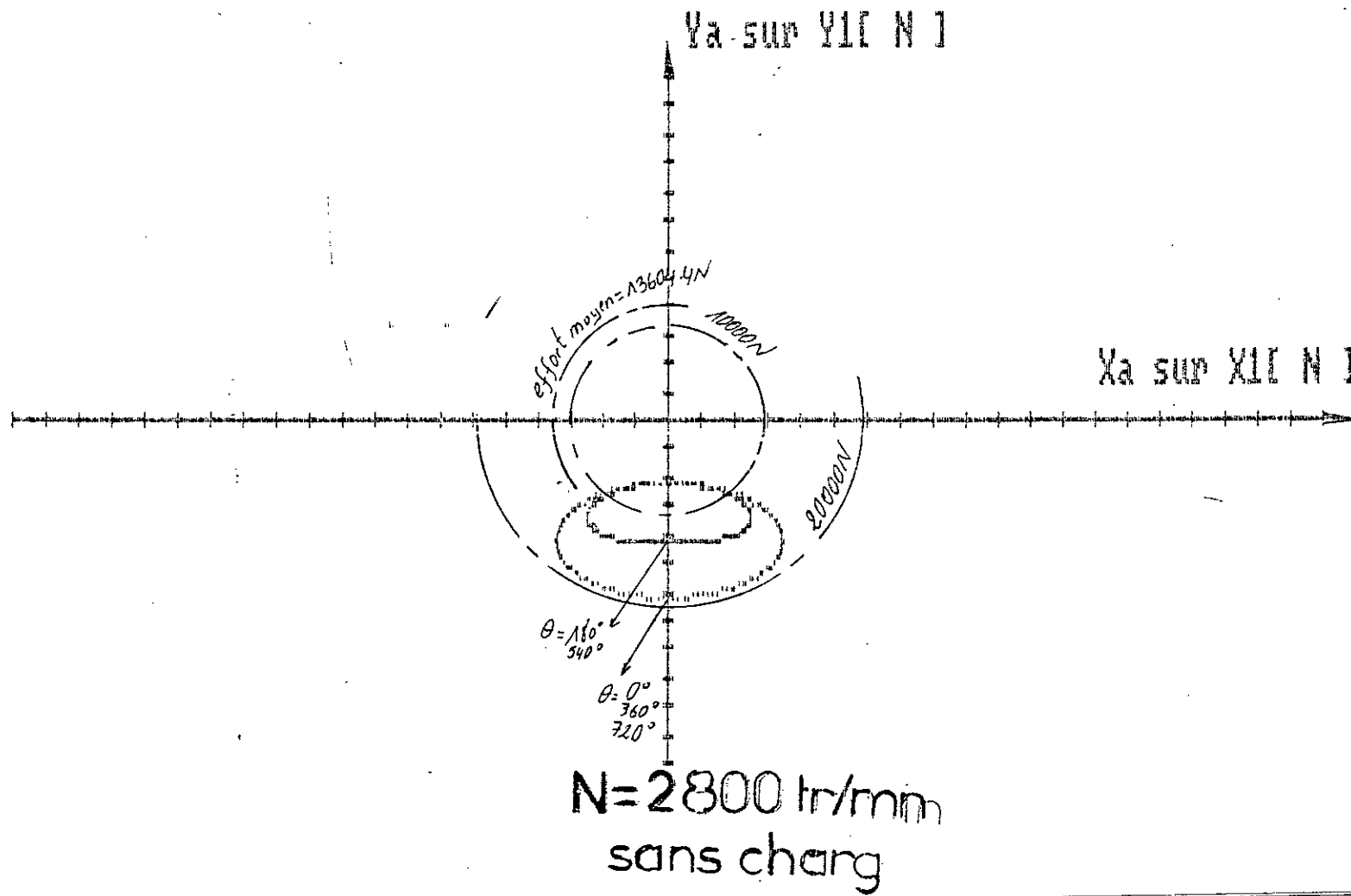


Fig 4.1.c

2: DIAGRAMME POLAIRE DES EFFORTS DE L'AXE DU PISTON SUR LA BIELLE

DANS LE REPERE LIE A LA BIELLE

Ce diagramme polaire est obtenu en tracant les composantes de la force " \vec{F}_b " dans le repere ($B, \vec{x}_2, \vec{y}_2, \vec{z}_2$)

$$- \text{ EN ABSCISSE : } \vec{F}_b \cdot \vec{x}_2 = F_b \cos \varphi + Y_b \sin \varphi$$

$$- \text{ EN ORDONNEE : } \vec{F}_b \cdot \vec{y}_2 = - X_b \sin \varphi + Y_b \cos \varphi$$

A - PLEINE CHARGE

+ pour $N = 1500 \text{ tr/mn}$, effort maximal = 38888.01 N pour $\varphi = 382^\circ$

+ pour $N = 2800 \text{ tr/mn}$, effort maximal = 38080.27 N pour $\varphi = 379^\circ$

B - SANS CHARGE

+ pour $N = 1500 \text{ tr/mn}$, effort maximal = 3207.284 N pour $\varphi = 0^\circ$

+ pour $N = 2800 \text{ tr/mn}$, effort maximal = 11175.6 N pour $\varphi = 0^\circ$

Effort moyen pour $N = 1500 \text{ tr/mn}$ pleine charge = 17990.247 N

Effort moyen pour $N = 2800 \text{ tr/mn}$ " " = 13452.55 N

?

diagramme polaire des efforts de l'axe du piston sur la bielle:
dans le repere lie à la bielle ; $y_{2b} = f(x_{2b})$

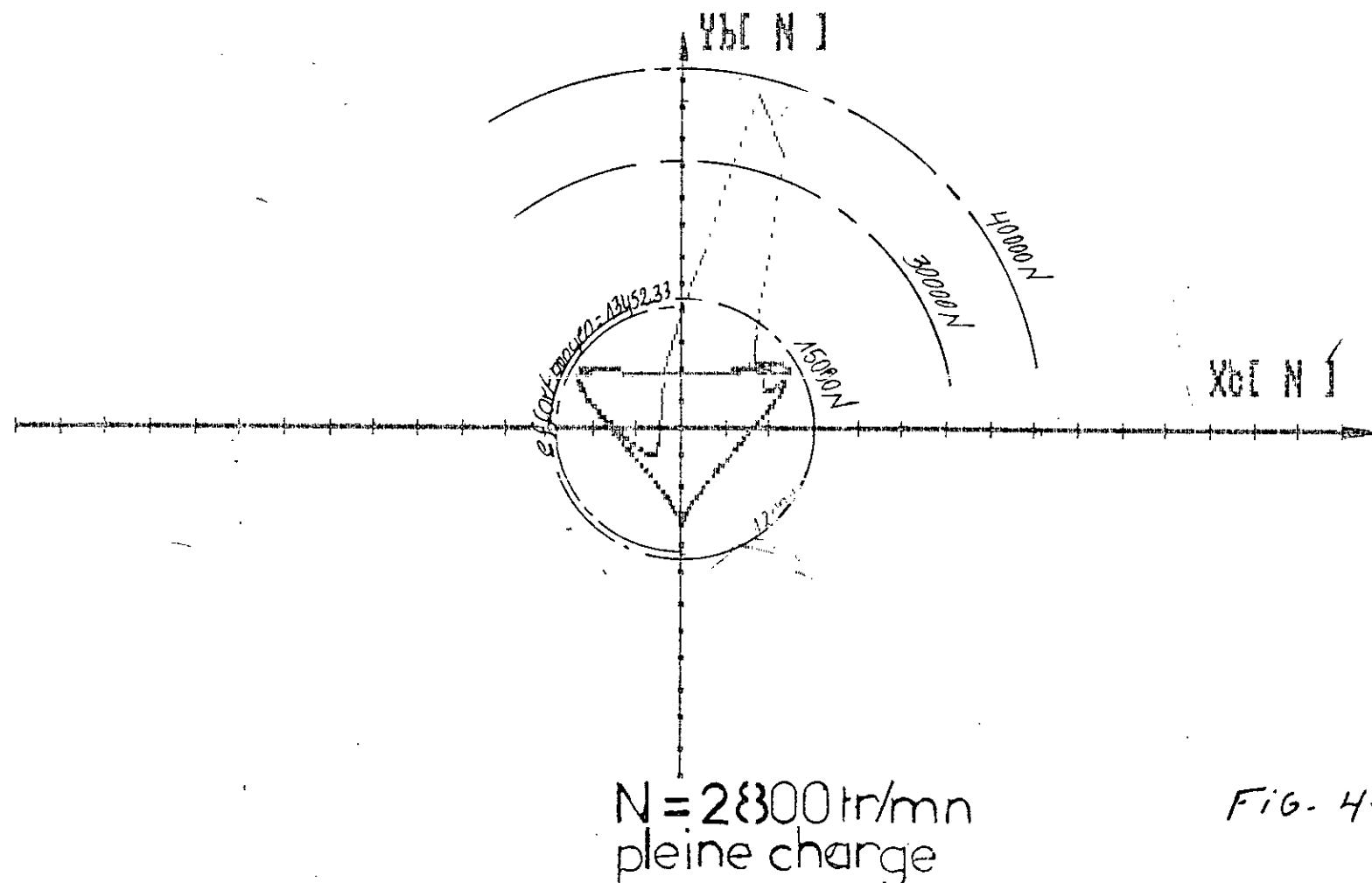
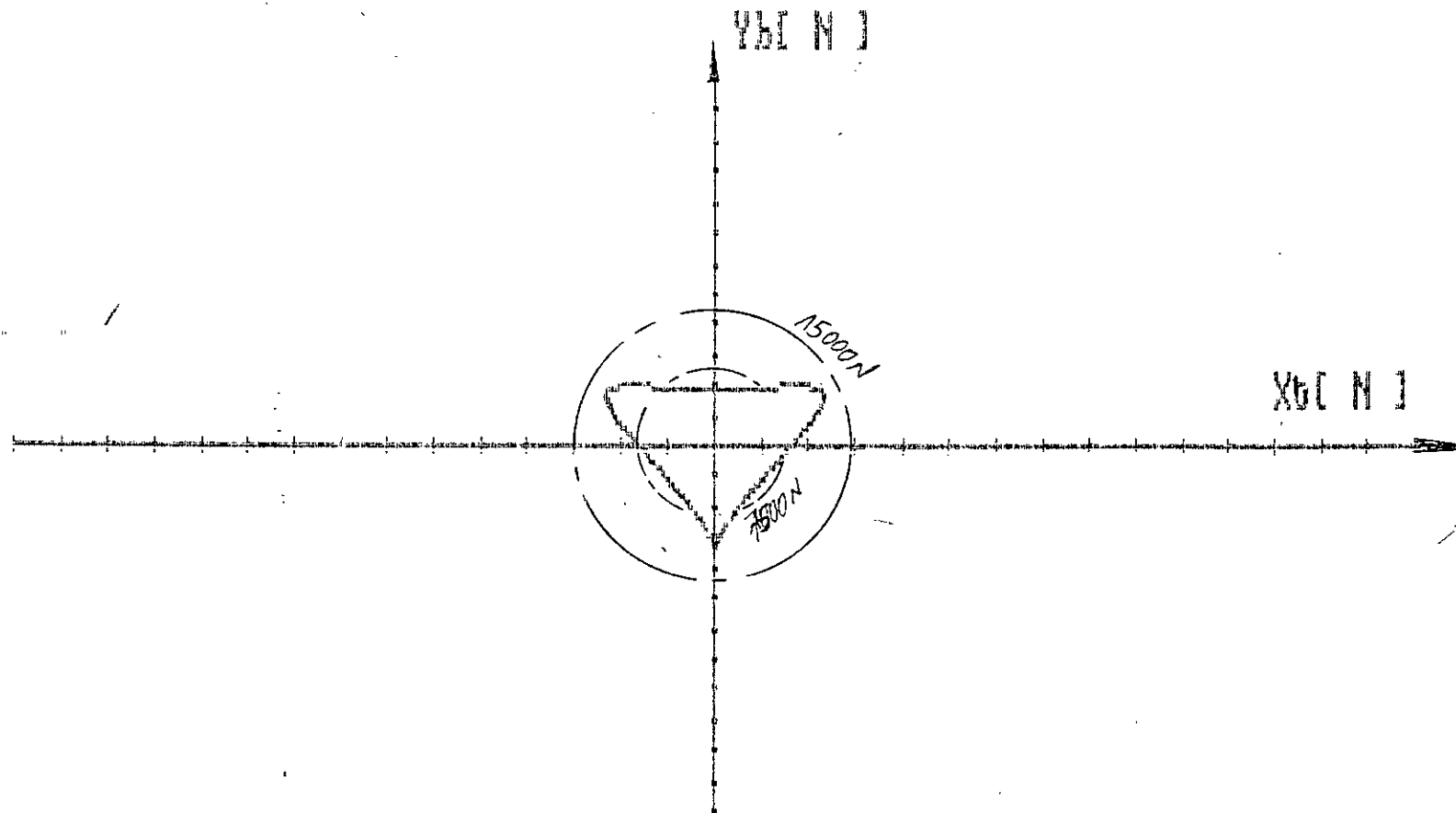


FIG. 4.2.6

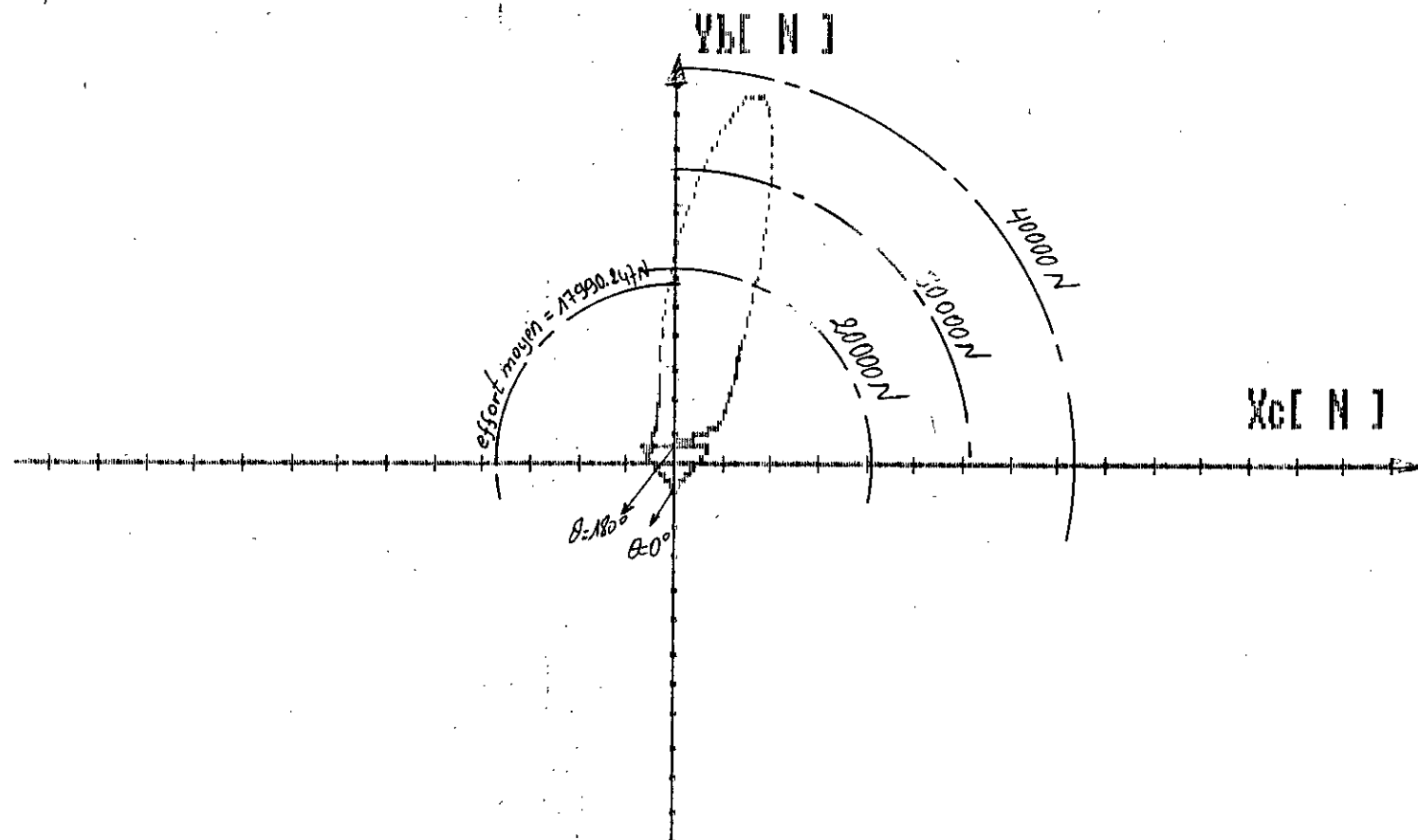
diagramme polaire des efforts de l'axe du piston sur la bielle
dans le repere lie a la bielle ; $\Psi_{2b} = f(\chi_{2b})$



$N = 2800 \text{ tr/min}$

Fig. 4.2. c

Diagramme polaire des efforts de l'axe du piston sur la bielle:
dans le repère lié à la bielle ; $y_2b = f(x_2b)$



$N = 1500 \text{ tr/mn}$
pleine charge

Fig. 4.2.4

DIAGRAMME POLAIRE DES EFFORTS DU MANETON SUR LA BIELLEDANS LE REPERE LIE A LA BIELLE

Ce diagramme est obtenu en tracant les composantes de la force

" \vec{F}_a " dans le repere ($B, \vec{X_2}, \vec{Y_2}, \vec{Z_2}$) :

$$\text{- en abscisse } \vec{F}_a \cdot \vec{X_2} = X_a \cos \varphi + Y_a \sin \varphi$$

$$\text{- en ordonnee } \vec{F}_a \cdot \vec{Y_2} = - X_a \sin \varphi + Y_a \cos \varphi$$

A - PLEINE CHARGE

+ pour $N = 1500$ tr/mn, effort maximal = 36472.55 N pour $= 382^\circ$
effort moyen = 15254.4 N

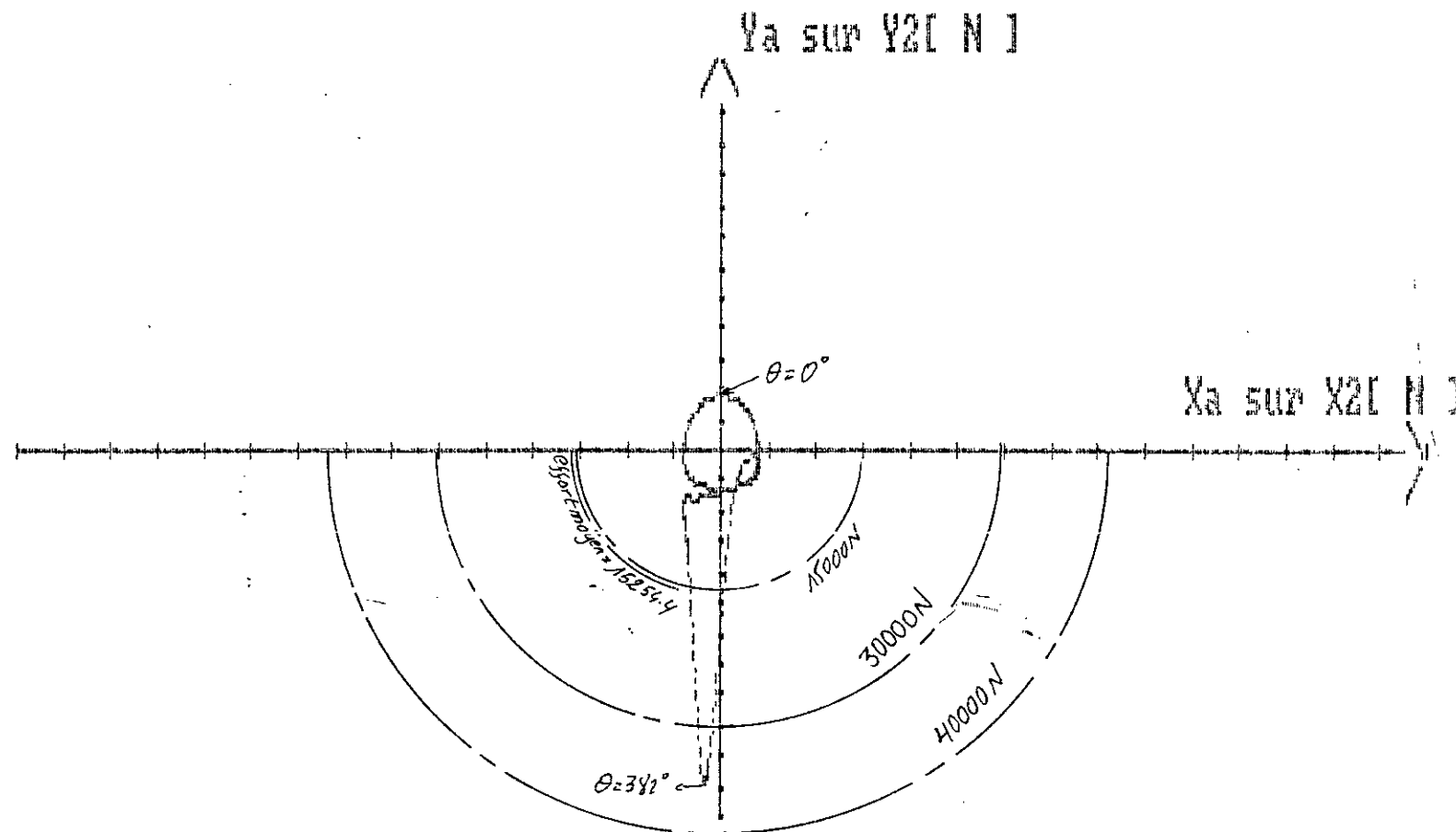
+ pour $N = 2800$ tr/mn, effort maximal = 29476.22 N pour $= 379^\circ$
effort moyen = 4347.96 N

B - SANS CHARGE

+ pour $N = 1500$ tr/mn, effort maximal = 5963.737 N pour $= 0^\circ$
EFFORT MOYEN = 952.42 N

+ pour $N = 2800$ tr/mn, effort maximal = 20760.31 N pour $= 0^\circ$
EFFORT MOYEN = 3318.65

diagramme polaire des efforts du maneton sur bielle:
dans le repere lie a la bielle (B, X_2, Y_2, θ); $Y_2a=f(X_2a)$



$N=1500$ tr/mn
pleine charge

Fig. 4.3-a

diagramme polaire des efforts du maneton sur bielle:
dans le repere lie a la bielle (B, X_2, Y_2, Z_2); Y_2 est (X_2)

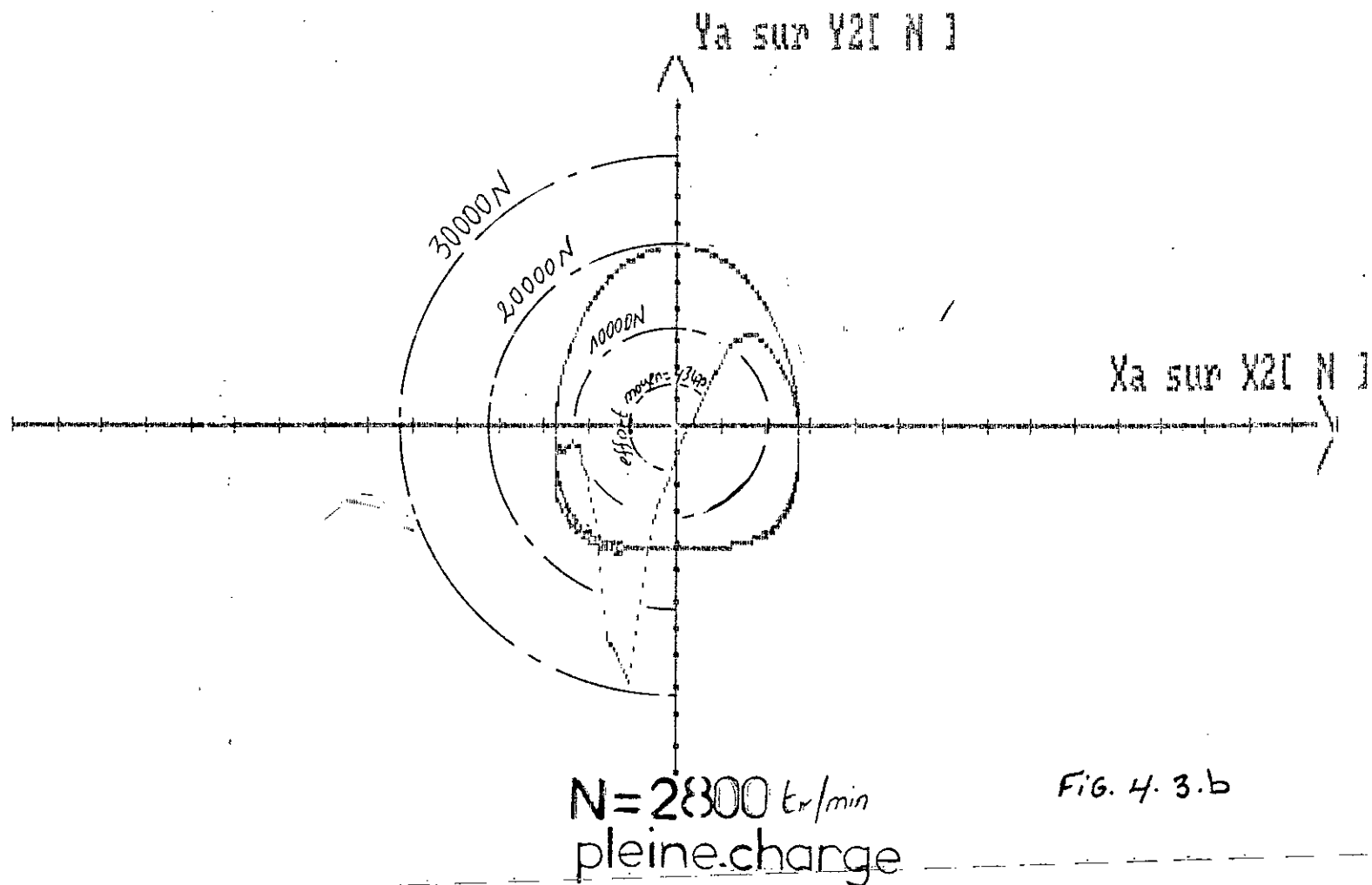


diagramme polaire des efforts du maneton sur bielle:
dans le repere lie a la bielle (B, X_2, Y_2, Z_2); Y_2

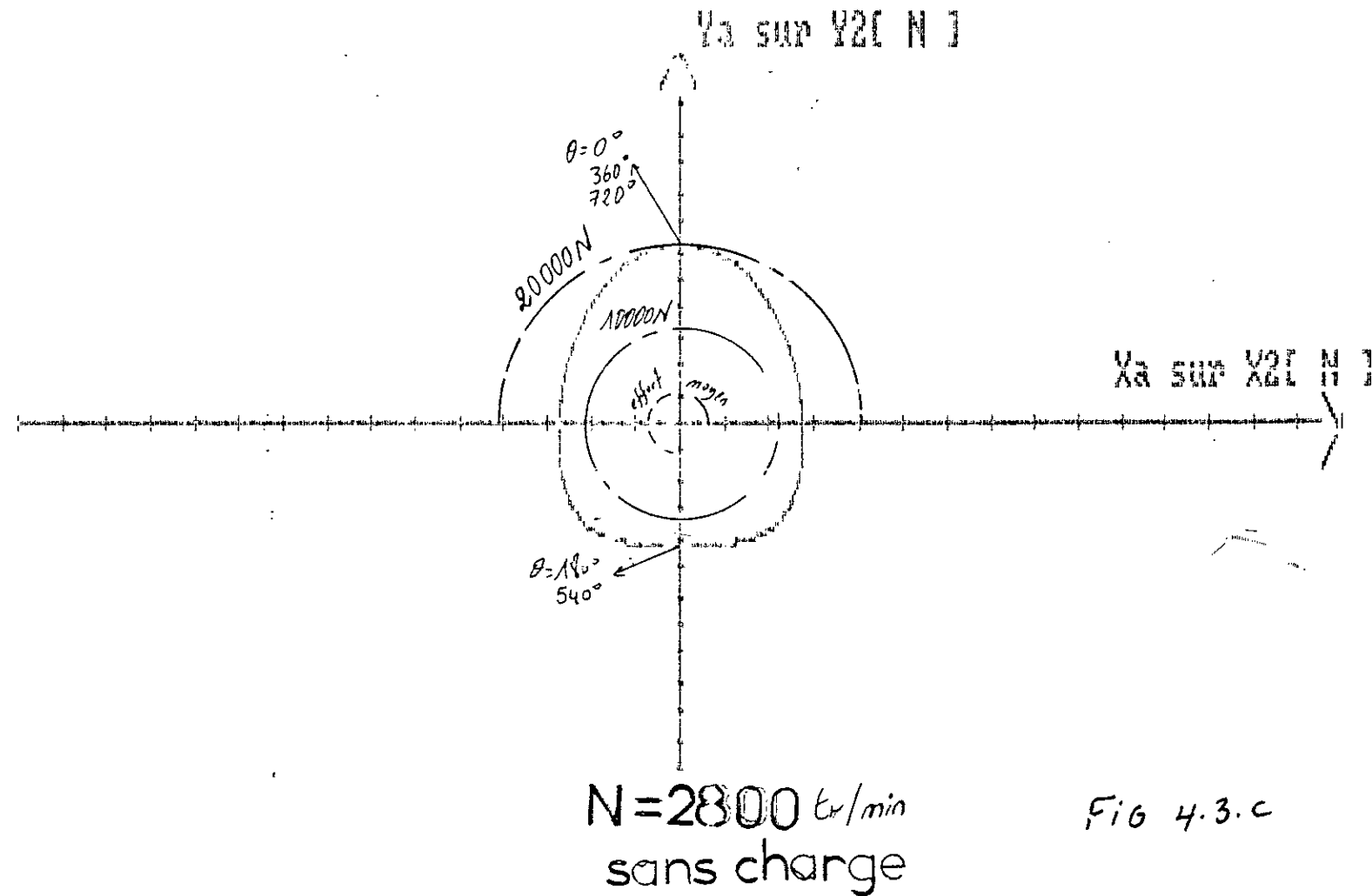


Fig 4.3.c

4-4 DIAGRAMME POLAIRE DES EFFORTS DE REACTION DES PALIERS SUR
TOURILLON DANS LE REPERE LIE A LA MANIVELLE

Ce diagramme polaire est obtenu en tracant les composantes de la force " \vec{F}_o " dans le repere ($O, \vec{x}_I, \vec{y}_I, \vec{z}_I$) :

- en abscisse $\vec{F}_o \cdot \vec{x}_I = X_o \cos \theta + Y_o \sin \theta$
- en ordonnee $\vec{F}_o \cdot \vec{y}_I = - X_o \sin \theta + Y_o \cos \theta$

A - PLEINE CHARGE

- + pour $N = 1500 \text{ tr/mn}$, EFFORT MAXIMAL = 35278.05 N pour $\theta = 382^\circ$
EFFORT MOYEN = **13966.28 N**
- + pour $N = 2800 \text{ tr/mn}$, EFFORT MAXIMAL = 25594.94 N pour $\theta = 0^\circ$
EFFORT MOYEN = **89.1 N**

B - SANS CHARGE

- + pour $N = 1500 \text{ tr/mn}$, effort maximal = 7345.488 N pour $\theta = 0^\circ$
effort moyen = **0958.64 N**
- + pour $N = 2800 \text{ tr/mn}$, effort maximal = 25594.94 N pour $\theta = 0^\circ$
effort moyen = **3318.66 N**

effort de réaction des paliers sur tourbillons
dans le repère lié à la manivelle

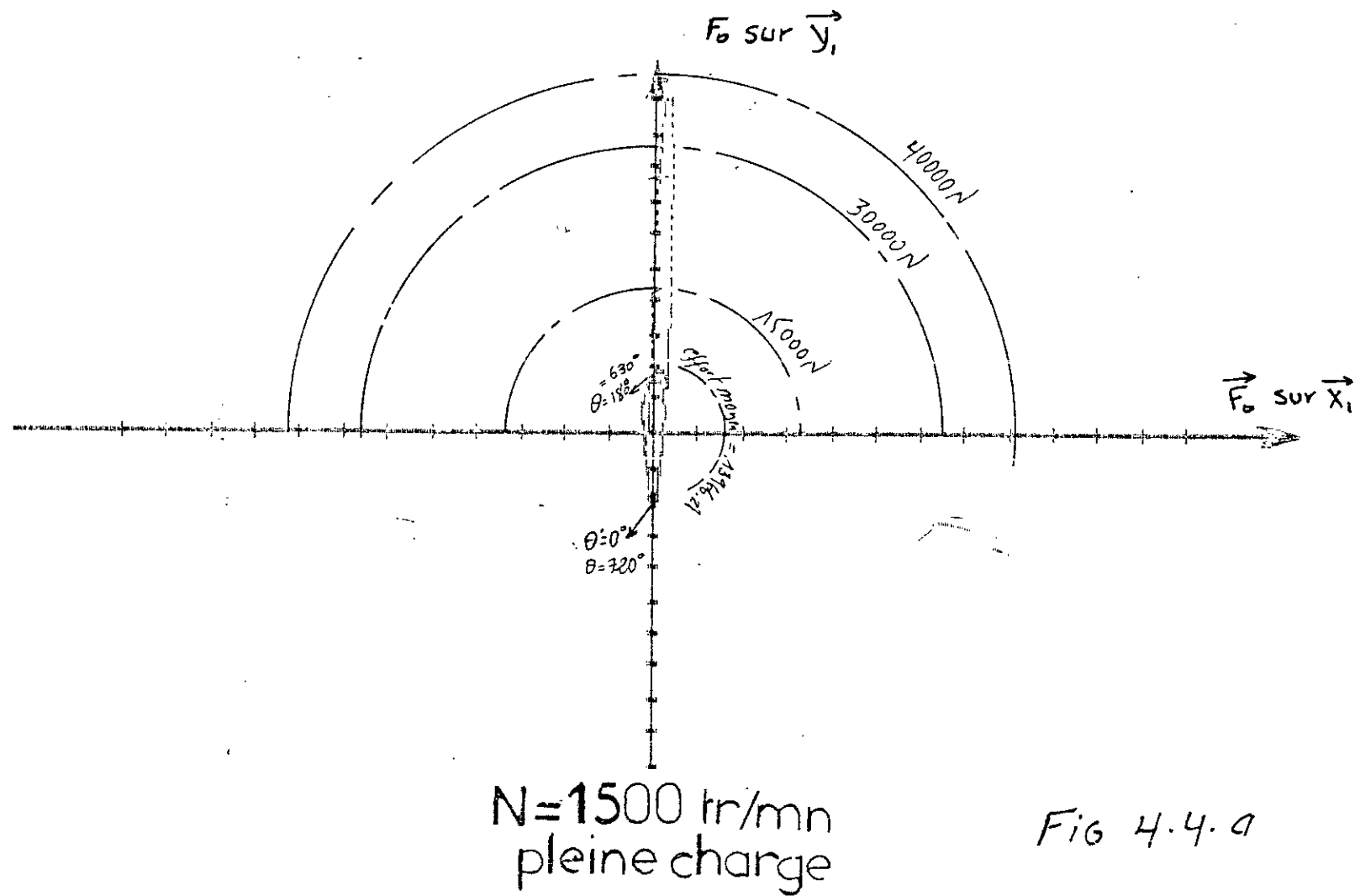
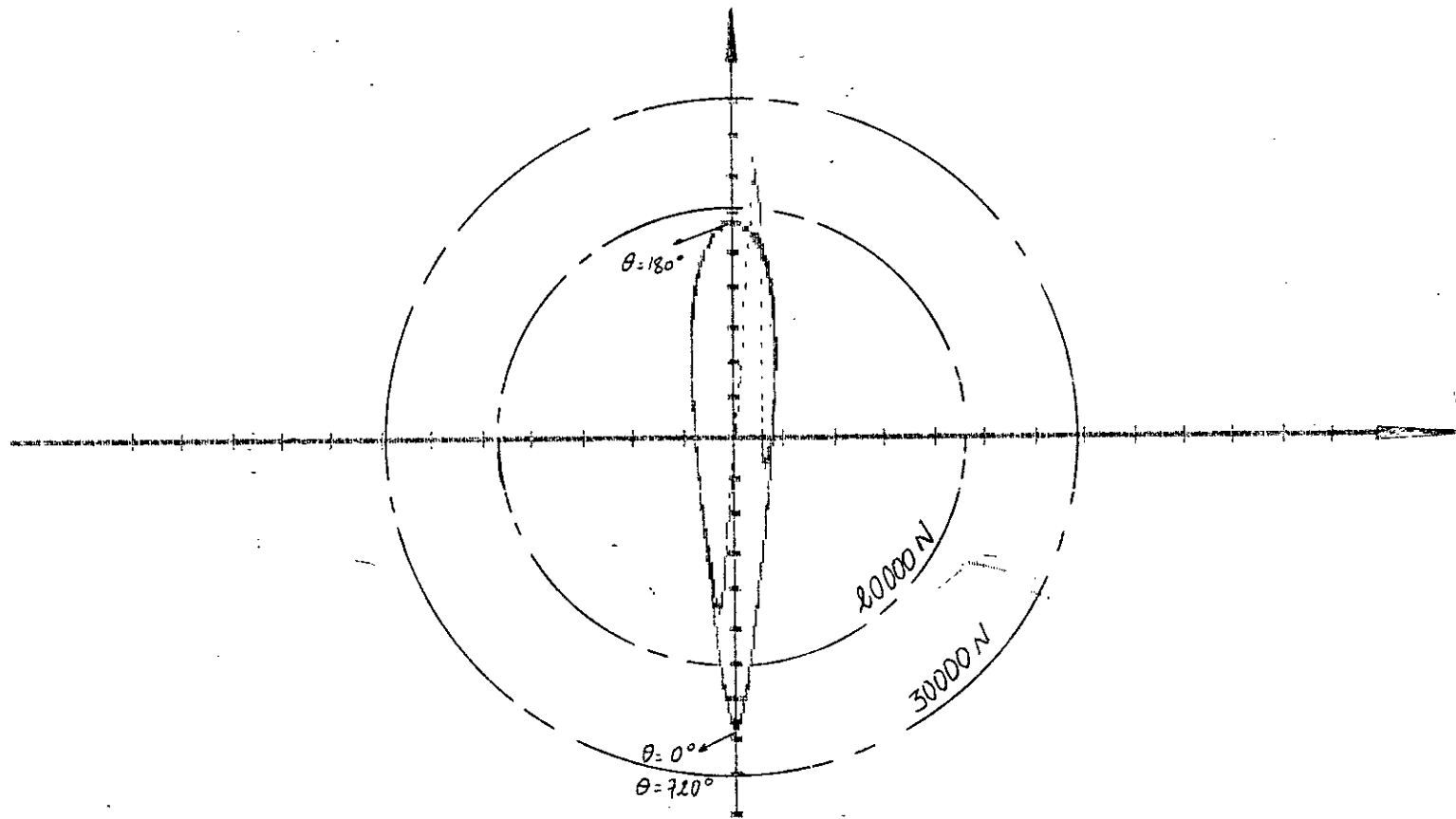


Fig 4.4.4

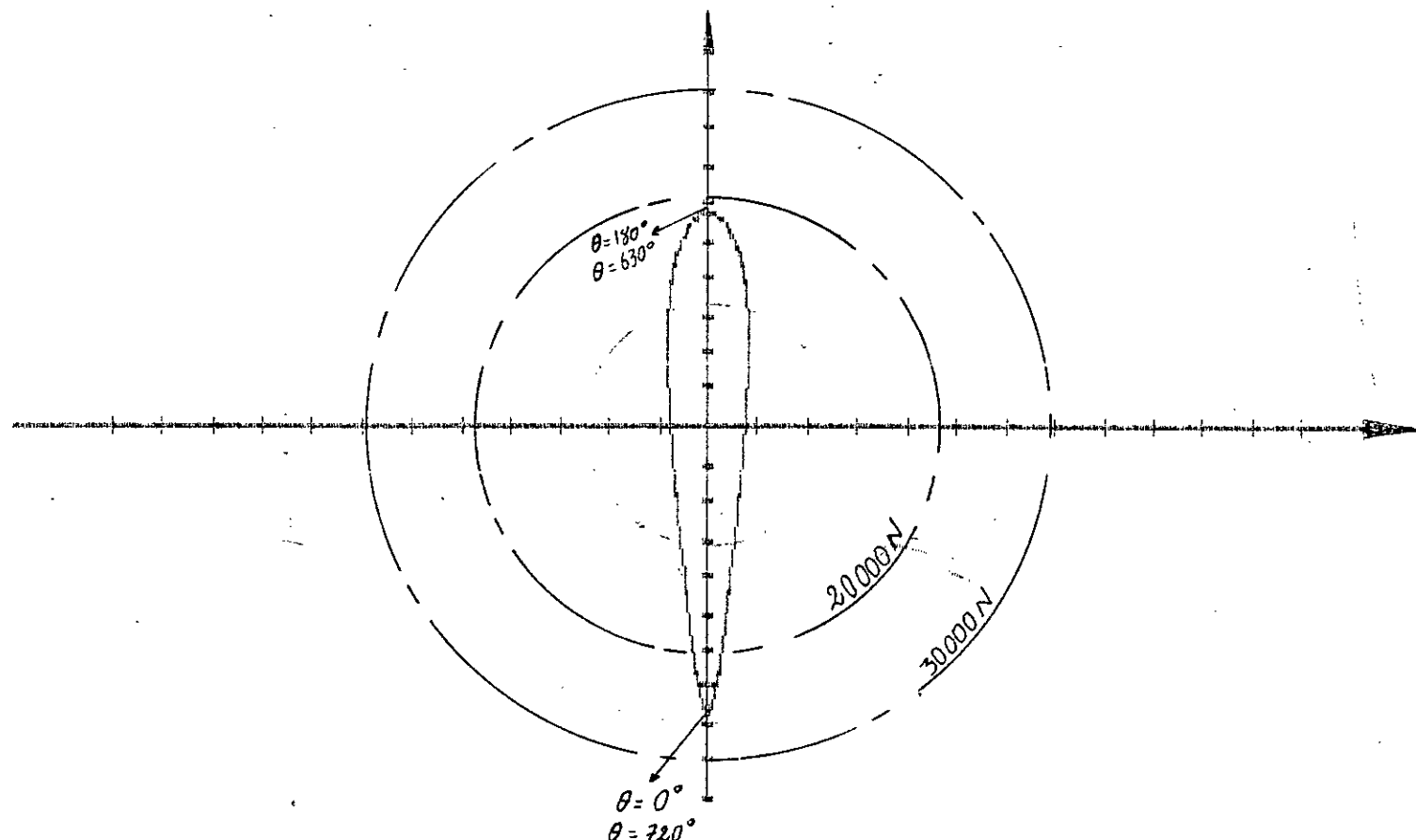
effort de réaction des paliers sur tourbillons
dans le repère lié à la manivelle



$N=2800 \text{ tr/mn}$
pleine charge

Fig 4.4.b

effort de reaction des paliers sur tourbillons
dans le repere lie a la manivelle



$N=2800 \text{ tr/mn}$
sans charge

Fig. 4.4.c

N=1500 tr/mn

	pleine charge			sans charge		
0°	$\sqrt{X_A^2 + Y_A^2}$	$\sqrt{X_B^2 + Y_B^2}$	$\sqrt{X_0^2 + Y_0^2}$	$\sqrt{X_A^2 + Y_A^2}$	$\sqrt{X_B^2 + Y_B^2}$	$\sqrt{X_0^2 + Y_0^2}$
20	5963.737	3207.284	7345.488	5963.737	3207.284	7345.488
40	2637.9	1067.427	3952.266	2637.9	1067.427	3952.266
60	4058.894	1781.824	5440.645	4058.894	1781.824	5440.645
80	3214.87	1826.433	4432.188	2637.9	1067.427	3952.266
100	19858.64	22617.1	14476.89	5963.737	3207.284	7345.488
120	5739.871	4668.437	6673.512	2637.9	1067.427	3952.266
140	4497.871	2220.078	5878.898	4058.894	1781.824	5440.645
160	2637.9	1067.427	3952.191	2637.9	1067.427	3952.266
180	5963.737	3207.284	7345.488	5963.737	3207.284	7345.488
effort moyen		effort moyen	effort moyen	effort moyen	effort moyen	effort moyen
15254.4		17990.247	13966.28	952.417	712.726	8524.4
effort maximal		effort maximal	effort maximal	effort maximal	effort maximal	effort maximal
36472.55 N pour $\theta = 382^\circ$		38888.01 N pour $\theta = 382^\circ$	35278.05 N pour $\theta = 382^\circ$	5963.737 N pour $\theta = 0^\circ$	3207.284 N pour $\theta = 0^\circ$	7345.488 N pour $\theta = 0^\circ$

$$N=2800 \text{ tr/mn}$$

	pleine charge			sans charge		
θ°	$\sqrt{x_A^2 + y_A^2}$	$\sqrt{x_B^2 + y_B^2}$	$\sqrt{x_0^2 + y_0^2}$	$\sqrt{x_A^2 + y_A^2}$	$\sqrt{x_B^2 + y_B^2}$	$\sqrt{x_0^2 + y_0^2}$
0	20780.31	11175.6	25594.94	20780.31	11175.6	25594.94
30	9191.614	3719.39	13771.45	9191.64	3719.39	13771.45
80	14142.99	6208.667	18957.62	14142.99	6208.667	18957.62
270	9799.286	4552.226	14273.99	9191.64	3719.39	13771.45
360	2567.095	13171.8	1247.339	20780.31	11175.6	25594.94
450	11246.88	6421.658	15481.49	9191.64	3719.39	13771.45
540	14142.99	6208.667	18957.62	14142.99	6208.667	18957.62
630	9191.328	3719.39	13771.19	9191.328	3719.39	13771.19
720	20780.31	11175.6	25594.94	20780.31	11175.6	25594.94
	effort moyen 4347.96	effort moyen 13452.33	effort moyen 89.1	effort moyen 13604.4	effort moyen 2483.46	effort moyen 3318.66
	effort maximal 29476.23 N pour $\theta = 379^\circ$	effort maximal 38080.27 N pour $\theta = 379^\circ$	effort maximal 26594.94 N pour $\theta = 0^\circ$	effort maximal 20780.31 N pour $\theta = 0^\circ$	effort maximal 11175.6 N pour $\theta = 0^\circ$	effort maximal 25594.94 N pour $\theta = 0^\circ$

organigramme du programme

MENU
PRINCIPAL

Etude des actions mécaniques
dans le repère cartésien

Etude des actions mécanique
dans le repère polaire

motor
polycylindre

motor
monocylindre

- H -

Sous programme

- G -

Sous programme

- F -

Sous programme

- E -

Sous programme

- D -

Sous programme

- C -

Sous programme

- B -

Sous programme

- A -

Sous programme

Sous programme - A -

il trace les diagrammes de pression en fonction de l'angle Vilebrequin $P(\theta)$ pour $N = 1500 \text{ tr/mn}$ et $N = 2800 \text{ tr/mn}$ avec un pas de 1° , les valeurs de $P(\theta)$ ils sont dans un fichier d'entrée fichier nommé `press`: les valeur de $P(\theta)$ pour $N=1500 \text{ tr/mn}$ fichier nomme `reda`: les valeur de $P(\theta)$ pour $N=2800 \text{ tr/mn}$

Sous programme - B.

Etude de l'effort au niveau de l'axe de piston \vec{F}_b sur l'axe \vec{y}_2 en fonction de la rotation du Vilebrequin.

$$F_b \cdot y_2 = -X_b \sin\varphi + Y_b \cos\varphi$$

avec X_b et Y_b sont les composantes de l'effort \vec{F}_b sur les axes \vec{x}_o et \vec{y}_o du repere fixe
- pour un moteur monocylindre (du aux gaz,
du aux inerties)

- pour un moteur polycylindre en ligne (du aux
gaz, du aux inerties)
angle de Vilebrequin θ variant de 0° à 4π

Remarque :

angle θ est mesuré en radian

Sous programme - C - 3

il est composé de deux parties.

première partie:

Etude de l'effort dans l'axe de la bielle \vec{F}_A sur l'axe \vec{y}_2 en fonction de la rotation du vilebrequin.

$$\vec{F}_A \cdot \vec{y}_2 = -X_A \sin \varphi + Y_A \cos \varphi$$

avec : X_A et Y_A sont les composantes de l'effort \vec{F}_A sur les axes \vec{x}_0 et \vec{y}_0 du repère fixe.

$$et \quad \varphi = \text{Arc Sin} \left(\frac{R}{L} \sin \theta \right)$$

Angle de Vilebrequin θ variant de 0 à 4π

deuxième partie:

Etude de l'effort dans l'axe de la bielle \vec{F}_A sur l'axe \vec{y}_1 en fonction de la rotation du vilebrequin.

$$\vec{F}_A \cdot \vec{y}_1 = -X_A \sin \theta + Y_A \cos \theta$$

- pour $N = 1500 \text{ tr/mn}$ à un moteur monocylindre et polycylindre (dû aux gaz, dû aux inerties)
- pour $N = 2800 \text{ tr/mn}$ à un moteur monocylindre et polycylindre (dû aux gaz, dû aux inerties)

angle de Vilebrequin θ variant de 0 à 720°
Etude de l'effort \vec{F}_A sur \vec{y}_2 pour un cylindre
et pour quatre cylindres à pleine charge et
sans charge pour deux régimes.

Sous programme - D-

- Etude de l'effort lateral de la chemise sur
le piston F_c en fonction de la rotation
de Vilebrequin $X_c = X_c(\theta)$
- pour multicylindre en ligne (du aux gaz, du aux
inerties).
- pour monocylindre en ligne (du aux gaz, du aux
inerties).

Sous programme - E-

Etude de l'effort au niveau des fourillons
sur l'axe \vec{y}_1 en fonction de la rotation du
Vilebrequin $F_0(\theta)$:

$$\vec{F}_0 \cdot \vec{y}_1 = -X_0 \sin \theta + Y_0 \cos \theta$$

- pour un moteur polycylindre (du aux gaz, du
aux inerties)
- pour un moteur monocylindre (du aux gaz,
du aux inerties),
angle θ variant de 0 à 4π

Sous programme - F.

Determination des diagrammes polaires des effort de l'axe du piston sur la bielle

- dans le repere lie à l'axe ($O, \vec{x}_0, \vec{y}_0, \vec{z}_0$): $y_{0b} =$
- dans le repere lie à la bielle ($B, \vec{x}_2, \vec{y}_2, \vec{z}_2$): $y_{b2} = f$
pour un moteur monocylindre et polycylindre (dû aux gaz, dû aux inerties)

diagramme $y_b = f(x_b)$

diagramme $y_{b2} = f(x_{b2})$

Sous programme - G. :

il determine des diagrammes polaires des efforts du maneton sur bielle

- dans le repere lie à la bielle ($B, \vec{x}_2, \vec{y}_2, \vec{z}_2$)
- dans le repere lie au maneton ($O, \vec{x}_1, \vec{y}_1, \vec{z}_1$)
pour un moteur monocylindre et polycylindre (dû aux gaz, dû aux inerties)

diagramme $y_{A1} = f(x_{A1})$

diagramme $y_{A2} = f(x_{A2})$

Sous programme - H. :

il determine les diagrammes polaires des efforts de réaction des paliers sur les tourbillons:

- dans le repere lié à la manivelle
- dans le repere fixe.

diagramme $y_0 = f(x_0)$ et $y_{01} = f(x_{01})$

F_b : Effort au niveau de l'axe de piston
 F_{ba} : Effort au niveau de l'axe de piston sur l'axe 12
 F_{fb} : Effort dans l'axe de la bielle sur Y2
 F_{fa} : Effort dans l'axe de la bielle sur Y1
 R_o : Effort au niveau des tourbillons sur Y1
 X_c : Effort lateral de la chemise sur le piston
 θ_{teta} : Angle de rotation de vilebrequin
 φ_1 : Angle
 ω_{IP} : Vitesse angulaire de la bielle
 α_{PF} : Acceleration angulaire de la bielle
 x_{igz} : Moment d'inertie de la bielle
 C_m : Couple moteur
 SNF : $\sin(\varphi)$
 COF : $\cos(\varphi)$
 X_L : L'entraxe de la bielle
 X_{LG} : position du centre de gravite de la bielle
 X_{RR} : position du centre de gravite de la manivelle
 F_{FBx} : Effort au niveau de l'axe de piston sur X2
 F_{Fax} : Effort dans l'axe de bielle sur X2
 F_{AAX} : Effort dans l'axe de la bielle sur XI
 R_{Ox} : Effort au niveau des tourillon sur XI
 $P()$: Pression en fonction de
 F_P : force de pression
 F_A : Resultante des forces X_a et Y_a
 F_B : Resultante des forces X_b et Y_b
 X_N : Vitesse de rotation en (tr/mn)
 X_{Mp} : Masse de piston
 X_{Mb} : Masse de bielle
 X_{Mm} : Masse de la manivelle

N=1500 tr/mn (monocylindre)

θ	Xc (i)	FB sur y2	FA sur y2	FA sur y1	FO sur y1
0	0	-3207.269	5963.709	-5963.709	-7345.453
90	-453.1248	842.1908	-1561.262	-2130.958	-3512.702
180	0	1781.816	-4058.875	-4058.875	-5440.62
270	687.2852	1661.752	-2380.823	-2365.118	-3746.863
360	0	22615.05	-19858.61	19858.61	18476.87
450	-1512.467	4549.888	-5268.959	-3190.299	-4572.043
540	0	2220.068	-4497.128	-4497.128	-5878.872
630	453.125	842.1914	-1561.263	-2130.958	-3512.703
720	0	-3207.269	5963.709	-5963.709	-7345.453

N=2800 tr/mn (monocylindre)

θ	Xc	FB sur y2	FA sur y2	FA sur y1	FO sur y1
0	0	-11175.55	20780.21	-20780.21	-25594.83
90	-1578.888	2934.568	-5440.132	-7425.204	-12239.82
180	0	6208.639	-14142.92	-14142.92	-18957.54
270	1844.192	3663.13	-6368.694	-7690.508	-12505.12
360	0	13171.79	-3567.132	3567.132	-1247.481
450	-2411.328	5848.108	-8353.671	-8257.643	-13072.26
540	0	6208.639	-14142.92	-14142.92	-18957.54
630	1578.889	2934.57	-5440.136	-7425.206	-12239.82
720	0	-11175.55	20780.21	-20780.21	-25594.83

N=1500 tr/mn

°	XC(I)	FB sur v2	FA sur v2	FA sur v1	FO sur v1
0	-1.005595E-03	23409.67	-22450.91	5338.9	-188.0772
10	-1101.413	32657.1	-31811.69	14834.65	9307.664
20	-2839.233	39426.16	-38907.85	19105.23	13578.25
30	-3488.32	34613.77	-34598.79	11646.43	6119.454
40	-2654.142	24330.56	-24936.71	1094.681	-4432.296
50	-1428.449	15873.21	-17145.02	-5629.918	-11156.9
60	-962.0306	12396.67	-14298.56	-8006.243	-13533.22
70	-603.8399	9928.051	-12347.01	-9161.658	-14688.64
80	-581.4813	8645.778	-11403.94	-9568.868	-15095.85
90	-625.1814	7896.022	-10772.31	-9817.332	-15344.31
100	-1098.059	6687.186	-9445.342	-10020.79	-15547.77
110	-1372.425	6371.561	-8790.518	-10689.5	-16216.48
120	-1644.814	5447.347	-7349.237	-11621.02	-17147.99
130	-1586.902	5066.432	-6338.237	-12458.93	-17985.91
140	-1223.533	5746.097	-6352.245	-12610.62	-18137.6
150	-927.0394	5650.453	-5635.47	-12776.88	-18303.86
160	-439.2892	7443.255	-6924.945	-11201.84	-16728.82
170	-84.41678	13572.78	-12727.36	-5162.884	-10689.86
180	-6.236359E-04	23409.67	-22450.91	5338.901	-188.0772

***** N=2800 tr/mn (quatre cylindres) *****

o	XO(i)	FB sur y2	FA sur y2	FA sur y1	FO sur y1
0	0	14413.52	-11072.77	-45498.92	-64757.38
10	629.3935	23752.28	-20806.48	-36096.28	-55354.73
20	-359.4639	39817.16	-38011.13	-21406.89	-40665.35
30	410.6636	32651.22	-32599.03	-28528.9	-47787.35
40	3211.064	16937.34	-19049.43	-39262.37	-58520.82
50	4169.227	13760.77	-18192.3	-38861.76	-58120.21
60	3932.825	14564.25	-21191.29	-36025.19	-55283.65
70	3281.265	14378.77	-22807.5	-33431.65	-52690.1
80	1461.756	15849.99	-25460.65	-31451.98	-50710.42
90	-567.1353	15580.38	-25602.63	-30798.56	-50057.01
100	-2560.727	13802.18	-23412.83	-31535.35	-50793.8
110	-4347.113	11511.23	-19939.95	-34016.12	-53274.57
120	-5624.058	8680.869	-15307.9	-38075.73	-57334.18
130	-6192.38	5885.484	-10317.01	-43339	-62597.45
140	-6033.113	3146.802	-5258.896	-49205.33	-68463.78
150	-5026.559	1101.753	-1049.553	-53970.74	-73229.2
160	-3299.151	2377.109	-571.0899	-55169.33	-74427.79
170	-1409.69	8024.9149	-5079.149	-51430.11	-70688.56
180	0	14413.52	-11072.77	-45498.93	-64757.38

CONCLUSION

Ce projet constitue un outil nécessaire pour le dimensionnement des principaux organes du moteur à savoir le piston la bielle , la manivelle et vilebrequin pour cela on calcul :

- les déformations dues à la flexion
- les déformations dues à la torsion.

A partir des différents diagrammes polaires (de chapitre 4) on peut déterminer les zones de graissage qui correspondent aux efforts minima .

Cette étude nous permet aussi de déterminer la largeur du coussinet de tête de bielle .

On a établi un programme de calcul général qui permet de déterminer les différents actions de n'importe quel moteur en ligne .

Pour terminer notre étude , j'espere que ce modeste travail a atteint de près ou de loin le but recherché.

B . SWOBODA :

Mecanique des moteurs alternatifs

QUILLET :

Encyclopedie des sciences industrielles

R . BRUN :

Science et technique du moteurs diesel

R ; AYAD :

Synthese sur l'analyse dynamique des parties internes des moteurs en ligne et en V

promoteur M.BOUKABACHE

M . MENARDON :

Les moteur

moteur a explosion,moteur rotatif
, moteur diesel

A . TENOT :

Mecanique appliquee des systemes materiels
et des systemes deformables

page 48 Fin ?

Comment on a retranscrites Fin. ?

Point de repere ?

